

94 86

Bu yüksek lisans çalışması, ANKARA ÜNİVERSİTESİ
ARASTIRMA FONU MÜDÜRLÜĞÜ (Proje No: 86 25 00 30) tarafından
mali destek sağlanarak yürütülmüştür.

2-ETİL-ANTRAKINON'UN HİDROJENASYONU

Yahya SUYADAL

Yüksek Lisans Tezi

KİMYA MÜHENDİSLİĞİ ANABİLİM DALI

1990

**ANKARA UNIVERSİTESİ
FEN BİLİMLERİ ENSTİTÜSÜ**

2- ETİL-ANTRAKİNİN UN HIDROJENASYONU

Yahya SUYADAL

**T. C.
Yükseköğretim Kurulu
Dokümantasyon Merkezi**

**YÜKSEK LİSANS TEZİ
KİMYA MÜHENDİSLİĞİ ANABİLİM DALI**

**1990
ANKARA**

ANKARA ÜNİVERSİTESİ
FEN BİLİMLERİ ENSTİTÜSÜ

2- ETİL-ANTRAK İNON'UN HİDROJENASYONU

Yahya SUYADAL

YÜKBEK LİSANS TEZİ
KİMYA MÜHENDİSLİĞİ ANABİLİM DALI

Bu Tez 19.04.1990 Tarihinde Aşağıdaki Jüri
Tarafindan 90/100 Not Takdir Edilerek
Dübürliği ile Kabul Edilmiştir.


Doç. Dr. Hasip
YENIOVA


Prof. Dr. Erhan
PIŞKİN


Doç. Dr. Taner
TOĞRUL

Danışman



III

ÖZET

Yüksek Lisans Tezi

2- ETİL-ANTRAKINON'UN HIDROJENASYONU

Yahya SUYADAL

Ankara Üniversitesi
Fen Bilimleri Enstitüsü
Kimya Mühendisliği Anabilim Dalı

Danışman : Doç.Dr. Hasip YENİOVA

1990 , Sayfa: 95

Jüri : Prof.Dr. Erhan FİŞKİN

Doç.Dr. Taner TOŞRUL

Doç.Dr. Hasip YENİOVA

Bu çalışmaın amacı, kimyasal yöntem ile Hidrojen Peroksit üretiminde kullanılan Antrakinon prosesinin ilk basamağı olan hidrojenasyon basamağını incelemektir.

Kimyasal yöntemle hidrojen peroksit üretimi bir gevrim prosesidir. Uygun proses koşullarında, çalışma materyali olarak Alkil Antrakinonlar yüzlerce kez kullanılabilirler.

Çalışmalarda, çalışma materyali olarak 2-Etil-antrakinon (EAK) seçilmiştir ve katalizörün süspansiyon halde bulunduğu yarı-kesikli bir reaktörde EAK hidrojenlenmiştir. Deneyler, gaz-sıvı-katı/katalitik bir tepkime sisteminde, sabit hidrojen basıncında ve izotermal koşullarda gerçekleştirilmiştir.

DeneySEL çalışmalarla, EAK'ın C=O çift bağlarını hidrojenle doyurularak hidrokinon yapılarına dönüştürülmesi amaçlanmıştır.

Çalışma gözlemlerinin, girdi derisiminin, katalizör cinsi ve miktarının, reaktör sıcaklığı ve basıncının tepkime hız parametrelerine etkisi incelenmiştir.

Çalışma gözlemleri olarak, Benzen/Oktanol ve Dimetilformamid/Oktanol iki karışımı seçilmiştir. Benzen ve Dimetilformamid EAK'ı gözlemek için ve Oktanol ise hidrokinon tipi tepkime ürünlerini gözlemek için kullanılmıştır.

Girdi derisimi, 0.1 ile 0.3 g/mol EAK/L arasında değiştiirmiştir. Kinetik çalışmaları 25, 50, 75 °C sıcaklıkta ve 1.0, 1.5, 2.0, 2.5 atm. hidrojen basıncında yapılmıştır. Belirtilen işletme koşullarında Pd/Al₂O₃ katalizörünün etkisi ayrıntılı olarak incelenmiştir. Ayrıca Ni/Al₂O₃ ve Pd/C ticari katalizörleri de denenmiştir.

IV

Reaktörden belli zaman aralıkları ile alınan tepkime karışımı örnekleri EAK için gaz kromatografinde analizlenmiştir. Her bir deney için zaman - derişim verileri üretilmiş ve basit bir hız denklemi elde etmek için integral analiz kullanılmıştır.

Tüm tepkime hızı, EAK'a göre tanımlanmış ve (1), (3/2), ve (2), mertebe hız denklemleri test edilmiştir. Doğrusallastırma testleri ikinci mertebe hız denklemi için uygunluk göstermiştir. Ikinci mertebe hız modeline uygun olarak gözlemlen tepkime hız sabitleri farklı sıcaklıklar için bulunmuş, Arrhenius bağıntısı kullanılarak gözlemlenen aktivasyon enerjisi hesaplanmıştır.

Gözlemlenen tepkime hızına hidrojen basıncının etkisi ayrıca katılmıştır. Gaz-sıvı arayüzeyinde kütte transfer dirençleri yok sayılmış, Henry yasası kullanılarak tepkime karışımındaki hidrojen derişimi hesaplanmıştır. Gözlemlenen tepkime hızının hidrojen derişimine yaklaşık birinci mertebe "den bağımlı olduğu bulunmuştur.

ANAHTAR KELİMELER: Hidrojen Peroksit, Hidrojenasyon, Hidrojenasyon katalizörleri, 2-Eti-Antrakinon'un hidrojenasyonu, Otoksidasyon, Antrakinon Türevlerinin analizi

ABSTRACT

Masters Thesis

THE HYDROJENATION OF 2-ETHYL-ANTHRAQUINONE

Yahya SUYADAL

Ankara University
Graduate School of Natural and Applied Sciences
Department of Chemical Engineering

Supervisor : Assoc. Prof. Dr. Hasip YENIOVA

1990 , Page : 95

Jury : Prof. Dr. Erhan PISKIN

As. Prof. Dr. Taner TOĞRUL

As. Prof. Dr. Hasip YENIOVA

The aim of this study is to examine the hydrogenation step of the Anthraquinone process which is the first step for hydrogen peroxide production by chemical method.

Production of hydrogen peroxide by chemical method is a cyclic process. Working materials such as substituted anthraquinones in the feedstock can be used hundreds time under reasonable process conditions.

In this study, 2-Ethylanthraquinone(EAQ) was chosen as a working material and the hydrogenation of EAQ was studied experimentally with a semi-batch slurry reactor. Experiments were carried out in the gas-liquid-solid/catalytic reaction system at constant hydrogen pressure and isothermal conditions. In the experimental studies the saturation of C=O double bonds and conversion hydroquinone forms of EAQ were aimed with the hydrogenation reaction of EAQ.

The effect of the working solvents, feedstock concentration, catalyst type and loading, reactor temperature and pressure on the reaction rate parameters were investigated.

Binary solvents, Benzene/Octanol and Dimethyl-formamide/Octanol were chosen as working solvents. Benzene and Dimethylformamide were used to solve EAQ and Octanol was used to solve hydroquinone type reaction products.

Feedstock concentration was changed between 0.1 ~0.3 gmol EAQ/L . Kinetic studies were carried out at temperature of 25, 50, 75 °C and pressure of 1.0 to 2.5 atm. Detailed performance testing at these operating conditions was done for Pd/Al₂O₃ catalyst. Ni/Al₂O₃, Pd/C commerical catalysts were also tested.

Samples of reaction mixture from the reactor were taken at regular intervals and analysed for EAQ by a gas chromatography. Time versus concentration data were evaluated for each run and these information were used to search for a simple rate equation by integral analysis.

VI

Overall reaction rate was defined for EAQ and (1), (3/2), (2), order rate equations were tested. Linearity tests for the second order rate equation were satisfactory. Overall reaction rate constants for the second order rate models for different temperatures were calculated. Observed activation energy was calculated by Arrhenius equation. Overall reaction rate was found to be kinetic control.

Effect of hydrogen pressure on the observed rate was also discussed. Hydrogen concentration in the reaction mixture was calculated by using Henry law with neglecting mass transfer resistance at the gas-liquid interface. Observed reaction rate order based on hydrogen concentration was found to be first degree.

KEY WORDS : Hydrogen Peroxide, Hydrogenation Catalysts, Hydrogenation, The Hydrogenation of 2-Ethylanthraquinone, Autoxidation, Analyse of Anthraquinone Derivates.

İÇİNDEKİLER

	Sayfa
ÖZET.....	III
ABSTRACT.....	V
İÇİNDEKİLER.....	VII
ŞEKİLLERİN LİSTESİ.....	IX
TABLOLARIN LİSTESİ.....	X
SİMGELER.....	XI
1. GİRİŞ VE AMAC.....	1
2. KURAMSAL TEMELLER VE KAYNAK ARASTIRMASI.....	8
2.1. Hidrojen Peroksit Üretim Yöntemleri.....	8
2.1.1. Elektrolitik Yöntemler.....	8
2.1.2. Elektrik Yükü Bosaltma Yöntemi.....	10
2.1.3. Kimyasal Yöntemler.....	10
2.2. Hidrojenasyon.....	11
2.2.1. Hidrojenasyon Tepkimeleri.....	12
2.2.2. Hidrojenoliz Tepkimeleri.....	12
2.3. Heterojen Katalitik Hidrojenasyon Tepkime Sistemleri.....	13
2.3.1. Katalizörün İşlevi ve Aktivasyon Enerjisi.....	21
2.3.2. Tepkiyenlerin Adsorpsiyonu.....	23
2.3.3. Kinetik ve Difüzyon Kontrollu Prosesler.....	26
2.4. Antrakinon Prosesi.....	28
2.4.1. Çalışma Materyalleri.....	28
2.4.2. Çalışma Materyali olarak Ötektik Alkil Antrakinon Karışımları.....	30
2.4.3. Çalışma Çözücüleri ve Gözücü Karışımları.....	32
2.4.4. Çalışma Gözeltileri.....	34
2.4.5. Antrakinon Prosesinde Hidrojenasyon Basamağı ve Katalizörler.....	34

VIII

2.4.6. Oksidasyon Basamağı.....	37
2.4.7. Ekstraksiyon ve Destilasyon Basamağı.....	37
2.5. 2-Etil-Antrakinon'un Hidrojenasyonu.....	38
2.5.1. EAK'un Hidrojenasyonunda Tepkime Mekanizması.....	41
2.5.2. Tepkime Yanürünleri.....	42
3. DENEYSEL ÇALIŞMALAR.....	45
3.1. Deney Düzenliği.....	46
3.2. Deneyin Yapılışı.....	48
3.3. Analiz Yöntemi.....	49
3.4. Yapılan Deneyler.....	51
3.5. Analiz Sonuçları.....	53
4. DENEY SONUÇLARI.....	56
4.1. Deney Verilerinin Değerlendirilmesi.....	64
4.1.1. Sıcaklığın Etkisi.....	75
4.1.2. Hidrojen Basıncının Etkisi.....	77
4.1.3. Katalizör Derişiminin Etkisi.....	77
4.2. Isletme Koşulları ve Gözlenen Hız sabiti.....	80
4.3. Varsayılan Kinetik Modelin İrdelenmesi.....	80
4.4. Deney Sonuçlarının Tartışılması.....	84
5. ÖNERİLER.....	87
KAYNAKLAR.....	88
EKLER.....	92

SEKİLLERİN LİSTESİ

	<u>Sayfa</u>
Sekil 2.1. Slurry Reaktör.....	14
Sekil 2.2. Gaz Tepkiyenin Derişim Profili.....	15
Sekil 2.3. Sıvı Tepkiyenin Derişim Profili.....	16
Sekil 2.4. Aktivasyon Enerjisi.....	22
Sekil 2.5. Adsorpsiyon Potansiyel Eğrisi.....	24
Sekil 2.6. Adsorplanan H_e miktarının Sıcaklıkla Değişimi.....	25
Sekil 2.7. Tepkime Hız sabitinin Sıcaklıkla Değişimi.....	27
Sekil 2.8. Antrakinon Prosesinin Akım Seması.....	29
Sekil 2.9. BAK-EAK ötektik karışımının TOF 'daki gözönürlüğü.....	31
Sekil 2.10. BAK'un TNBF-DMN 'deki gözönürlüğü.....	33
Sekil 3.1. Deney Düzeneği.....	47
Sekil 3.2. Ürün Karışımı Kromatogramı.....	50
Sekil 4.1. - Sekil 4.7. Zaman-Derişim Grafikleri.....	57 - 63
Sekil 4.8 - Sekil 4.14. Zaman-(1/Derişim) Grafikleri.....	68 - 74
Sekil 4.15. Farklı sıcaklıklarda Zaman - Derişim Grafiği.....	76
Sekil 4.16. Farklı Hidrojen Basıncında Zaman - Derişim Grafiği.....	78
Sekil 4.17. Farklı Katalizör Derişiminde Zaman - Derişim Grafiği.....	79
Sekil 4.18. Gözlenen hız sabitinin Sıcaklık ile Değişimi.....	81
Sekil 4.19. Gözlenen Hız sabitinin Hidrojen Basıncı ile Değişimi.....	82

TABLOLARIN LİSTESİ

	<u>Sayfa</u>
Tablo 1.1. H_2O_2 (1000 kg) üretimi için Gerekli maddeler ve maliyettedeki payı....	3
Tablo 1.2. Dünya H_2O_2 üretiminin yıllara göre Dağılımı.....	5
Tablo 1.3. Dünya H_2O_2 üreticisi Yabancı Kuruluş- ların kurulu kapasiteleri.....	6
Tablo 1.4. a.Türkiyenin H_2O_2 ithalatının ülkelere göre Dağılımı.....	7
Tablo 1.4. b.Türkiyenin H_2O_2 ithalatının yıllara göre Dağılımı.....	7
Tablo 2.1. Çalışma Materyalleri.....	30
Tablo 2.2. Ötektik Alkilantrakinon karışımı.....	31
Tablo 2.3. Çalışma Çözüçüleri.....	33
Tablo 2.4. Kullanılan Katalizörler.....	35
Tablo 2.5. Katalizörlerin ön işlem koşulları ve seçimlilik değerleri.....	36
Tablo 3.1. Deneyler ve koşulları.....	51
Tablo 3.2. Gaz kromatografindan alınan Analiz Sonuçları.....	53
Tablo 4.1. Tepkime mertebe varsayımları ve kinetik parametrelerin uygunluğu.....	65

SİMGELER

- A : Alan, cm^2
 a : Yüzey/Hacim, cm^{-1}
 C : Derişim, gmol/L
 E : Aktivasyon Enerjisi, kcal/gmol
 H : Entalpi, kcal/gmol
 He : Henry Sabiti
 K : Adsorpsiyon Katsayısı
 k : Kütle Aktarım Katsayısı, cm/dk
 k_{esz} : Gözlenen Tepkime Hız Sabiti, L/gmol.dk
 M : Molekül Ağırlığı, g/gmol
 m : Kütle, g
 P : Basınç, atm
 R : Gaz Sabiti, kcal/gmol.K
 r : Tepkime Hızı, gmol/L.dk
 S : Konum Kesri
 T : Sıcaklık, °C
 t : Tepkime Süresi, dk
 V : Hacim, L

Kısaltmalar

- BAK : 2-Sek-Bütilantrakinon
 BEN : Benzen
 DMF : Dimetilformamid
 DMN : Dimetilnaftalin
 EAK : 2-Etilantrakinon
 $EAKH_2$: 2-Etilantrahidrokinon
 Ent. : Tepkime Entalpisi
 Et. : Etil
 OKT : Oktanol
 TNBF : Tri-N-Bütilfosfat
 TOF : Tri-Oktilfosfat

XII

İndisler

- A : EAK
ADS : Adsorpsiyon
ÇÖZ : Çözelti
DES : Desorpsiyon
E : Denge
F : İleri
G : Gaz
H : Hidrojen
HAH : EAKH₂
HET : Heterojen
HOM : Homojen
IG : Arayüzey Gaz
IL : Arayüzey sıvı
Kat.: Katalizör (C)
L : Sıvı
M : Katalizör Kütlesi
P : Potansiyel
R : Geri
S : Katalizör Yüzeyi
V : Boşluk
Ø : Başlangıç

1. GİRİŞ VE AMAC

Hidrojen Peroksit (H_2O_2), 1818 tarihinde bulunmuştur. Normal sıcaklıkta Hidrokarbonlarda gözünmediği halde eterlerde ve suda çözünebilen H_2O_2 , saf halde karanlı, viskoz ve saydam bir sıvıdır. Metalik safsızlıklar varlığında,



tepkime denklemine göre bozunan H_2O_2 , % 3 - 98 'lik derişim aralığında kullanım alanı bulur.

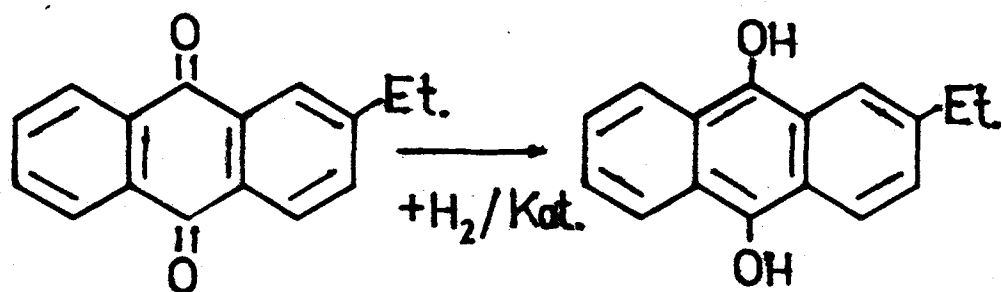
Endüstriyel olarak ilk H_2O_2 üretimi, Metal Peroksitlerle anorganik asitlerin, metal tuzlarına dönüştürülmesiyle yapılmıştır. Bunu, elektrolitik yöntemler ve Metal Peroksitlerle organik asitlerin etkileşmesi ile H_2O_2 üretimi izlemistir. Elektriğin ucuz olduğu yerlerde ise elektrolitik yöntemler tercih edilmiş ancak kimyasal yöntemlerin maliyetlerinin daha düşük olması nedeniyle elektrolitik yöntemlerden vazgeçilmiştir. Halen H_2O_2 üretiminin büyük bir kısmı kimyasal yöntemle gerçekleştirilmektedir.

Günümüzde kimyasal yöntemle H_2O_2 üretimi için en uygun proses Antrakinon prosesidir. Bu proses ekonomik olması nedeniyle ticari öneme sahiptir. Bu nedenle proses hakkında bilgiler açık literatürde çok azdır. Bir çevrim prosesi olan Antrakinon prosesi iki ana basamak igerir.

İlk basamak, saf organik çözücülerde çözünmüş Alkilantrakinonların katalizör üzerinde hidrojenasyonu ve gözeltinin filtrasyonu ile katalizörün ayrılmasıdır. İkinci basamak ise hidrojenasyon tepkimesi ile oluşan Alkilantrahidrokinon'un otoksidasyonu ve gözeltinin ekstraksiyonu ile H_2O_2 'in ayrılmasıdır.

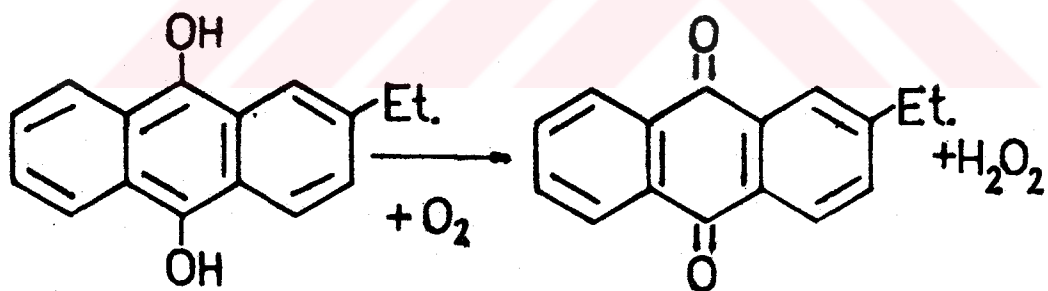
Örneğin ; Çalışma materyali olarak 2- Etil Antrakinon kullanıldığında,

Ent.(25 °C) , $-\Delta H=54$ kcal/gmol



2-Etilantrakinon (EAK)

2-Etilantrahidrokinon (EAKH₂)



2-Etilantrahidrokinon (EAKH₂)

2-Etilantrakinon

Ürün

tepkime denklemleri uyarınca H_2O_2 üretilir. Oluşan ürün karışımında bulunan H_2O_2 , deiyonize su ile ekstrakte edilerek sulu faza alınır. Geri kalan organik fazdaki EAK, yeniden prosesin başına döndürülerek bir gevrim gerçekleştirilebilir. Ekstraksiyon ile ayrılmış sulu H_2O_2 , destilasyon işlemi ile deristirilerek istenen derisimde elde edilebilir.

Bu yöntemle H_2O_2 üretiminde, ana girdiler H_2 ve O_2 'dir. Bu işlemlerde kullanılan yardımcı kimyasal maddeler EAK, Ksilen, Ortofosforik asit, Amonyum Nitrat, Oktanol, Sodyum Hidroksit ve Katalizörlerdir. H_2O_2 üretiminde kullanılan maddelerin üretim maliyetindeki yaklaşık payları Tablo 1.1 'de verilmiştir.

**Tablo 1.1 : 1000 kg H_2O_2 üretimi için gereklili maddeler
ve üretim maliyetindeki payları
(T.C. Basbakanlik D.P.T. 1986)**

Girdiler	Birim	Miktar	Maliyet %
Hidrojen gazi (H_2)	m ³	245.5	32.4
Oksijen gazi (O_2)	m ³	233.6	25.3
Ksilen	kg	5.0	1.2
Oktanol	kg	2.5	0.6
2- Etil- Antrakinon	kg	1.6	7.5
Tetrahidrokinon	kg	0.3	2.8
Nikel-Aluminyum	kg	2.4	5.0
Potasium Karbonat	kg	3.0	-
Aktif Aluminyum oksit	kg	6.0	7.1
Sodyum Hidroksit	kg	6.35	0.6
Digerleri (ortofosforik asit, Amonyum nitrat, Potasyum karbonat,			
Silika-jel)	kg	6.37	0.5
Buhar	ton	2.0	
Elektrik	kwh	80.0	
Demineralize su	m ³	1.9	
Su	m ³	14.0	

Güçlü bir yükseltgen olması nedeniyle H_2O_2 , Endüstride ve bilimsel çalışmalararda pek çok amaçlar için kullanılmaktadır. Tekstil ve kağıt endüstrisinde ağartıcı olarak, askeri amaçlarla roket yakıtı ve patlayıcı üretiminde girdi olarak kullanılması bunlara birer örnektir. Bunun dışında organik bileşiklerin epoksidasyonu, bir çok organik peroksitlerin üretimi, polimerizasyon tepkimeleri için peroksi katalizörlerin üretimi, organik bileşiklerin oksidasyonu ve diğer bir çok amaçlar için kullanımı sayılabilir.

Kullanım alanı çok fazla olduğundan ticari önem kazanmış ve üretimine yönelik çalışmalar hızlanmıştır. Özellikle II. Dünya savaşı yıllarda askeri amaçlarla kullanılması önemini daha da arttırmıştır. Bu yıllarda toplam üretimi 23630 ton/yıl değerinde olan H_2O_2 , % 27 liktir. II. Dünya savaşı sonlarında üretimi Almanya'da % 30-40 'lik 7380 ton/ay ve Japonya'da % 80-90 'lik 4700 ton/ay değerine ulaşmıştır.

Günümüzde ise H_2O_2 üretimi Dünya genelinde bir çok yabancı kuruluşlar tarafından yapılmaktadır.

Dünya H_2O_2 üretiminin yıllara göre dağılımı Tablo 1.2 'de verilmiştir.

Dünya H_2O_2 üreticisi yabancı kuruluşların kurulu kapasiteleri Tablo 1.3 'de verilmiştir.

Türkiye'nin son yıllara ait H_2O_2 ithalatının ülkelere ve yıllara göre dağılımı ve miktarları Tablo 1.4 'de verilmiştir.

Tablo 1.2 : Dünya H₂O₂ üretiminin yıllara göre dağılımı (1000 ton)
(T.C. Başbakanlık D.P.T. 1986)

ÜLKELER	1980	1981	1982	1983	1984
KUZEY AMERİKA	105.6	100.4	98.3	106.6	126.4
A.B.D.	105.6	100.4	98.3	106.6	126.4
GÜNEY AMERİKA	9.6	10.3	12.9	15.5	15.7
BREZİLYA	6.9	7.4	10.1	12.8	12.6
KOLOMBİYA	2.4	2.5	--	2.5	--
ASYA	82.6	87.6	89.0	88.7	99.8
HİNDİSTAN	4.7	5.6	4.1	3.6	--
JAPONYA	77.9	82.4	84.9	85.1	94.7
AVRUPA	489.8	512.5	476.2	484.0	551.1
A.E.T.	450.0	470.6	428.8	434.0	489.0
B.ALMANYA	148.2	157.2	104.8	99.0	143.9
***	19.0	19.3	22.4	25.9	34.9
PORTEKİZ	3.5	3.1	3.4	4.4	4.2
İSVEÇ	15.5	16.2	19.0	21.5	30.6
DOĞU AVRUPA	2.3	2.4	1.9	1.8	2.4
MACARİSTAN	2.3	2.4	1.9	1.8	2.4
DİĞER AV. ÜLK.	17.4	20.2	23.1	22.4	24.8

**Tablo 1.3 : Dünya H₂O₂ üreticisi yabancı kuruluşların
kurulu kapasiteleri.**
(T.C. Başbakanlık D.P.T. 1986)

AVRUPA	KURULU KAPASİTE (Ton/yıl)
Oxysynthese / FRANSA	90 000
Interrox Grubu Laporte Chem. Ltd. / İNGİLTERE, BELÇİKA	150 000
Degussa / B. ALMANYA	90 000
Montedison / İTALYA	60 000
Foret / İSPANYA	12 000
Finnish Peroxide / FİNLANDIYA	6 000
Belinka / YUGOSLAVYA	2 100
MACARİSTAN	2 300
(Belirlenemeyenler)	106 000
AMERİKA	
F.M.C. / A.B.D.	78 000
Du Pont / A.B.D.	57 000
Interrox America / A.B.D.	50 000
Degussa Corp. / A.B.D.	40 000
F.M.C. / KANADA	14 000
Atanar / ARJANTİN	3 200
ASYA	
Mitsubishi / JAPONYA	30 000
Toko Denka / JAPONYA	17 000
F.M.C. / JAPONYA (Diğerleri)	17 000 39 800

Tablo 1.4.a : Türkiye'nin H₂O₂ ithalatının Ülkelere göre dağılımı ve miktarları.
(T.C. Bağbakanlık D.P.T. 1986)

ÜLKELER	1984 İthalatı (ton)	1985 İthalatı (ton)
B. Almanya	739.2	1322.5
Arjantin	10.0	---
Avusturya	626.0	1092.0
Belçika, Lüks.	164.1	515.0
Fransa	4413.2	9572.2
İspanya	921.1	481.3
İtalya	426.5	596.3
Japonya	20.0	---
TDPLAM	7320.1	13659.2

Tablo 1.4.b : Türkiye'nin H₂O₂ ithalatının yıllara göre dağılımı ve miktarları.
(T.C. Bağbakanlık D.P.T. 1989 basımda)

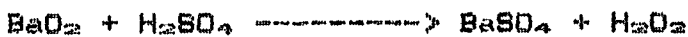
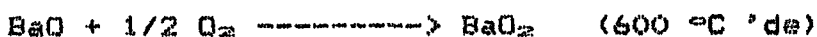
	1985	1986	1987	1988	1989
Miktar (ton)	13659	10250	16785	17443	14375
MİLYON \$	9.6	8.6	16.3	16.4	11.7

Türkiye'de halen üretimi yapılmayan ve yılda yaklaşık 10-15 bin ton ithal edilen H₂O₂'in üretiminde 2-Etil- Antrakinon'u girdi olarak kullanan Antrakinon prosesinde ilk basamak olan hidrojenasyon tepkimesinin kinetiğinin incelenmesi bu çalışmanın amacıdır.

2. KURAMSAL TEMELLER VE KAYNAK ARASTIRMASI

2.1. Hidrojen Peroksit Üretim Yontemleri

XX. Yüzyılın başlarında H_2O_2 'nın üretiminin hemen hemen tamamı, Baryum peroksit ile seyreltik Sulfürük asit'in etkileşmesi sonucu yapılmıştır. Bu amaçla;



tepkime denklemlerinin gerçekleştirildiği sistemler kullanılmış ve üretilen H_2O_2 'nın derişiminin düşük olması nedeniyle vakum destilasyonu uygulanarak deristirilmistir (Faith vd 1966).

Genel olarak H_2O_2 üretim yöntemlerini elektrolitik yöntemler, elektrik yükü boşaltma yöntemi ve kimyasal yöntemler olmak üzere üç ana bölümde incelemek mümkündür.

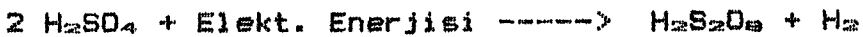
2.1.1. Elektrolitik yöntemler :

Elektrolitik yöntemler ilk olarak Almanya'da geliştirilmiş ve H_2O_2 , II. Dünya savaşı süresince bu yöntemle üretilmiştir (Bretschger vd 1946).

Özetle persülfat tuzlarının elektrolizini içeren bu yöntem Peroksidisulfürük asit ($H_2S_2O_8$), amonyum persülfat ($(NH_4)_2S_2O_8$) ve potasyum persülfat ($K_2S_2O_8$) gibi girdileri kullanan üç farklı proses olarak verilebilir.

a. Persülfürük asit prosesi

Bu prosesste sulfürük asit elektrolizlenerek,



tepkime denklemine göre peroksidisulfürük asit elde edilir. Elektrolizden sonra peroksidisulfürük asit hidrolizlenerek,



tepkime denklemine göre H_2O_2 elde edilir. Elde edilen H_2O_2 destilasyon ile deristirilir.

b. Amonyum persülfat prosesi

Bu prosesste Amonyum bisülfat'ın aşırı süfürük asitli ortamda elektrolizi ile,

$2 (\text{NH}_4)\text{HSO}_4 + \text{Elek. En.} \longrightarrow (\text{NH}_4)_2\text{S}_2\text{O}_8 + \text{H}_2$

tepkime denklemine göre Amonyum persülfat elde edilir. Oluşan Amonyum persülfatın hidrolizlenmesi ile,

$(\text{NH}_4)_2\text{S}_2\text{O}_8 + 2 \text{H}_2\text{O} \longrightarrow 2 (\text{NH}_4)\text{HSO}_4 + \text{H}_2\text{O}_2$

tepkime denklemine göre H_2O_2 elde edilir.

c. Potasyum persülfat prosesi

Bu prosesste Amoniumbisülfat'ın aşırı süfürük asitli bir ortamda elektrolizi ile oluşan Amoniumpersülfat potasyumbisülfat ile tepkime vererek,

$(\text{NH}_4)_2\text{S}_2\text{O}_8 + 2 \text{KHSO}_4 \longrightarrow \text{K}_2\text{S}_2\text{O}_8 + 2 (\text{NH}_4)\text{HSO}_4$

tepkime denklemine göre Potasyumpersülfat elde edilir. Potasyumpersülfatın çözünürlüğü düşük olduğundan kristalleştir. Bu kristaller gözeltiden ayrıldıktan sonra su buharıyla hidrolizlenerek,

$\text{K}_2\text{S}_2\text{O}_8 + 2 \text{H}_2\text{O} \longrightarrow 2 \text{KHSO}_4 + \text{H}_2\text{O}_2$

tepkime denklemine göre elde edilen H_2O_2 buharla sürüklenecek alınır. Fazladan bir ünite daha gerektiren bu prosesten elde edilen H_2O_2 , ticari olup daha derişiktir.

Elektroliz tepkimeleri normal koşullar altında yapılır.

Elektrolitik H_2O_2 üretim yöntemlerinin her üçünde de oluşan tepkimelerin toplu stokiyometrik denklemi,

$2 \text{H}_2\text{O} + \text{Elektrik Enerjisi} \longrightarrow \text{H}_2\text{O}_2 + \text{H}_2$

şeklinde verilebilir. Her üç prosesste de elektroliz-hidroliz tepkimeleri eş anlı olarak yürütür. Elektroliz tepkimesinin girdisinin hidroliz tepkimesinin ürünü olması yöntemi ekonomik yapar. Ancak Elektrik enerjisi tüketimi yönünden ekonomik değildir.

2.1.2. Elektrik yükü boşaltma yöntemi

Bu yöntem ile H_2O_2 üretimi II. Dünya Savaşı yıllarında Almanya'da yapılmıştır.

Seri bağlı, bir ısı değiştirici ve bir iyonlaşma kamerası içeren prosesde 1 atm. basınç ve 60 °C sıcaklıkta su buharı ile doygun Oksijen ve Hidrojen gaz karışımı elektrik yükünün boşaltıldığı bir bölge üzerine gönderilerek H_2O_2 elde edilir. Bu yöntemle % 10 "luk H_2O_2 üretilebilmektedir (Bormley 1945).

Enerji verimi 25 g H_2O_2 / 1 kwh değerindedir.

2.1.3. Kimyasal Yöntemler

Kimyasal Yöntemle H_2O_2 üretiminin, Hidrojen ile Oksijenin doğrudan birleşmesi, hidrokarbonların kısmi oksidasyonu ve otoksidasyon olmak üzere üç kısımda incelenmek mümkündür.

a. Hidrojen ile oksijen'in doğrudan birleşmesi

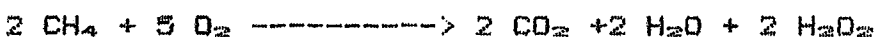
Sıcaklığı -180 °C olan bir yüzey üzerinde 30 - 40 mm Hg basınçta Hidrojen ile Oksijen gaz karışımının bir alev ile yakılması sonucu,



tepkime denklemine göre H_2O_2 üretilir (Egerton ve Minkoff 1947).

b. Hidrokarbonların kısmi oksidasyonu

Metan'ın stokiyometrik olarak fazla oksijenle yakılması,



tepkime denklemine göre H_2O_2 verir. Benzer şekilde diğer alifatik hidrokarbonlarda aynı tepkimeyi patlamalı bir şekilde verirler (Kocijman 1947).

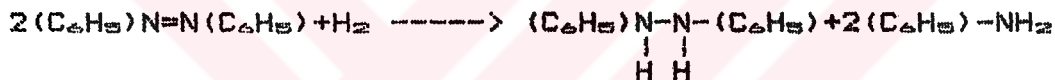
c. Otoksidasyon

Otoksidasyonla H_2O_2 üretimi hidrojenasyon ve oksidasyon basamaklarını içeren bir çevrim prosesi olup II. Dünya Savaşı yıllarında Almanya'da geliştirilmiştir. Bu yöntemle H_2O_2 üretiminde, otoksidasyona tabi tutula-

cak maddelerin seçiminde maddenin gözünürlüğünün, otoksidasyon hızının ve tepkime yan ürünlerinin göz önünde bulundurulması gereklidir.

Bu tip proseslerde, otokside olabilen maddenin ve tepkime ürünlerinin çözücü içinde çözünebilir olması istenir.

Hidrazobenzen, Antrahidrokinon ve 2-Etil-Antra hidrokinon gibi otokside olabilen organik maddeler literatürde bu amaca yönelik olarak incelenmiş ve hidrazobenzenin otoksidasyon hızının, antrahidrokinon ve 2-Etil-antrahidrokinon'dan daha düşük olduğu bulunmuştur. Ayrıca azobenzenin hidrojenasyonu sırasında,



tepkime denklemine göre yan ürün olarak Anilin'de oluşmaktadır. H_2O_2 üretiminde yan ürünlerin oluşması otoksidasyona tabi tutulan maddenin derişiminin azalmasına neden olacağından istenmez (Slatter vd 1945).

2.2. Hidrojenasyon

Hidrojenasyon prosesi (Genel bir terim olan indirgemeden farklı olarak) katalizör bulunan bir ortamda bir maddenin hidrojen ile tepkime vermesi anlamına gelir. Bu tip tepkimeler bir moleküle sadece hidrojen katılması şeklinde ise " HIDROJENASYON ", bir molekülün hidrojen ile önce parçalanması ve sonra doyulması şeklinde ise bozundurucu hidrojenasyon veya " HIDROJENOLİZ " olarak tanımlanır.

Katalitik hidrojenasyon laboratuvarlarda ve endüstride yaygın bir şekilde kullanılmaktadır. Laboratuvarlarda; pek çok kimyasal sentezler ve organik bileşiklerin yapılarının tayininde, endüstride; Amonyak, metanol, sıvı yakıtlar, margarin gibi pek çok organik

maddenin üretiminde kullanılır.

Hidrojenasyonun ilk endüstriyel uygulaması sıvı yağları katı yağlara dönüştürmek amacıyla iki karbon atomu arasındaki çift bağların azaltılması şeklinde olmuştur (Grau vd 1988).

2.2.1. Hidrojenasyon Tepkimeleri

Aromatik bileşiklerin hidrojenasyonu Nikel katalizörü üzerinde 180 °C'de gerçekleştirilebilir. Katalitik indirgeme buhar fazda 1 atm., sıvı fazda 100 - 200 atm. hidrojen basıncında yürütülebilir. Bir aromatik bileşik olarak Naftalin veya bir naftalin türevinin sıvı faz hidrojenasyonunda tepkime ürünlerini tetra veya dekahidro-Naftalin türevleri olabilir. Daha fazla fonksiyonlu grupların bulunması veya bütül ve amil'den daha uzun zincir bulunması halinde, zincirdeki karbon-karbon bağında kopma olusur. Bu durumda daha düşük sıcaklığın, daha yüksek hidrojen basıncının ve daha aktif bir katalizörün kullanılması gereklidir (Çataltaş 1980).

2.2.2. Hidrojenoliz Tepkimeleri

Hidrojenoliz tepkimeleri ısı ve katalizörün etkisi ile organik bileşiklerin parçalanması ve parçalanan bu bağların hidrojenasyonu olarak bilinirler.

Parafinitik ve Aromatik hidrokarbanlar (260 °C sıcaklık ve 8-34 atm. basınçta) zincir uzunluğuna, zincirdeki dallanmalara ve halka yapısına bağlı olarak, ısı ve Nikel katalizörünün birleştirilmiş etkisi altında hidrojenoliz tepkimesi verirler. Bu tip tepkimelerde halka yapısı açılarak daha küçük molekül parçaları olusur. Oluşan ürünler orjinal molekülden daha sağlamdırlar ve daha fazla hidrojen igerirler. Örneğin; Naftalinin hidrojenolizinde ilk olarak halkanın doyması yapının hidroaromatik yapıya indirgenmesi ile başlar ve bunu bir zincir olusumu izler (Çataltaş 1980).

Zincir yapılı bileşiklerin mol başına C=C çift bağ enerjisi 100 kcal ve C-C tek bağ enerjisi 58.6 kcal'dır. Bu nedenle hidrojenoliz tepkimeleri fonksiyonlu grup içeriğine ve zincir uzunluğuna bağlı olarak C-C tek bağının parçalanması ile olur.

Hidrojenoliz tepkimelerinde parçalanan C=O çift bağının mol başına enerjisi 150 kcal iken C-O tek bağının enerjisi 70 kcal'dır. Bu nedenle parçalanma tek bağın kopması ile başlar (Fieser ve Fieser 1955).

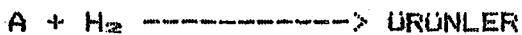
2.3. Heterojen Katalitik Hidrojenasyon tepkime sistemi

Katalitik hidrojenasyon tepkime sistemlerinde tepkiyenler ile katalizör farklı fazlarda bulunur. Hidrojen gaz fazda, hidrojenlenecek yapı gaz veya sıvı fazda ve katalizör katı fazda olmak üzere toplam üç fazda fazlar arası kütle aktarımı gerçekleşir.

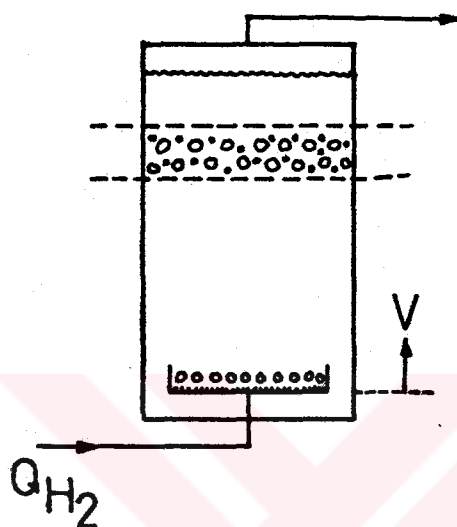
Tepkiyenler gaz veya sıvı fazdan katalizör aktif yüzeylerine difüzyon mekanizması ile taşınırlar ve burada yüzey tepkimesi vererek ürünlere dönüşürler. Bu tip hidrojenasyon tepkimeleri çok fazlı tepkime sistemlerinden biri olan kütle ve ısı ak世im dirençlerinin küçük tutulmasını sağlayan süspansiyon tipi reaktörlerde gerçekleştirilebilirler.

A. Süspansiyon Tepkime sistemleri (SLURRY)

Gaz veya sıvı fazda bulunan tepkiyenler ile katı katalizör parçacıklarının bir arada asilti halde bulundukları tepkime sistemleri, " SLURRY " olarak adlandırılırlar.



tepkime denklemi ile verilen bir hidrojenasyon tepkimesi slurry tip bir reaktörde yapılır (Şekil 2.1).

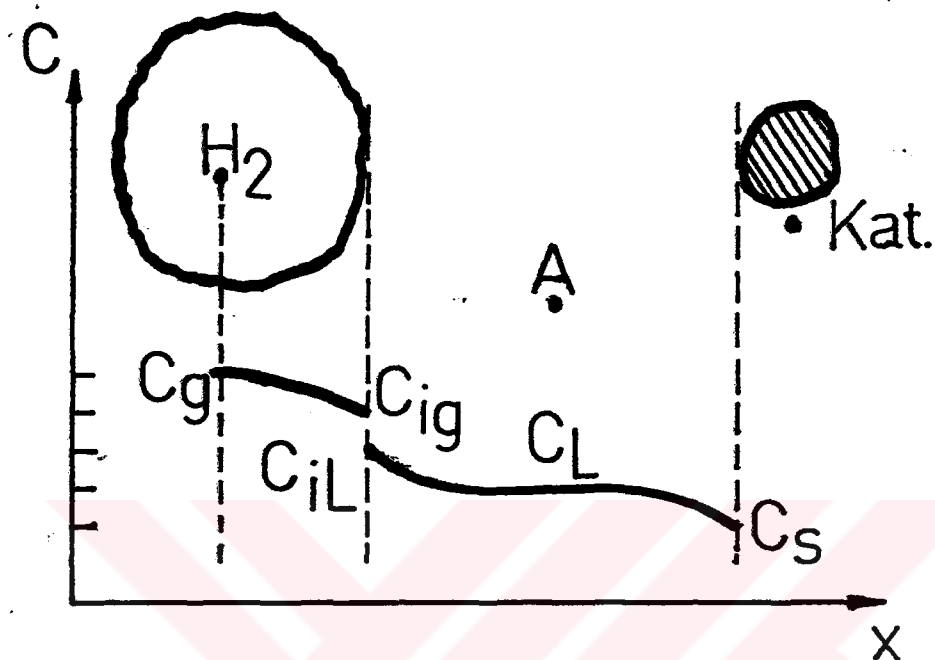


Sekil 2.1. Slurry reaktör

Burada bir gaz dağıtıçısı ile hidrojen gazı, süspansiyon içerişine dağıtılmaktadır. Pudra halinde katalizör partikülleriyle çalışma gözeltisi karıştırılarak elde edilen süspansiyon, kütte ve tari aktarım dirençlerini düşük tutmaktadır. Tepkiyenler bulunduğu fazla göre fazlar arasında aktarılarak birbirleri ile temas etmektedir. Tepkime sonucu oluşan ürünler gaz veya sıvı faz içerişinde yer almaktadır.

Tepkiyenlerden biri gaz diğeri sıvı fazda ise her bir faz için farklı basamaklarla gerçekleşen kütte aktarımı farklı hızda olacaktır.

Sekil 2.2'de verilen derişim profilinde hidrojenin katalizör yüzeyine aktarım basamakları gösterilmiştir.



Şekil 2.2. Slurry reaktörde gaz tepkiyinin derişim profili

Gaz tepkiyen içini

- a. H_2 molekülleri gaz filmi geçerek gaz-sıvı ara yüzeyine taşınır.

$$r = k_{e,a} \cdot a_e (C_{se} - C_{re})$$

- b. Seyreltik sistemler için gaz-sıvı arayüzeyinde Henry yasası geçerlidir.

$$C_{re} = H_e \cdot C_{re}$$

- c. H_2 molekülleri gaz-sıvı arayüzeyinden sıvı yoğunmasına taşınır.

$$r = k_L \cdot a_e (C_{re} - C_L)$$

- d. H_2 molekülleri katalizörü saran sıvı filmini aşarak, katalizör aktif yüzeyine taşınır.

$$r = k_c \cdot a_c (C_L - C_a)$$

e. H_2 molekülleri katalizör aktif yüzeylerine daha önce taşınmış sıvı molekülleriyle (A) yüzey tepkimesi verir.

$$r = k \cdot ac \cdot Cs$$

Tüm basamakları ifade eden eşitlikler birarada düzenlenirse,

$(1/k_{o,H_2}) = (ac/a_o) * [(1/k_{o,H_2}) + (1/k_L)] + [(1/k_c) + (1/k)]$

esitliği elde edilir. Hidrojen gazının çözünürlüğü nedeniyle gaz tarafı film direnci ihmal edilerek ($C_o = C_{eo}$)

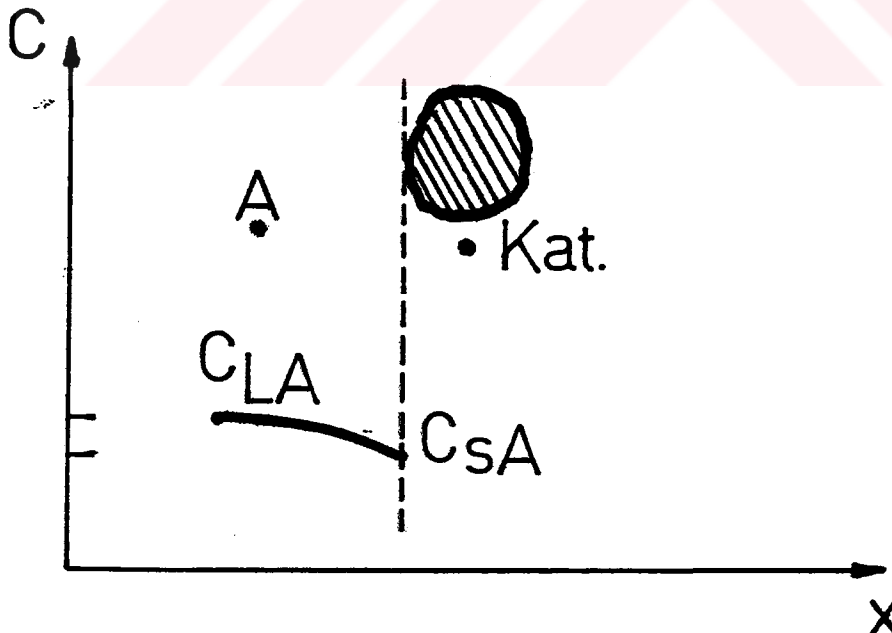
$k_{o,H_2} = 1 / [(ac/a_o/k_L) + (1/k_c) + (1/k)]$

esitliği elde edilir. Diğer yandan gaz-sıvı arayüzeyinde gaz ile sıvı faz dengede olacağından ($C_o = H_2 \cdot (C_L)_e$) , hız ifadesi,

$$r = k_{o,H_2} \cdot ac = k_{o,H_2} \cdot ac \cdot (C_L)_e$$

şeklinde verilebilir (Smith 1981).

Sekil 2.3 'te verilen derişim profiline sıvı tepkiyenin aktarım basamakları gösterilmistiir.



Sekil 2.3. Slurry reaktörde sıvı tepkiyenin derişim profili

Sıvı tepkiyen için;

a. Sıvı yoğunlığını içinde gözönümüş halde bulunan sıvı tepkiyen katalizör aktif yüzeyine taşınır.

$$r = k_m \cdot a_m (C_{L0} - C_{S0})$$

b. Sıvı tepkiyen ile hidrojen molekülleri yüzey tepkimesi verir.

$$r = k_s \cdot C_{S0}$$

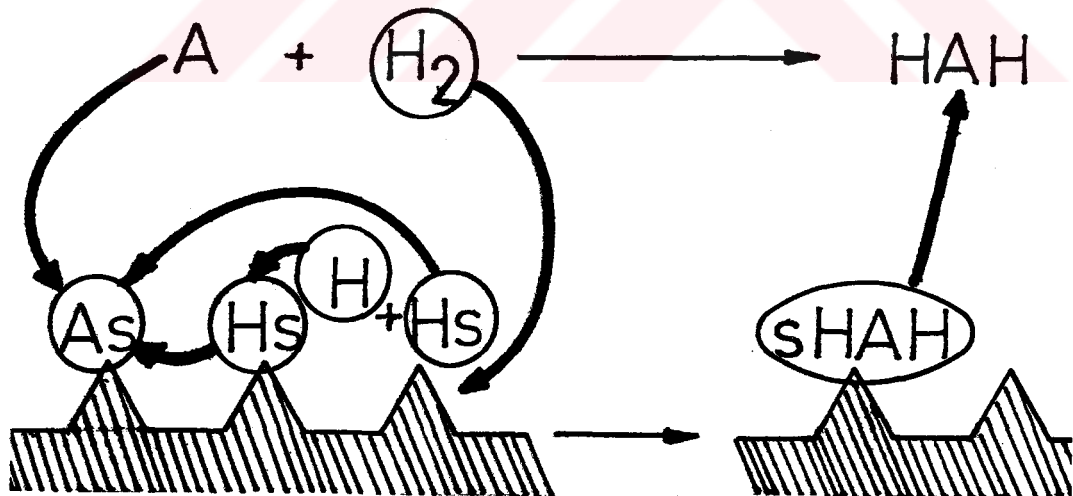
Eşitliklerin düzenlenmesiyle,

$$r = [1 / ((1/k_s) + (1/k_m \cdot a_m))] \cdot C_{L0}$$

tepkime hız ifadesi elde edilir (Smith 1981).

B. Mekanizma ve Kinetik Modeller

Katalitik hidrojenasyon tepkimelerinde tepkiyenlerin yoğunlığını içinden difüzlenerek katalizör aktif yüzeylerine adsorpsiyonu ilk basamak, yüzey tepkimesi ikinci basamak ve oluşan ürünlerin desorpsiyonu ile tekrar yoğunlığına taşınması üçüncü basamaktır.



Yukarıda sematik olarak gösterilen tepkimede Hidrojen molekülleri katalizör aktif yüzeylerine taşınmakta, burada ayrışarak birbirine komşu iki aktif konumda aktiflenmiş ürün vermektedir.

Çözeltili içindeki sıvı tepkiyenin ise uygun bir aktif konum ile aktiflenmiş ürün verdiği veya aktif konum üzerinde gaz fazı gibi davranışlığı kabul edilmektedir.

a. Hidrojen ve sıvı tepkiyenin aktif konumlarla aktiflenmiş ürün oluşturarak yüzey tepkimesi verdiği düşünülürse aşağıdaki kinetik model ve tepkime denklemleri önerilebilir (Lemcoff 1977).

1. $H_2 + 2 S \rightleftharpoons 2 HS$ (H₂ adsorpsiyonu)
2. $A + S \rightleftharpoons AS$ (EAK'un adsorpsiyonu)
3. $AS + HS \rightleftharpoons ASH + S$ (1. yüzey tepkimesi)
4. $ASH + HS \rightleftharpoons HAHS + S$ (2. yüzey tepkimesi)
5. $HAHS \rightleftharpoons HAH + S$ (Ürünün desorpsiyonu)

Her bir basamak elemanter tepkime kabul edilecek tepkime hız ifadeleri yazılabilir.

$$r_1 = k_{1F} \cdot C_H \cdot S_V^2 - k_{1R} \cdot S_H^2$$

$$r_2 = k_{2F} \cdot C_A \cdot S_V - k_{2R} \cdot S_A$$

$$r_3 = k_{3F} \cdot S_A \cdot S_H - k_{3R} \cdot S_{AH} \cdot S_V$$

$$r_4 = k_{4F} \cdot S_{AH} \cdot S_H - k_{4R} \cdot S_{HAH} \cdot S_V$$

$$r_5 = k_{5F} \cdot S_{HAH} - k_{5R} \cdot S_{HAN} \cdot S_V$$

(Toplam konum derişimi = $S_V + S_H + S_A + S_{AH} + S_{HAN} = 1$)

1. Hidrojen adsorpsiyonu hız kısıtlayıcı olduğunda,

$$r_1 = \frac{C_{HAN}/C_H}{K_1 \cdot K_2 \cdot K_3 \cdot K_4 \cdot K_5}$$

$$r_2 = \frac{\frac{C_{HAN}/C_A}{[1 + (\frac{C_{HAN}/C_H}{K_1 \cdot K_2 \cdot K_3 \cdot K_4 \cdot K_5})^{1/2} + K_2 \cdot C_A + (\frac{K_2 \cdot K_3 \cdot C_A \cdot C_{HAN}}{K_4 \cdot K_5})^{1/2} + (\frac{C_{HAN}}{K_5})^{1/2}]}^{1/2} + (\frac{C_{HAN}}{K_5})^{1/2}}{K_2 \cdot K_3 \cdot K_4 \cdot K_5}$$

2. EAK'un adsorpsiyonu hız kısıtlayıcı olduğunda,

$$r_1 = \frac{C_{HAN}/C_H}{K_1 \cdot K_2 \cdot K_3 \cdot K_4 \cdot K_5}$$

$$r_2 = \frac{\frac{C_{HAN}/C_A}{[1 + (K_1 \cdot C_H)^{1/2} + (\frac{C_{HAN}/C_H}{K_1 \cdot K_2 \cdot K_3 \cdot K_4 \cdot K_5})^{1/2} + (\frac{C_{HAN}/C_H}{K_1^{1/2} \cdot K_4 \cdot K_5})^{1/2} + (\frac{C_{HAN}}{K_5})^{1/2}]}^{1/2} + (\frac{C_{HAN}}{K_5})^{1/2}}{K_2 \cdot K_3 \cdot K_4 \cdot K_5}$$

3. Birinci yüzey tepkimesi hız kısıtlayıcı olduğunda,

$$r_s = \frac{k_{se} \cdot K_1^{1/2} \cdot K_2 \cdot (C_a \cdot C_H)^{1/2} - \frac{C_{NH}/C_H^{1/2}}{K_1 \cdot K_2 \cdot K_3 \cdot K_4 \cdot K_5}}{(1 + (K_1 \cdot C_H)^{1/2} + K_2 \cdot C_a + (\frac{C_{NH}/C_H^{1/2}}{K_1^{1/2} \cdot K_4 \cdot K_5} + \frac{C_{NH}}{K_2}))^{1/2}}$$

4. ikinci yüzey tepkimesi hız kısıtlayıcı olduğunda,

$$r_s = \frac{k_{se} \cdot K_1 \cdot K_2 \cdot K_3 \cdot K_4 \cdot (C_a \cdot C_H) - \frac{C_{NH}}{K_1 \cdot K_2 \cdot K_3 \cdot K_4 \cdot K_5}}{(1 + (K_1 \cdot C_H)^{1/2} + K_2 \cdot C_a + (K_1 \cdot C_H)^{1/2} \cdot (K_3 \cdot C_a) \cdot K_4 + (\frac{C_{NH}}{K_5})^{1/2})}$$

5. Ürünün desorpsiyonu hız kısıtlayıcı olduğunda,

$$r_s = \frac{k_{se} \cdot K_1 \cdot K_2 \cdot K_3 \cdot K_4 \cdot (C_a \cdot C_H) - \frac{C_{NH}}{K_1 \cdot K_2 \cdot K_3 \cdot K_4 \cdot K_5}}{(1 + (K_1 \cdot C_H)^{1/2} + K_2 \cdot C_a + (K_1 \cdot C_H)^{1/2} \cdot (K_3 \cdot C_a) \cdot K_4 + K_1 \cdot K_2 \cdot K_3 \cdot K_4 \cdot C_a \cdot C_H)}$$

hız ifadeleri elde edilir.

b. Sadece hidrojenin aktiflenmiş ürün verdiği varsayılarla aşağıdaki kinetik model ve hız ifadeleri önerilebilir (Chaudhari vd 1985).

1. $H_2 + 2S \rightleftharpoons 2HS$ (H₂ adsorpsiyonu)
2. $A + HS \rightleftharpoons AHS$ (1. yüzey tepkimesi)
3. $AHS + HS \rightleftharpoons HAHS + S$ (2. yüzey tepkimesi)
4. $HAHS \rightleftharpoons HAH + S$ (Ürünün desorpsiyonu)

Her bir basamak elemanter kabul edilerek tepki-ma hız ifadeleri yazılabilir.

$$r_1 = k_{1e} \cdot C_H \cdot S^{1/2} = k_{1e} \cdot S^{1/2}$$

$$r_2 = k_{2e} \cdot C_A \cdot S^{1/2} = k_{2e} \cdot S^{1/2}$$

$$r_3 = k_{3F} \cdot S_{OH} \cdot S_H - k_{3R} \cdot S_{NaOH} \cdot S_V$$

$$r_4 = k_{4F} \cdot S_{NaOH} - k_{4R} \cdot S_{NaOH} \cdot S_V$$

(Toplam konum derişimi = $S_V + S_H + S_{OH} + S_{NaOH} = 1$)

1. Hidrojen adsorpsiyonu hız kısıtlayıcı olduğunda,

$$r_1 = \frac{k_{1F} (C_H - \frac{S_{NaOH}/C_O}{K_1 \cdot K_2 \cdot K_3 \cdot K_4})}{[1 + (\frac{S_{NaOH}/C_O}{K_2 \cdot K_3 \cdot K_4})^{1/2} + (\frac{K_2 \cdot C_A \cdot S_{NaOH}}{K_3 \cdot K_4})^{1/2} + (\frac{S_{NaOH}}{K_4})]^{1/2}}$$

2. Birinci yüzey tepkimesi hız kısıtlayıcı olduğunda,

$$r_2 = \frac{k_{2F} \cdot K_1^{1/2} (C_A \cdot C_H^{1/2} - \frac{S_{NaOH}/C_H^{1/2}}{K_1 \cdot K_2 \cdot K_3 \cdot K_4})}{[1 + (K_1 \cdot C_H)^{1/2} + (\frac{S_{NaOH}/C_H^{1/2}}{K_1^{1/2} \cdot K_3 \cdot K_4}) + (\frac{S_{NaOH}}{K_4})]^{1/2}}$$

3. ikinci yüzey tepkimesi hız kısıtlayıcı olduğunda,

$$r_3 = \frac{k_{3F} \cdot K_1 \cdot K_2 (C_A \cdot C_H - \frac{S_{NaOH}}{K_1 \cdot K_2 \cdot K_3 \cdot K_4})}{[1 + (K_1 \cdot C_H)^{1/2} + (K_1 \cdot C_H)^{1/2} \cdot (K_2 \cdot C_A) + (\frac{S_{NaOH}}{K_4})]^{1/2}}$$

4. Ürünün desorpsiyonu hız kısıtlayıcı olduğunda,

$$r_4 = \frac{k_{4F} \cdot K_1 \cdot K_2 \cdot K_3 (C_A \cdot C_H - \frac{S_{NaOH}}{K_1 \cdot K_2 \cdot K_3 \cdot K_4})}{[1 + (K_1 \cdot C_H)^{1/2} + (K_1 \cdot C_H)^{1/2} \cdot (K_2 \cdot C_A) + K_1 \cdot K_2 \cdot K_3 \cdot C_A \cdot C_H]^{1/2}}$$

hız ifadeleri elde edilir.

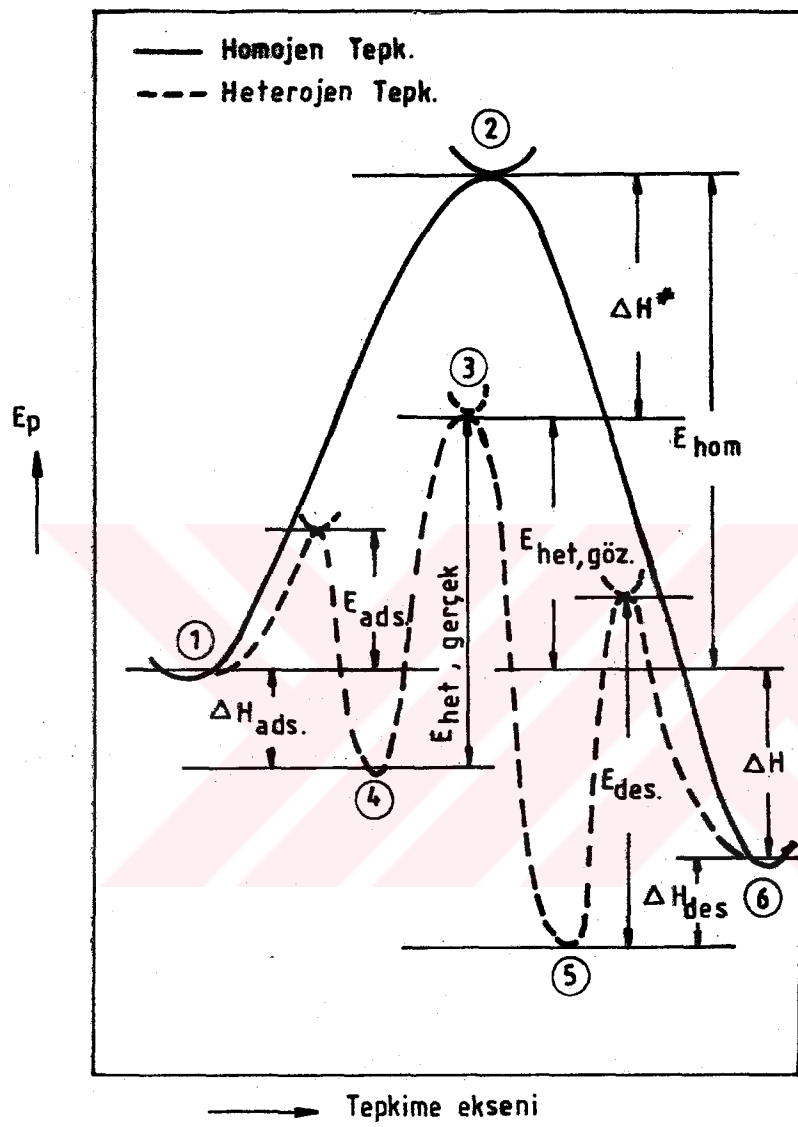
2.3.1. Katalizörün işlevi ve Aktivasyon Enerjisi

Katalizörler tepkime ortamında bulunan ve tepkime ile tüketilmeyen veya tüketildikleri halde tepkime sonunda yeniden elde edilen kimyasal maddeler olup tepkiyenleri tepkime verme açısından aktifleme işlevine sahiptirler.

Heterojen katalitik tepkime sistemlerinde tepkiyenler katalizör ile aktiflenmiş ürün oluşturarak enerji seviyelerini artırırlar. Örneğin; Hidrojenasyon ve dehidrojenasyon katalizörleri (Pt , Pd , Ni vd.) hidrojeni kolayca tutarak aktiflenmiş ürün (Pt-H , Pd-H , Ni-H vd.) oluştururlar. Bunlar arasında özellikle Pd katalizörü hidrojeni parçalayarak aktiflenmiş ürün vermesiyle yeteneklidir.

Ne tür fazda yürüse yürüsun, her tepkimenin gerçekleştiği belli bir enerji seviyesi vardır. Tepkiyenlerin bulunduğu bu nokta "AKTİFLENMİŞ KOMPLEKS" olarak adlandırılır. Aktiflenmiş kompleks noktasındaki tepkiyenlerin bulunduğu enerji seviyesi ise "AKTİVASYON ENERJİSİ" olarak tanımlanır.

Heterojen tepkime sistemleri ile homojen tepkime sistemleri arasında aktivasyon enerjisi yönünden ilişkili kurulabilir. Tepkiyenler ile katalizör farklı fazlarda bulunuyorlarsa deneysel verilerden Heterojen Aktivasyon Enerjisi (E_{HET}) , aynı tepkimenin katalizör bulunmayan bir ortamda yapılması durumunda ise Homojen Aktivasyon Enerjisi (E_{HOM}) hesaplanabilir. Aktivasyon enerjileri arasındaki fark, tepkiyenlerin bulunduğu enerji seviyesinden tepkime verebilecekleri enerji seviyesine gelmelerini kesin olarak açıklar.



Şekil 2.4. Aktivasyon Enerjisi

Heterojen aktivasyon enerjisi, Homojen aktivasyon enerjisinden farklı olarak kesin bir düşüş gösterir. Bu fark adsorpsiyon ısısıdır (ΔH_{ads}).

Heterojen tepkimelerde təkiyenlerin adsorplanma potansiyel engeli (E_{ads}) aşıldıktan sonra, adsorpsiyon gerçekleşir. Enerji seviyesi tekrar düşen təkiyenler tepkime enerji seviyesini yeniden aşarak ($E_{het,bez}$) , tepkime olusur. Son olarak olusan ürünlerin desorpsiyon potansiyel engeli (E_{des}) aşılıarak proses tamamlanır.

Heterojen ve Homojen proseslerde başlangıç ve son enerji seviyeleri aynı kaldığından tepkime entalpiyi (ΔH) aynı kalır.

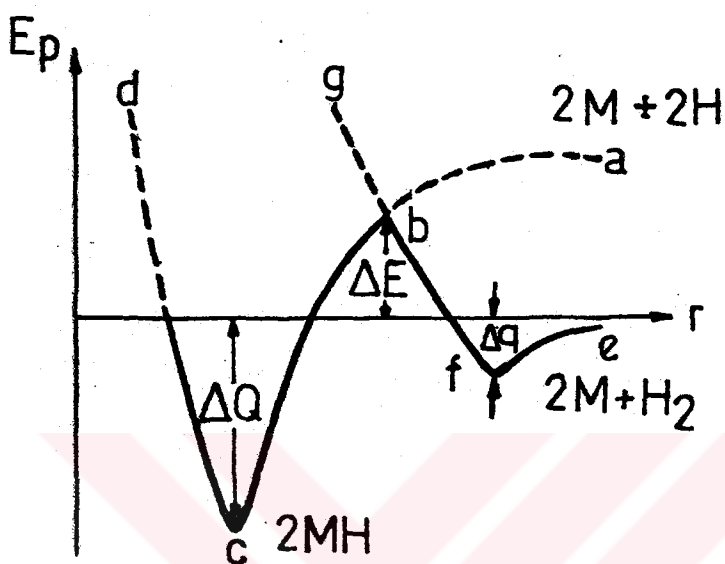
Arhenius bağıntısı [$k=k_0 \cdot \exp(-E_a/R \cdot T)$] kullanılarak deneysel verilerden hesaplanan aktivasyon enerjisi, gözlenen aktivasyon enerjisidir. Buna adsorpsiyon entalpisi eklenerek gerçek aktivasyon enerjisi , ($E_{het,bez} = E_{hom} - \Delta H^*$) bulunur (Panchenkov ve Lebedev 1976) .

2.3.2. Tepkiyenlerin Adsorpsiyonu

Katı katalizör yüzeyine gaz tepkiyenlerin adsorpsiyonu iki şekilde olur. Bunlar Vander waals tipi adsorpsiyon ve kimyasal adsorpsiyon olarak adlandırılır. Şekil 2.5 'te Hidrojenin moleküler ve atomik halde bir metal yüzeyine adsorpsiyonu verilmiştir.

Vander waals tipi adsorpsiyonda moleküler arasındaki çekim kuvvetleri nedeniyle hidrojen molekülleri metal yüzeyine zayıfca tutnırlar.

Bu durum şekil üzerinde e,f,b,g yolunun izlediği $2M+H_2$ potansiyel eğrisi ile gösterilmiştir. Metal yüzeyinden belli bir uzaklıkta bulunan molekülerin enerji seviyeleri yüzeye yaklaşmaları ile düşmekte ve küçük bir minimumdan gerekten yeniden artmaktadır. Bu tip adsorpsiyonda adsorpsiyon ısısı çok küçüktür.



Sekil 2.5. Adsorpsiyon Potansiyel Eğrisi

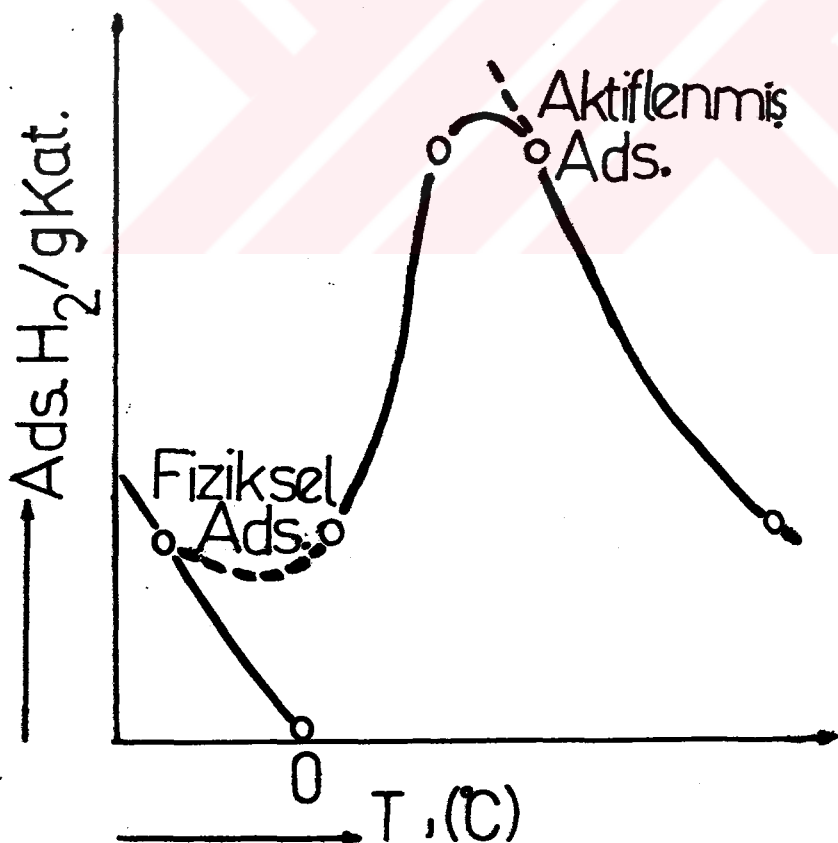
Kimyasal adsorpsiyonda ise moleküler hidrojen ayrışarak metal yüzeyi ile MH yapısını oluşturur. Bu durum a,b,c,d yolu ile verilen 2M+2H potansiyel eğrisi ile gösterilmistir. Adsorpsiyon ısısı yüksektir.

Gerçekte metalik bir katı olarak katalizörün kullanıldığı bir tepkime sisteminde her iki tip adsorpsiyonda aynı anda olur.

Başlangıçta Vander waals tipi adsorpsiyon ile yüzeye adsorplanan moleküller sekil üzerinde e,f,b,c,d yolunu izleyerek kimyasal olarak adsorplanırlar. Metal yüzeyinden belli bir mesafede bulunan Hidrojen molekülleri, 2M+H₂ potansiyel eğrisinden 2M+2H potansiyel eğrisine geçişte Aktivasyon Enerjisi (E_a) kullanırlar. Daha sonra bir minimumdan geçen, bir karakteristik potansiyel eğrisi vererek enerji seviyelerini yeniden yükseltirler.

Bu nedenle kimyasal adsorpsiyonla adsorplanmış hidrojenin enerji seviyesi arttığından tepkime vermesi açısından yeterince aktiflenmiştir denir ve bu nokta "AKTİFLENMİŞ ADSORPSİYON" olarak tanımlanır. Şekil 2.6 da aktiflenmiş adsorpsiyonun sıcaklıkla değişimi adsorplanan hidrojen miktarı ile karakterize edilmiştir.

Sıcaklığın artması genellikle adsorpsiyonu yavaşlatır. Kimyasal adsorpsiyon, fiziksel adsorpsiyona kıyasla daha yüksek sıcaklıkta gerçekleştiğinden aktiflenmiş adsorpsiyon sıcaklığında adsorplanan hidrojen miktarı maksimum değerindedir. Sıcaklığı bu noktadan itibaren artırmak kimyasal olarak adsorplanan hidrojen miktarını azaltacağının tepkime ile tüketilebilecek tepkiyen miktarını da azaltmış olacaktır.



Şekil 2.6. Adsorplanan H₂'nin sıcaklıkla değişimi

2.3.3. Kinetik ve Difüzyon kontrollü Prosesler

Heterojen katalitik tepkimeler tepkiyenlerin katalizör aktif yüzeylerine difüzyonu ile gerçekleşirler. Oluşan tepkimenin hızı difüzyon hızından büyükse tüm tepkime hızı difüzyon kontrolludur. Tepkime hızı difüzyon hızından küçük ise tüm tepkime hızı yüzey tepkimesinin hızı tarafından kontrol edilir ve kinetik kontrollü olarak adlandırılır.

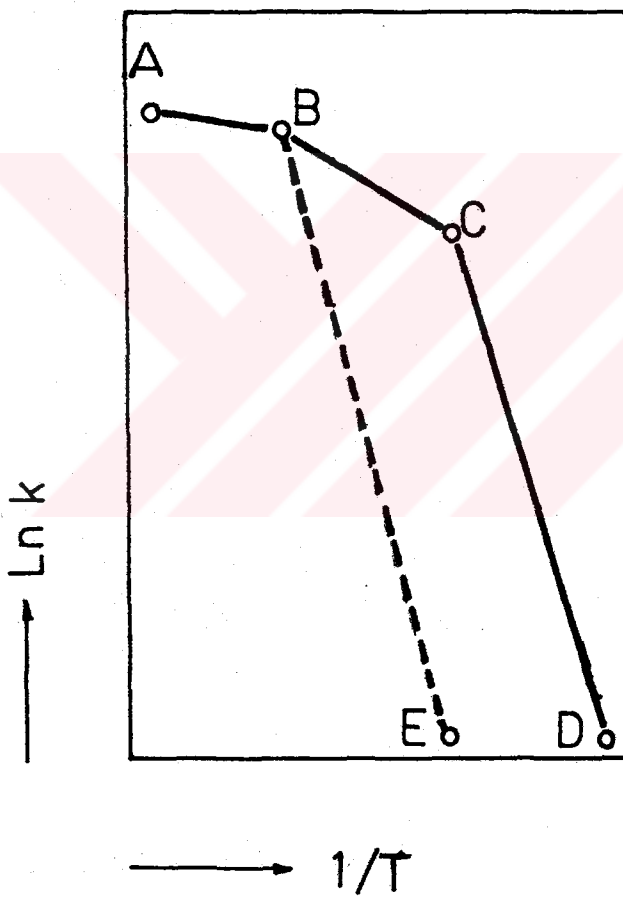
Difüzyon hızı sayısal olarak yüzey tepkimesi hızına yakın ise tüm tepkime hızı geçiş bölgesinde yer alır.

Heterojen tepkime sistemleri ortam sıcaklığının büyük ölçüde etkilendirler. Örneğin; Sıcaklığın 10°C artması difüzyon hızını 1.2 kat arttırırken tepkime hızını 4.0 kat arttırır. Diğer bir deyişle sıcaklığın azalması tepkime hızını difüzyon hızından daha fazla düşürür. Bu nedenle düşük sıcaklıklarda heterojen katalitik prosesler genellikle kinetik kontrolludur.

Sıcaklıkla gözlenen hız sabiti arasındaki ilişki Şekil 2.6'da verilmiştir. Şekilde AB doğrusu ile gösterilen bölgede hız sabiti sıcaklığından çok az etkilendir. Bu aralık difüzyon kontrollü bölgedir.

BC ve CD doğrularının eğimi Aktivasyon enerjilerine karşılık gelir. Bu nedenle BC aralığında tüm tepkime hızı, tepkime ve difüzyon hızına eş anla olarak bağlı ve CD aralığında ise sadece yüzey tepkimesinin hızına bağlıdır. BE aralığında ise tüm tepkime hızı aktivasyon enerjisinin büyük olması nedeniyle kinetik kontrollü olup, prosesi bir bütün olarak tanımlar (Panchenkov ve Lebedev 1976).

$$-\frac{E}{R} = \frac{\Delta(\ln k)}{\Delta(1/T)}$$



Sekil 2.7. Tepkime hız sabitinin sıcaklıkla değişimi

2.4. Antrakinon Prosesi

Kimyasal yöntemle H_2O_2 üretiminin yapıldığı bir prosesidir.

Bu prosesin girdileri özgün tanımları ile bilinirler. Prosesde Alkilantrakinonlar "ÇALISMA MATERYALI", organik çözücüler "ÇALISMA ÇÖZÜCÜLERİ" ve Alkilantrakinonların organik çözücülerde çözünmesi ile hazırlanan çözeltiler ise "ÇALISMA ÇÖZELTİLERİ" olarak tanımlanırlar.

Prosesin maliyetine etki eden hususlar;

Hidrojenasyon katalizörlerinin hazırlanması ve rejenere edilme masrafları,

Çalışma çözeltisinin fiziksel ve kimyasal özelliklerinden gelen kayıplar,

H_2O_2 'in deriştirilmesi,

Hidrojen (H_2 , ve Oksijen (O_2) tüketimi, şeklinde sıralanabilir.

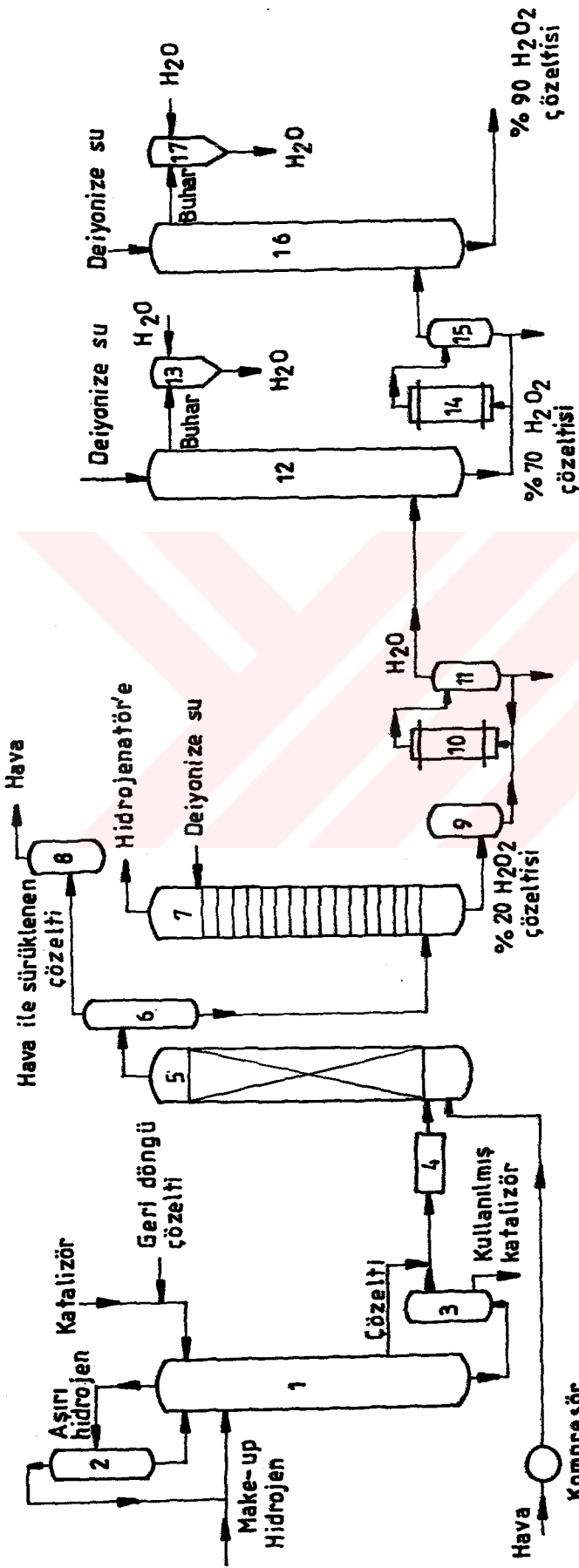
Antrakinon prosesi sürekli işletimle H_2O_2 üreten bir prosesidir. Hidrojenasyon, Oksidasyon, Ekstraksiyon ve Destilasyon olmak üzere dört ana ünite ve yan üniteler igerir (Powell 1968).

Antrakinon prosesine ait bir akım şeması Şekil 2.8'de verilmiştir.

2.4.1. Çalışma Materyalleri

Antrakinon prosesinde stokiyometrik olarak 1 gmol kinon yapısının hidrojenlenmesi için 1 gmol hidrojen harcanır ve 1 gmol hidrokinon yapısı elde edilir. Bu hidrokinon yapısının, prosesin oksidasyon basamağında otoksidasyona tabi tutması ile H_2O_2 ve tekrar kinon yapısı elde edilir.

Üretilen H_2O_2 derişimi stokiyometrik olarak çalışma çözeltisindeki kinon derişimine bağlıdır. Bu nedenle Hidrojenasyon tepkimesinde girdi olarak kullanı-



- | | | | |
|--------------------------|------------------------------|------------------------------|------------------------------|
| 1- Hidrojenasyon ünitesi | 6- Ayırıcı | 11- Ayırıcı | 16- Destilasyon ünitesi II |
| 2 - Ayırıcı | 7- Ekstraksiyon ünitesi | 12- Destilasyon ünitesi I | 17- Jet spray yoğunlaştırıcı |
| 3- Filtre | 8- Aktif kömürlü absorbayıcı | 13- Jet spray yoğunlaştırıcı | |
| 4- Soğutucu | 9- Organik arıklar | 14- Buharlaştırıcı | |
| 5- Oksidasyon ünitesi | 10- Buharlaştırıcı | 15- Ayırıcı | |

Şekil . 2.8 ANTRAKİNİN PROSESİ Akım şeması.

İaacak Alkilantrakinon'un çalışma çözücüüsü içindeki gözünlüğü çok önemlidir.

Endüstriyel amaçla kullanılabilecek çalışma materyalleri Tablo 2.1'de verilmiştir.

Tablo 2.1. Çalışma Materyalleri

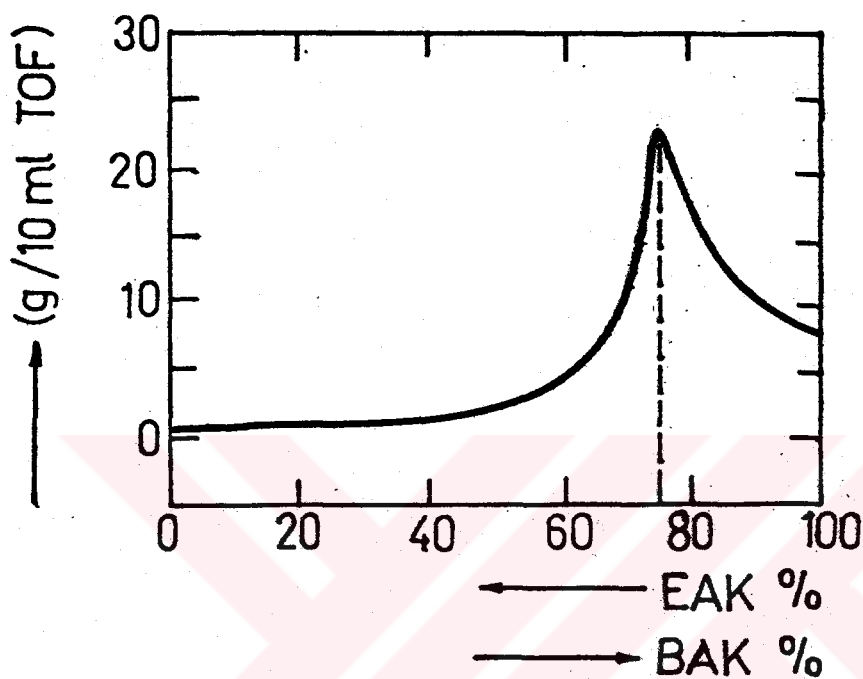
2-Etil-Antrakinon	2,3-dimetil-Antrakinon
2-izo-propil-Antrakinon	1,4-dimetil-Antrakinon
2-sek-bütil-Antrakinon	2,7-dimetil-Antrakinon
2-ter-bütil-Antrakinon	2-izo-sek-amil-Antrakinon
1,3-dimetil-Antrakinon	2-ter-amil-Antrakinon

2.4.2. Çalışma Materyali olarak Ötektik Alkilantrakinon Karışımıları

Antrakinon posesi ile H_2O_2 üretiminde çalışma çözücüüsü içinde gözünen çalışma materyalinin miktarının yüksek tutulması amaçlanır. Bu nedenle çalışma materyali olarak Alkilantrakinonların yanı sıra bunların ötektik karışımıları da kullanılır (Darbee ve Kreuz 1960).

Sekil 2.9'da Bütilantrakinon(BAK)-Etilantrakinon ötektik karışımının Tricktilfosfat(TOF) 'taki gözünlük eğrisi verilmiştir. Gözünlük eğrisinden anlaşıldığı gibi en iyi gözünlük değeri, egrinin maksimum yaptığı noktadadır. Bu noktada % 73.5 BAK ve % 26.5 EAK bulunmaktadır. BAK-EAK ötektik karışımının erime noktası 42 °C'dir. Genellikle kullanılan ikili ötektik karışımalar Tablo 2.2'de verilmiştir.

Birim çalışma gözeltisi hacminde gözünebilen çalışma materyalinin artması, üretilen H_2O_2 miktarının artmasına neden olacağından, ötektik karışımaların kullanılması prosesin verimini arttırmaktadır.



Sekil 2.9. BAK-EAK ötektik karışımının TOF'daki
gözönürlüğü (40 °C)

Tablo 2.2. Ötektik Alkilantrakinon karışımıları

% 44.5 2-Etil- Antrakinon

% 55.5 2-Ter-Bütil- Antrakinon

Erime noktası : 69 °C

% 31.5 2-Ter-Bütil- Antrakinon

% 68.5 2-Sek-Bütil- Antrakinon

Erime noktası : 43 °C

% 26.5 2-Etil- Antrakinon

% 73.5 2-Sek-Bütil- Antrakinon

Erime noktası : 42 °C

2.4.3. Çalışma gözücüleri ve gözüçü karışımıları

Antrakinon prosesinde kullanılan çalışma gözüçüleri ve gözüçü karışımının kinon ve hidrokinon yapısındaki bileşikleri yeterince gözebilecek güce olmasi gereklidir.

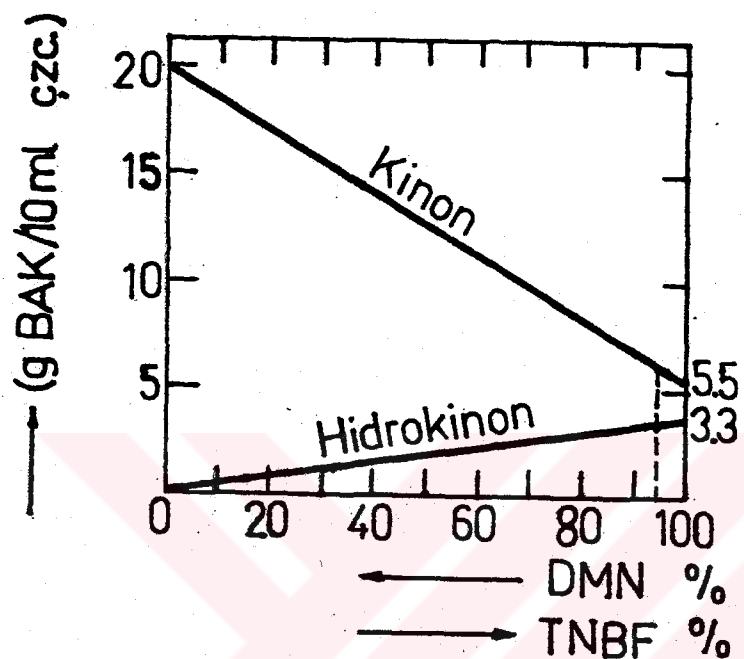
Çalışma gözeltisinin hazırlanması sırasında kullanılan gözüçü karışımı polar olmayan kinon yapılarının fazla gözen "KINONTİPI" ve tepkime ile oluşan polar hidrokinon yapılarını fazla gözen "HİDROKİNONTİPI" gözüçülerden oluşmalıdır (Darbee ve Conroy 1960).

Antrakinon prosesinde kullanılabilen gözüçülerin özellikleri aşağıda özetlenmiştir.

- a. Alkilantrakinon yapılarını yeterince gözmelidir.
- b. Alkilantrahidrokinon yapılarını yeterince gözmelidir.
- c. Hidrojenasyon ve oksidasyon basamağında kimyasal tepkimeye karşı inert olmalıdır.
- d. Ucuz olmalı ve toksik olmamalıdır.
- e. Kaynama noktası yüksek olmalıdır.
- f. Suda çözünmemelidir.
- g. Ekstraksiyon basamağında su ile yüksek dağıma katsayısı vermelidir.

Hidrokinon yapılarının çözünürlüğü kinon yapılarına kıyasla daha küçüktür. Bu nedenle bir gözüçü karışımındaki kinon tipi gözüçünün hidrokinon tipi gözüçüye oranının bilinmesi gereklidir. Buna bir örnek olmasi bakımından Dimetilnaftalin(DMN) ile Tri-N-Butilfosfat(TNBF) gözüçü karışımındaki 2-Sek-Butil-Antrakinon'un çözünürlüğü Şekil 2.9'da verilmiştir. Burada en uygun çalışma gözüçüsü % 5.2 DMN ve % 94.8 TNBF içерir.

Antrakinon prosesinde endüstriyel olarak kullanılabilen gözüçüler Tablo 2.3'te verilmiştir.



Sekil 2.10. BAK'un TNBF-DMN'deki çözünürlüğü (25 °C)

Tablo 2.3. Çalışma gözlemleri

Benzen	Aromatik Alkoller
Dimetilformamid	Aromatik Esterler
Ksilén	Di-izo-Bütil-Keton
Anisol	Etil-Benzozat
Heptil Alkol	Polialkil Benzen
Oktil Alkol	Tri-N-Bütil-Fosfat
Metilsikloheksan	Di-Bütil-Ftalat
Metilsikloheksan-ol-asetat	Tetralin
Dimetil-Naftalin	Bütil Alkol
Metil-Naftalin	izo-Bütil Alkol
Ter-Bütil-Toluen	Amil-Asetat
Ter-Bütil-Ksilén	izo-Amil-Asetat
Di-izo-Bütil-Karbinol	Fosforik Asit Esterleri

2.4.4. Galis̄ma gözelt̄ileri

Antrakinon prosesinde kullanılan galis̄ma gözelt̄ileri, Tablo 2.1'de verilen galis̄ma materyallerinden en az birini ve Tablo 2.3'te verilen galis̄ma gözütülerinden en az ikisini içерirler. Bununla birlikte ügibileşenli bir gözücü karışımı içerisinde gözünm̄üş bir alkilantrakinonu galis̄ma gözelt̄isi olarak kullanılan antrakinon prosesi de bulunmaktadır. Örneğin % 15 EAK % 20 Ksilén, % 40 Asetofenon ve % 25 Oktanol bileşenlerinden oluşan bir galis̄ma gözelt̄isinin endüstriyel kapasitede kullanımı mevcuttur (Farrell 1961).

Sürekli işletimle H₂D₂ üreten Antrakinon prosesinde galis̄ma gözelt̄ilerinin çevrim sırasında yapılarımanın korunması çok önemlidir. Yaklaşık 250 hidrojenasyon - oksidasyon çevrimiyle galis̄ma materyalleri prosesde kullanılmayan organik yapılara dönüşür. Bu nedenle galis̄ma gözelt̄isi oksidasyondan sonra Alkali metal hidroksitleriyle rejenere edilirler. Galis̄ma gözelt̄isinin yapısının korunmasında etkin yollardan bir tanesi de galis̄ma gözelt̄isinin oksidasyondan sonra bir katalizör ile dehidrojenasyonudur. Bu yolla galis̄ma gözelt̄isi içindeki tetrahidrokinon yapıları kinon yapılarına dönüştürülür (Hiratsuka 1964).

2.4.5. Antrakinon prosesinde hidrojenasyon basamağı ve kullanılan katalizörler

Antrakinon prosesini kullanarak H₂D₂ üreten ticari işletmeler galis̄ma gözelt̄isi içerisinde asilti haline gelmiş katalizörlerle galis̄ırlar. Partikül çapı 0.0254 mm. ile 2.54 mm. olan bu katalizörlerin hidrojenasyon reaktöründe galis̄ma gözelt̄isi ve hidrojen gazi ile karışması sağlanır. Katalizör aktif yüzeylerine difüzyonla gelen tepkiyenler burada hidrojenasyon tepkimesi vererek kinon yapılarının hidrokinon yapılarına dönüşmesini sağlarlar (Le Feuvre ve Morgan 1960).

Antrakinon prosesinde kullanılan katalizörler ve taşıyıcıları Tablo 2.4 'te verilmiştir.

Tablo 2.4 Kullanılan katalizörler

Katalizörler	Katalizör Taşıyıcıları
Raney-Nikel	Aluminyum Oksit
Rutheniyum	Magnezyum Oksit
Rubidyum	Titanium Oksit
Platin	Silikika-Alumina
Rodyum	Silikika-jel
Palladyum	Çar Kömürü
Tungosten	Aktif Karbon
	Kalsiyum Fosfat
	Dolomit

Alaşım Katalizörler : Ni-Sn , Ni-Pb , Ni-Al₂O₃ , Ni₂-Al₂O₃

Kullanılan katalizörler gözenek büyüğünü ve metal içeriği yönünden önemlidir. Kullanılan taşıyıcıının tipine bağlı olarak değişen gözenek büyüğü tepekiyenlerin aktif yüzeylere taşınmasında, metal içeriği ise yan ürünlerin oluşumunda etkilidir. Antrakinon prosesinde kullanılan katalizörlerin gözenekliliği yüksek ve metal içeriği % 0.01 ile % 10 arasında olmalıdır (Laporte Chem. 1959).

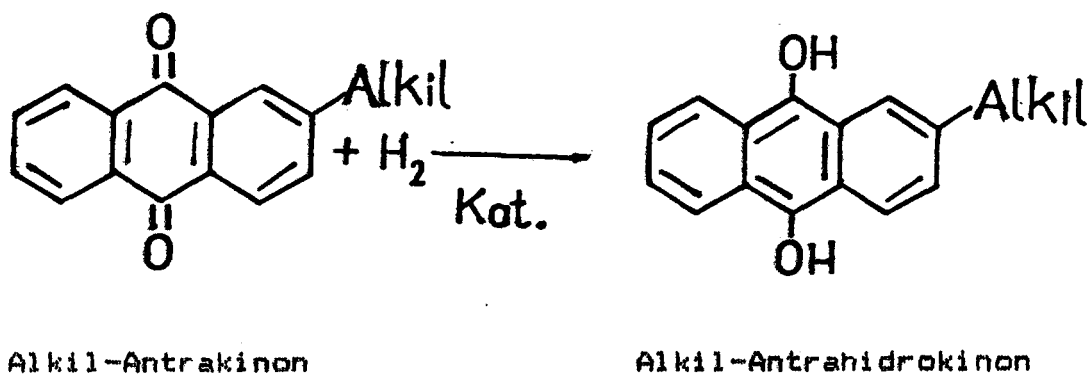
Alkil antrakinonlarının hidrojenasyonunda katalizörlerin kullanılmadan önce ısil ön işlem tabi tutulması katalizörün seçimliliği yönünden gereklidir. Bu amaçla kullanılan katalizörlerin üzerinden 150 - 450 °C 'de hidrojen gazı geçirilerek aktif hale gelmesi sağlanır. Ön işlem koşulları ve seçimlilik değerleri Tablo 2.5 'te verilmiştir.

Tablo 2.5. Katalizörlerin ön işlem koşulları ve seçimlilik değerleri

Katalizör	Palladyum siyahı	Pd/Al ₂ O ₃	Pd/CaO-Al ₂ O ₃	Raney Nikeli
Sıcaklık(°C)	150-350	150-650	150-650	200-300
Büre(dk)	10-60	10-240	10-240	10-120
İşlem görmüş katalizör	1/250	1/1300	1/1900	1/90
İşlem görmemis katalizör	1/1000- 1/2000	1/1300- 1/2300	1/2000- 1/2500	1/100- 1/1600

Tablo 2.5 'te verilen seçimlilik değerleri hidrojenasyon tepkimesi ile oluşan ürünlerden Tetrahidro-antrakinon'un kendisine karşılık gelen Antrahidrokinon'a oranı olarak verilmiştir (Peterson 1977).

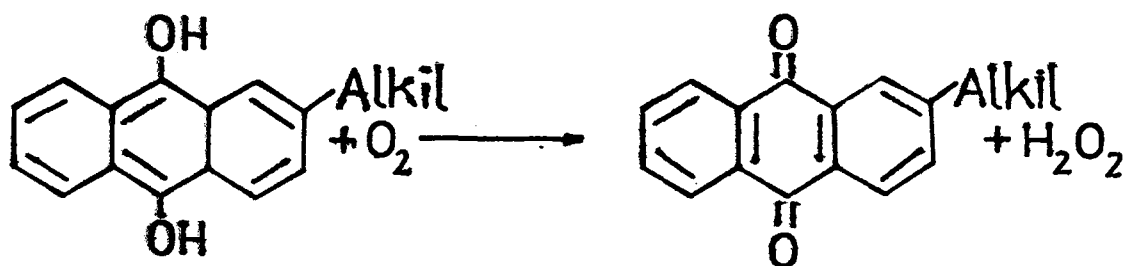
Antrakinon prosesinde ilk basamak Alkilantrakinonların hidrojenasyonunun gerçekleştirildiği basamaktır. Bu basamakta,



tepkime denklemine göre Alkilantrakinonlardan, Alkilantrahidrokinonlar elde edilir. Çalışma materyali çalışma gözeltisiinde asilti haline gelmiş katalizör üzerinde hidrojenasyon tepkimesi verir.

2.4.6. Oksidasyon basamağı

Alkilantrakinonların hidrojenasyonu ile elde edilen Alkilantrahidrokinonlar hava oksijeni ile ,



Alkil-Antrahidrokinon

Alkil-Antrakinon

Ürün

tepkime denklemine göre otoksidasyon tepkimesi vererek yeniden Alkilantrakinonlara dönüşürler. Ürün karışımı ek olarak H_2O_2 igerir.

Otoksidasyon tepkimesi oksijen varlığında kendi kendine yürürl. Fakat olusabilecek yan ürünler etkin oksidasyon katalizörleri kullanılarak [NaOH , KOH , $Ca(OH)_2$, $Mg(OH)_2$ ve NH_4OH] azaltılabilir. Bu katalizörler oksidasyon ortamını bazikleştirerek oksidasyonun daha hızlı olmasını sağlarlar. Ancak oksidasyon basamagından alınan gözeltiden bu katalizörlerin ayrılması ek bir işlem gerektirir (Schumb 1955).

Antrakinon prosesinin verimi hidrojenasyon ürünlerinin çözünürlüklerinin düşük olması nedeniyle tamamen hidrojenasyon verimine bağlıdır. Diğer bir deyişle oksidasyon basamağı, verim yönünden hidrojenasyon tarafından kontrol edilir.

2.4.7. Ekstraksiyon ve Destilasyon basamağı

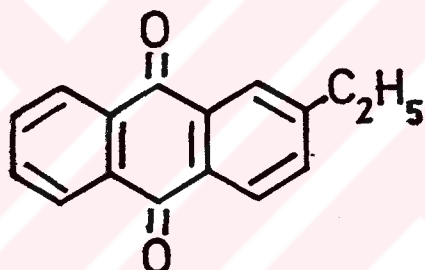
Oksidasyon basamagından alınan gözeltinin su ile ekstraksiyonu sonucunda, H_2O_2 , organik fazdan su fazına alınır. Geri kalan organik faz yeniden hidrojenasyon basamagini gönderilerek bir gevrim oluşturulur.

Seyreltik H_2O_2 gözeltisi olan sulu faz destilasyon basamağına gönderilerek deristirilir.

Ekstraksiyon ile elde edilen seyreltik H_2O_2 destilasyonla % 70 'lik ve ikinci bir destilasyonla da % 90 'lik olarak deristirilir. Seyreltik H_2O_2 gözeltisinin deristirilmesi % 5 , % 10 , % 25 , % 60 ve % 90 'lik gibi çeşitli ticari spesifikasyonlara göre yapılır (Powell 1968).

2.5. 2-Etil-Antrakinon 'un hidrojenasyonu

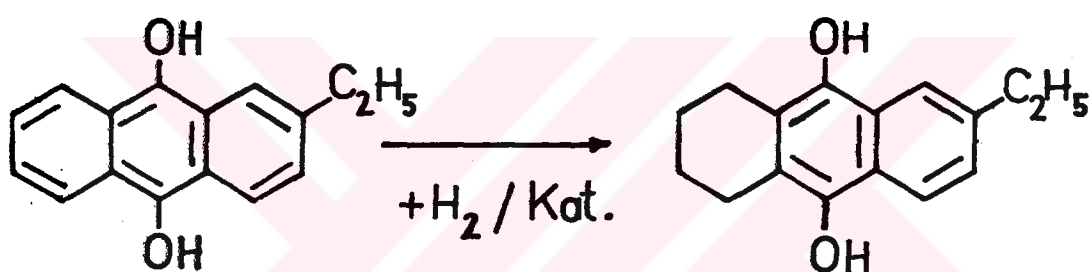
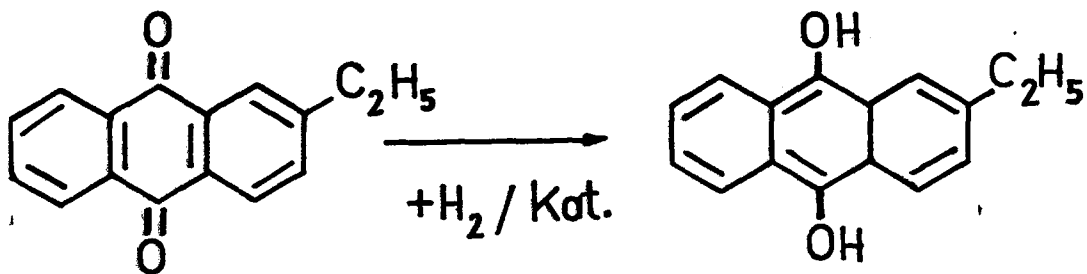
Antrakinon prosesinde hidrojenasyona girdi olarak kullanılan temel çalışma materyali 2-Etilantrakinon dur (EAK).



2-Etil-9,10-Antrasen-dion

EAK birbirine bitişik üç aromatik halkadan oluşan bir Antrasen türevi olup 2-Etil-9,10-Antrasen-dion şeklinde de adlandırılabilir. Aromatik yapının ortasındaki halka üzerinde yapıya konjuge diketon olma özelliği kazandıran iki adet C=O çift bağı ve yanındaki halka üzerinde yapıya alkilantrakinon olma özelliği kazandıran bir adet CH₂-CH₂- (etil) grubu bulunmaktadır.

EAK 'un hidrojenasyonu oda koşullarında ve 1-2 atm. hidrojen basıncında katalizör üzerinde yapılır. Tepkime iki basamakta ardışık olarak gerçekleşir ve iki tip ürün oluşur. Birinci ürün EAKH₂ ve ikinci ürün ise H₄EAKH₂ 'dir.



Tepkime denklemine göre, birinci basamakta 1 gmol H₂ harcanarak C=O çift bağları ve ikinci basamakta ise 2 gmol H₂ harcanarak yan aromatik halka Üzerindeki C=C çift bağları doyurulur.

Tepkime denklemindende anlaşılabileceği gibi hidrojenasyon tepkimesi 1 gmol EAK başına 3 gmol H₂ harcanması ile durma eğilimi gösterir. Son tepkime ürünü 2-Etil-5,6,7,8-tetrahidro-Antrahidrokinton'dur (Lösönçzi vd 1978).

İki basamakta gerçekleşen ardışık hidrojenasyon tepkimesini ara basamakta kontrol etmek amacıyla katalizörün seçiciliğinin arttırılmasına ilişkin çalışmalar literatürde yer almaktadır.

Katalizörün fiziksel veya kimyasal bir yöntem kullanılarak özelliklerinin değiştirilmesi seçiciliği-

nin artmasında etkin bir yoldur. Kullanılan katalizörün cinsine bağlı olarak tepkime sırasında aşağı çikan hidrojen adsorpsiyon sisinin artışı katalizörün seçiciliğinin artması anlamına gelir (Fasman vd 1982).

Kinetik parametreleri temel alan simülasyon yöntemlerinde ise ardışık hidrojenasyon tepkimelerinin seçimliliğine hidrojen basıncının etkisi yer alır (Niklasson vd 1987).

EAK 'un hidrojenasyonu tepkimesinde kullanılan katalizörlerin seçiciliğinin tepkime ürün dağılımına etkisi düşünüldüğünde konu daha da önem kazanır. Bu amaçla:

Katalizörün 80-200 °C 'de su buharı ile rejenerasyonu sonucu seçimliliğinin artması (Theodore vd 1963)

Soymetalik katalizörlerle destek katısı olarak kullanılan maddelerin ardışık hidrojenasyon tepkimelerinde seçimliliği etkilemesi (Foret 1967)

Alaşım katalizörlerin bazik ortamda katı-sıvı ekstraksiyonyla seçiciliğinin artması (Franchuk vd 1973 gibi özellikler gesitli araştırmalara konu olmuştur.

Literatürde yer alan EAK 'un hidrojenasyonu çalışmalarında ise çalışma gözeltisinin özellikleri üzerinde israrla durulmaktadır (Csuros vd 1971).

Ardışık hidrojenasyon tepkimesinin bir açıklaması Losonczi vd tarafından şu şekilde yapılmıştır:

Katalizör aktif yüzeylerine EAK 'un adsorpsiyonu sırasında etil grubuya aromatik halka arasındaki bağ uzar. Bunun nedeni katalizör yüzeyine yakın bölgelere alkil gruplarının taşınmasının aromatik halka tarafından engellenmesidir. Hidrojenasyonun etil grubunu içermeyen halka üzerinde gerçekleşmesi etil grubunun yüzeyden uzak olduğunu açıklar. Ayrıca Antrasenik yapı, Naftalinik yapıya dönüşerek delokalizasyon enerjisini küçük tutmak ve daha sağlam bir yapı oluşturmak ister.

Antrasenin delokalizasyon enerjisi = 5.314 BETA

Naftalinin delokalizasyon enerjisi = 3.683 BETA

Fark enerji = 1.631 BETA

Aromatik bilesikler için BETA = -16, -20 kcal / gmol
dir (Losonczi vd 1978).

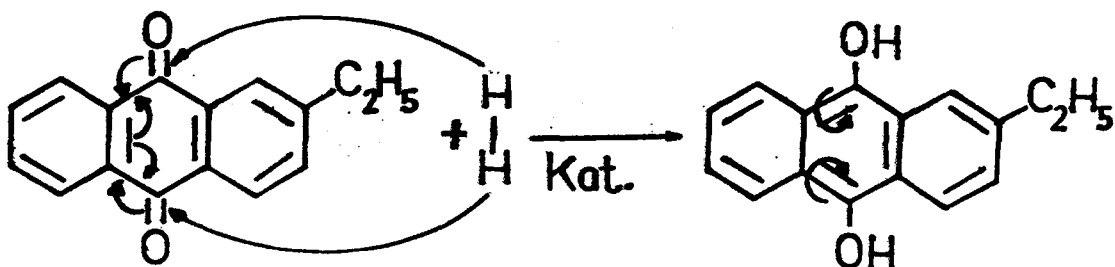
Belirtilen koşullar altında etil grubu içeren halka hidrojenlenemez. Ancak daha ağır tepkime koşulları altında, etil grubu içeren halkada hidrojenlenebilir. Hatta Antrakidon prosesinin tamamı göz önüne alındığında çok karmaşık tepkimeler ve bunların yan ürünleri oluşabilir (Thornburn vd 1978).

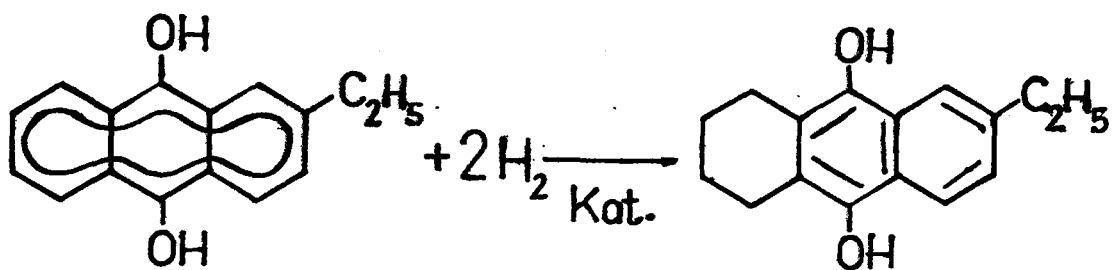
2.5.1. EAK 'un hidrojenasyonunda Tepkime mekanizması

Katalizör aktif yüzeylerine gelen hidrojen molekülleri (gözeltilerine proton veren Brönsted asitlerine analog olarak) ayrışarak katalizör ile aktiflenmiş ürün ($M-H$) verdikten sonra hidrojenlenecek kinon yapısının en zayıf çift bağını ağarak buraya bağlanırlar.

Konjugé diketon olan kinon yapılarında $C=O$ bağlarının açılması ve buraya hidrojenin bağlanmasıyla $C-O-H$ yapısı oluşur. Çünkü konjugé yapılar proton çekmek suretiyle dayanıklı hale gelirler.

EAK 'un hidrojenasyonunda da aynı olay gerçekleşir. Buğa göre yapının ortasındaki halka üzerinde $C=O$ çift bağlarının açılması ve buraya birer hidrojen bağlanması ile aynı halka üzerinde $C=C$ çift bağ yer değiştirmesi oluşur. Bu sırada etil grubu içermeyen halka üzerine protonların taşınması ve buradaki çift bağların açılarak hidrojenlerin bağlanması ile diğer bir tip yapı oluşur. Bu tepkime mekanizmasına göre ;



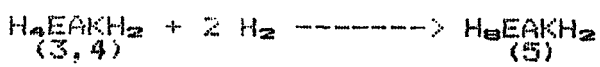
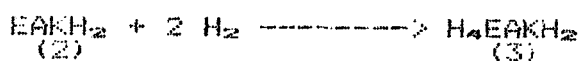


önce hidrokinon yapısı ve sonra tetrahidrokinon yapısı oluşur (Karl 1969).

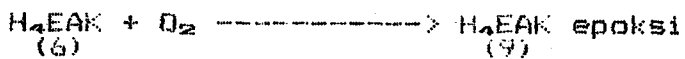
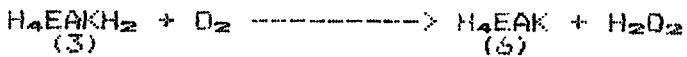
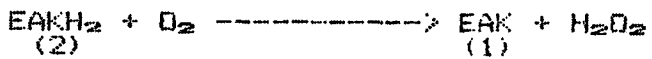
2.5.2. Tepkime yan Ürünleri

EAK'ı çalışma materyali olarak kullanan Antrakinon prosesinde tüm proses göz önüne alındığında hidrojenasyon ve oksidasyon basamağında olusabilecek karmaşık tepkime ve tepkime yan ürünleri aşağıda özetlenmiştir.

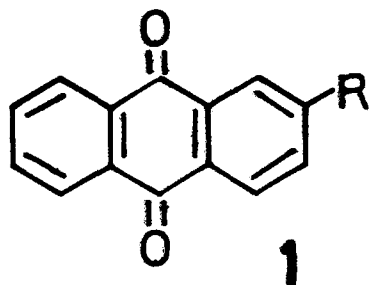
A. Hidrojenasyon



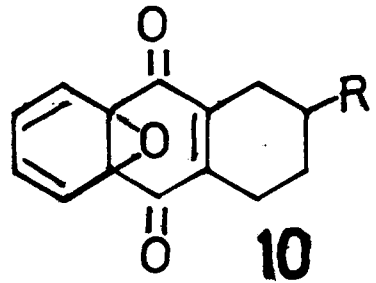
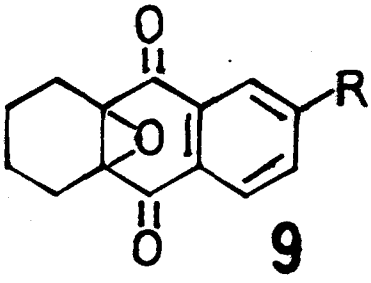
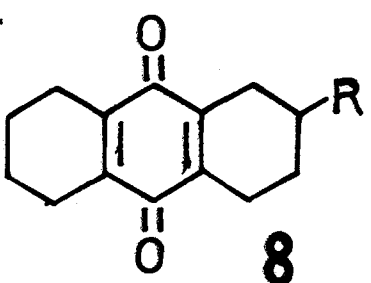
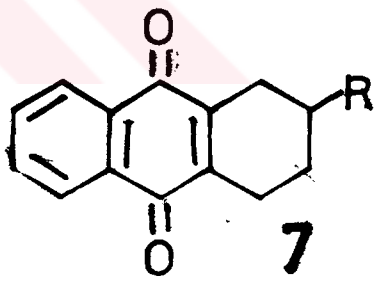
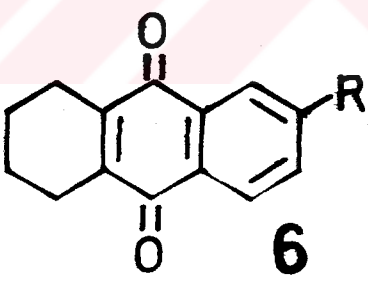
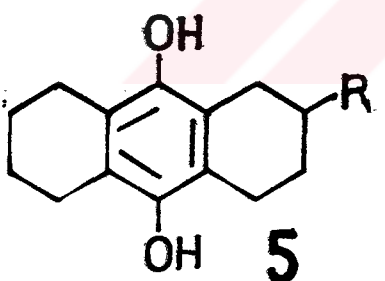
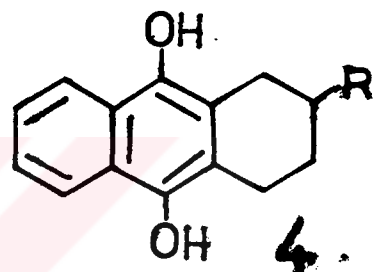
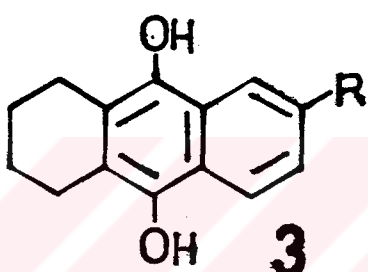
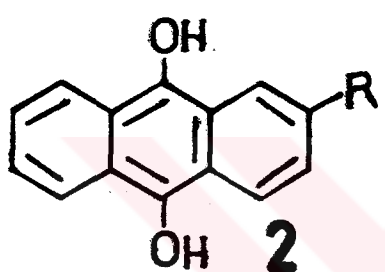
B. Oksidasyon



- (1): 2-Etil-9,10-Antrakinon (EAK) , $\text{C}_{16}\text{H}_{12}\text{O}_2$
- (2): 2-Etil-9,10-dihidroksi-Antrasen , (EAKH₂) , $\text{C}_{16}\text{H}_{14}\text{O}_2$
- (3): 2-Etil-5,6,7,8-tetrahidro-9,10-dihidroksi-Antrasen , (H₄EAKH₂) , $\text{C}_{16}\text{H}_{18}\text{O}_2$
- (4): 2-Etil-1,2,3,4-tetrahidro-9,10-dihidroksi-Antrasen , (H₄EAKH₂) , $\text{C}_{16}\text{H}_{18}\text{O}_2$
- (5): 2-Etil-1,2,3,4,5,6,7,8-oktahidro-9,10-dihidroksi-Antrasen , (H₈EAKH₂) , $\text{C}_{16}\text{H}_{22}\text{O}_2$
- (6): 2-Etil-5,6,7,8-tetrahidro-9,10-dihidroksi-Antrasen , (H₄EAK) , $\text{C}_{16}\text{H}_{16}\text{O}_2$
- (7): 2-Etil-1,2,3,4-tetrahidro-9,10-dihidroksi-Antrasen , (H₄EAK) , $\text{C}_{16}\text{H}_{16}\text{O}_2$
- (8): 2-Etil-1,2,3,4,5,6,7,8-oktahidro-9,10-dihidroksi-Antrasen , (H₈EAK) , $\text{C}_{16}\text{H}_{20}\text{O}_2$
- (9): 2-Etil-5,6,7,8-tetrahidro-11,12-epoksi-9,10-Antrakinon , (H₄EAK epoksi) , $\text{C}_{16}\text{H}_{14}\text{O}_3$
- (10): 2-Etil-1,2,3,4-tetrahidro-11,12-epoksi-9,10-Antrakinon , (H₄EAK epoksi) , $\text{C}_{16}\text{H}_{16}\text{O}_3$



$R : C_2H_5-$



3. DENEYSEL ÇALIŞMALAR

Deneysel çalışmalar, galisma gözeltisi içerisinde süspansiyon halde katı katalizör içeren bir reaktörde (SLURRY), sabit hidrojen basıncı ve izotermal koşullarda, yarı kesikli işletimle gerçekleştirilmiştir.

Slurry içerisinde gaz dispersiyonunu gözlemlemek amacıyla yapılan öndenemelerde su ile tebesir tozu süspansiyonu ve hidrojen gazi kullanılmıştır. Cam malzemeden yapılmış reaktör içerisinde gaz dispersiyonunun çok iyi olduğu ve bir manyetik karıştırıcı kullanılarak çok iyi karışma sağlandığı gözlenmiştir. Çalışmalarda süspansiyon tipi bir reaktör kullanılarak kütle ve ısı aktarımını yavaşlatan dirençler küçük tutulmaya çalışılmıştır.

Deneyleerde başlangıçta,

Dimetilformamid (Merck) / Oktanol (Merck) gözücü karışımı, daha sonra

Benzin (Merck) / Oktanol (Merck) gözücü karışımı kullanılmıştır. Benzin (BEN) ve Dimetilformamid (DMF) kinon yapısındaki galisma materyalini, Oktanol (OKT) ise hidrokinon yapısındaki tepkime ürünlerinin gözünmesini sağlamak amacıyla ortamda yer almıştır.

Galisma materyali olarak :

2-Etil-Antrakinon (Aldrich, 1986, E 1220-6) ve

Katalizör olarak :

% 5 Pd içeren Pd/Al₂O₃ (Matheson Coleman & Bell, 9087)

% 5 Pd içeren Pd/C

% 6 Ni içeren Ni-W/Al₂O₃ (Harshaw, 4301) kullanılmıştır.

Hidrojenasyon tepkimesi hidrojen gazının reaktöre alttan beslenmesi ve galisma gözeltisi içinde da-

ğıtılması ile yapılmıştır. Belli zaman aralıkları ile alınan numuneler gaz kromatografında analizlenerek sıvı tepkiyen derişiminin zamanla değişimini saptanmıştır.

Deneysel çalışmalarında incelenen hidrojenasyon tepkimesi için reaktör 25, 50, 75 °C sıcaklık, 1.5, 2.0, 2.5 atm. hidrojen basıncı ve 2.5, 5.0, 10.0, 15.0 gkat/L çöz. katalizör derişimi değerlerinde işletilmiş ve farklı işletme koşullarının tepkime parametrelerine etkisi ortaya konmuştur.

3.1. Deney Düzeneği

Deneysel çalışmalarında kullanılan deney düzeneği Şekil 3.1'de verilmiştir.

Tüm düzenek aşağıdaki parçalardan oluşmaktadır.

Hidrojen Tüpü

Basınç Regülatörü (Matheson Model 14 M 630)

Rotametre (0 - 100 , ml/dk)

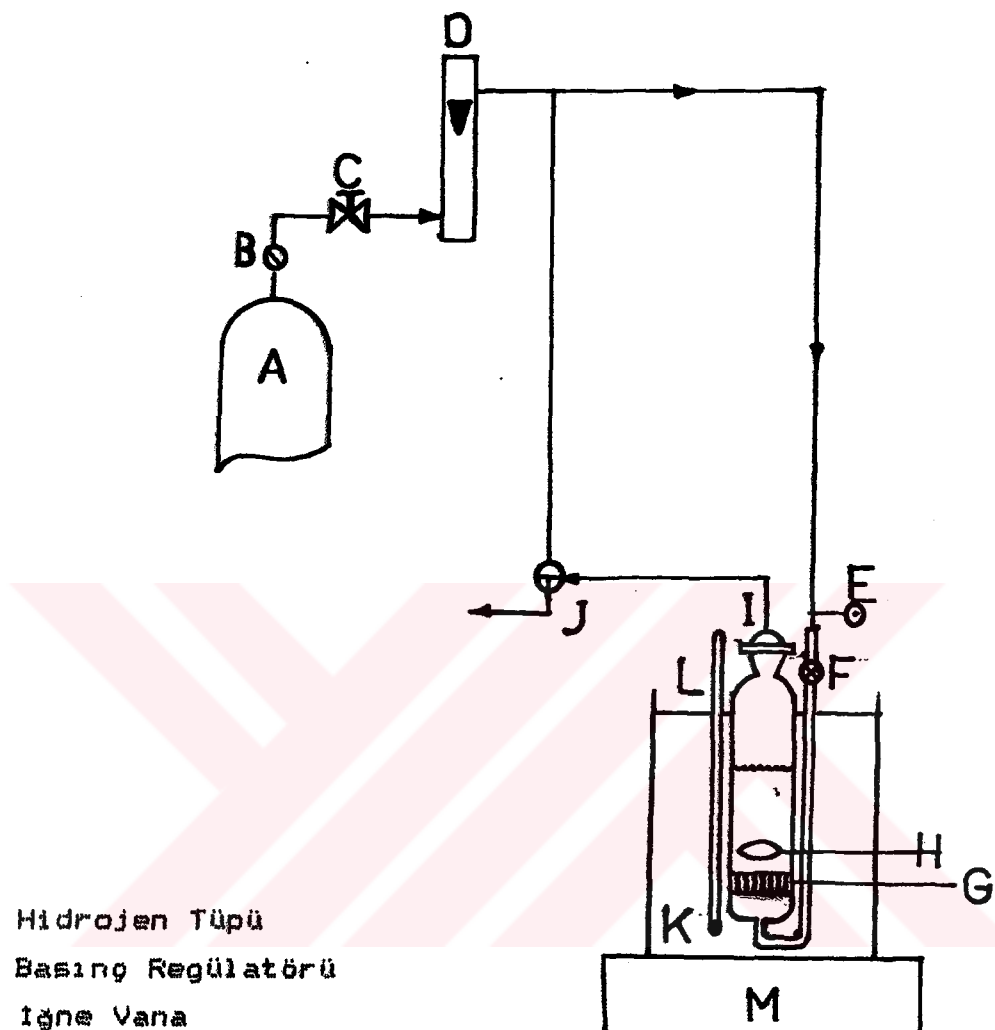
Manometre (0 - 4 , kg/cm²)

Reaktör : Boyutları (4X16 cm.) olan cam malzemeden imal edilmiş reaktör, alt kısmında sinterlenmiş cam tozlarından yapılmış poröz (gözenek yarıçapı=0.1 mm.) bir gaz dağıtıcı içeren silindirik bir sistemdir. Toplam reaktör hacmi 200 cm³ olup 100 cm³ sıvı hacminde işletilmiştir. Periyodik aralıklarla gözeltiden numune almak için reaktörün üst kısmında rodajlı bir kapak bulunmaktadır.

Manyetik karıştırıcılı ısıtıcı (Fisher RMH Type , Serie 77)

Sabit sıcaklık banyosu (izotermal çalışma)

Vanalar (igne vana, Üç yollu vana, normal vana) , paslanmaz çelik borular ve dirsekler (3/8 in.).



- A. Hidrojen Tüpü
- B. Basınç Regülatörü
- C. İğne Vana
- D. Rotametre
- E. Manometre
- F. Normal Vana
- G. Gaz Dağıtıcı
- H. Karıştırıcı
- I. Reaktör Kapığı
- J. Üç Yollu Vana
- K. Sabit Sıcaklık Banyosu
- L. Termometre
- M. Manyetik Karıştırıcı-Isıtıcı

Sekil 3.1. Deney Düzeneği

3.2. Deneyin yapılışı

Sekil 3.1 de verilen deney düzeneginin kullanılmasıyla yapılan deneylerde işlem sırası aşağıda özetlenmiştir.

Çalışma gözeltisi, çalışma materyalinin çalışma çözucusu içinde istenen derişimde çözülmesiyle hazırlanır.

Katalizör kullanılmadan önce 160 °C 'de, 4 saat süreyle kalsinasyon işlemine tabi tutulur.

Çalışma gözeltisi ve pudra katalizör reaktöre doldurularak süspansiyon elde edilir.

Su banyosu(K) içine yerleştirilen reaktörde izotermal koşulların sağlanması için, ısıtıcı çalıştırılarak sistemin yatkın hale gelmesi beklenir.

Hidrojen tüpü(A) ana başlıktan açılır. Basınç regülatörü(B) ile gaz basıncı istenen seviyede tutulur.

İgne vana(C) yardımıyla gaz akış hızı ayarlanır.

Hidrojen gazı Poröz gaz dağıticı(G) üzerinden süspansiyon içeresine dağıtılarak hidrojenasyon tepkimesi başlatılır. Gaz basıncı tepkime süresince sabit tutulur.

Periyodik aralıklarla numune almak için vana(F) kapatılır ve Üç yollu vana(J) açılarak reaktör basıncı atmosferik basıncaya düşürülür. Karıştırıcı(H) durdurularak katalizörün gökmesi beklenir. Reaktör kapağı(I) açılarak bir enjektörle çok az sıvı numune çekilir. Kapak tekrar kapatılarak vanalar eski konumuna getirilir. Bu işlem yinelنerek istenen sayıda numune alınır.

Deney bitiminde tüp ana başlıktan kapatılarak hidrojen akışı durdurulur. Üç yollu vana ile sistemdeki gaz boşaltılır.

3.3. Analiz yöntemi

Girdi ve ürün karışımı gaz kromatografisi ile analizlenmiştir. Standart çalışma gözeltisi olarak, EAK'ın uygun gözüçüler içerisinde 0.3 - 0.1 gmol EAK/L derişim aralığındaki gözeltileri kullanılmıştır. Analiz sıcaklık programı Ek A'da ve programın yüryüzü Ek C'de verilmiştir. Bu program kullanılarak standart çalışma gözeltisi içerisindeki bileşenlerin kolonda kalma süreleri saptanmıştır.

Analizler Varian Model 3300/3400 gaz kromatograf cihazı ve buna bağlı Varian 4290 Model Integratör ile Alev İyon Dedektörü kullanılarak yapılmıştır. Bu amaca uzunluğu 2 m. ve çapı 3 mm olan Gas-Chrom. W üzerinde % 5 SE-30 ile doldurulmuş kolon kullanılarak karışımındaki bileşenlerin ayrılmasına çalışılmıştır.

Farklı EAK derişimlerinde hazırlanan çalışma materyalleri gaz kromatografına injekte edilmiş, elde edilen pik alanlarına karşı EAK derişimleri grafiğe geçirilerek kalibrasyon eğrisi çizilmiştir. Ek B'de verilen kalibrasyon eğrisi yardımıyla tepkime ortamından alınan numuneler içerisindeki EAK derişiminin zamanla değişimi belirlenmiştir.

Karakteristik bir kromatogram Şekil 3.2'de verilmiştir.

Literatürde, Antrakinon prosesiyle H_2O_2 üretiminde oluşabilecek ürünlerin analizi, ince tabaka kromatografisi başta olmak üzere potansiyometrik yöntemler ve kromatografik yöntemlerle yapılmaktadır. Bunlar;

Potansiyometrik olarak kinon yapılarının (Fraiman ve Ivanova 1964),

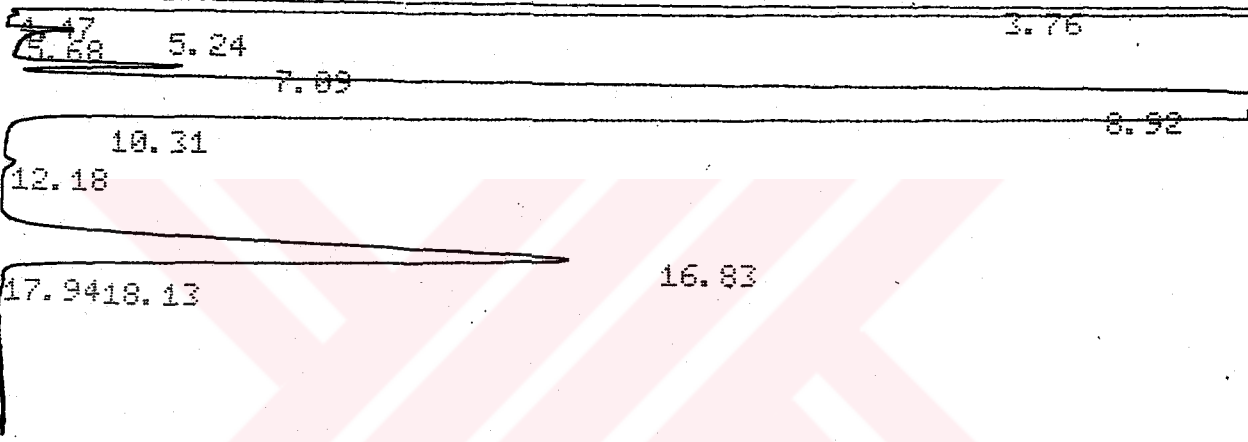
Spektrofotometrik olarak silika-jel üzerinde Antrakinon türlerinin (Vasilikiotis vd 1972),

Sıvı kromatografisiyle Corasil II dolgu ve sıkıştırıcı kullanılarak Antrakinonların (Rai vd 1975),

Gaz kromatografisiyle Antrakinin türrevlerinin ayrılmaları (Van Eijk ve Roeyman 1976), sayılabilir.

INJECT

04:43:36



04:43:36

FILE	1.	METHOD	0.	RUN	9.	INDEX	9
PEAK#		AREAX		RT		AREA	BC
1		18.011		3.76		503077	02
2		0.058		4.47		1631	03
3		0.459		5.24		12814	02
4		0.286		5.68		7976	02
5		1.293		7.09		36106	02
6		64.845		8.92		1811225	02
7		0.028		10.31		772	03
8		0.096		12.18		2682	01
9		14.914		14.83		416568	02
10		0.006		17.94		175	02
11		0.005		18.13		140	03
TOTAL		100.				2793166	

Sekil 3.2. Tipik bir Ürün karışımının kromatogramı

3.4. Yapılan deneyler

EAK'ın hidrojenasyonu tepkimesi için girdi de-rişiminin, çalışma gözücü tipinin, katalizör tipi ve miktarının, tepkime sıcaklığı ve basıncının EAK dönüşümü üzerine etkisini incelemek amacıyla yapılan deneyler ve deney koşulları Tablo 3.1'de özetlenmiştir.

Deneýlerden elde edilen sonuçlar ve değerlendirmesi ise 4. bölümde verilmiştir.

Tablo 3.1. Deneyler ve koşulları

Deney No	Çalışma Cözel.	Girdi Ders. gmol/L	Reak. Bas. atm.	Reak. Sic. °C	Kat. Ders. g/L	Kat. Cinsi
1	DMF, OKT, EAK	0.125	1.0	25	0.0	---
2	DMF, DKT, EAK	0.125	1.0	25	10.0	Ni-W/Al ₂ O ₃
3	DMF, OKT, EAK	0.125	1.0	50	10.0	Ni-W/Al ₂ O ₃
4	DMF, OKT, EAK	0.125	1.0	75	10.0	Ni-W/Al ₂ O ₃
5	DMF, OKT, EAK	0.125	1.0	25	50.0	Pd/Al ₂ O ₃
6	BEN, OKT, EAK	0.300	1.5	50	10.0	Pd/C
7	BEN, DKT, EAK	0.300	2.0	50	10.0	Ni-W/Al ₂ O ₃
8	BEN, OKT, EAK	0.300	2.0	50	10.0	Pd/Al ₂ O ₃
9	BEN, OKT, EAK	0.300	2.0	50	10.0	Pd/C
10	BEN, DKT, ---	0.000	2.0	50	10.0	Pd/Al ₂ O ₃
11	BEN, OKT, EAK	0.200	2.0	50	10.0	Pd/Al ₂ O ₃
12	BEN, OKT, EAK	0.100	2.0	25	10.0	Pd/Al ₂ O ₃
13	BEN, OKT, EAK	0.100	2.0	50	10.0	Pd/Al ₂ O ₃
14	BEN, OKT, EAK	0.100	2.0	75	10.0	Pd/Al ₂ O ₃
15	BEN, OKT, EAK	0.100	2.0	50	10.0	Pd/Al ₂ O ₃
16	BEN, OKT, EAK	0.100	2.0	50	15.0	Pd/Al ₂ O ₃
17	BEN, OKT, EAK	0.100	2.0	50	5.0	Pd/Al ₂ O ₃
18	BEN, OKT, EAK	0.100	2.0	50	2.5	Pd/Al ₂ O ₃
19	BEN, OKT, EAK	0.100	2.5	50	10.0	Pd/Al ₂ O ₃
20	BEN, OKT, EAK	0.100	1.5	50	10.0	Pd/Al ₂ O ₃

Tablo 3.1'de sistematik bir sıra içinde verilen deneylerde EAK'un hidrojenasyon tepkimesi incelenmiştir.

Bir no'lu deney DMF/DKT (hacimce 1/1 oranında) gözücü karışımında 0.125 gmol EAK/L derişiminde girdi kullanılarak 25 °C sabit sıcaklık ve 1.0 atm. hidrojen basıncı altında yapılmıştır. Bu deney homojen tepkime hızının tüm tepkime hızına olan katkısını hesaplamak amacıyla katalizör kullanılmadan yapılmıştır.

İki, üç, dört no'lu deneyler Ni-W katalizör kullanılarak ve diğer koşullar sabit tutularak sırasıyla 25, 50, 75 °C sıcaklıklarda yapılmıştır.

Beş no'lu deney, Pd/Al₂O₃ katalizörü kullanılarak 25 °C sıcaklık ve 1 atm. hidrojen basıncında yapılmıştır. Bu deneyden sonra yapılan tüm deneysel çalışmalarla çalışma gözüüsü olarak BEN/OKT (hacimce 1/1 oranında) karışımı kullanılmıştır.

Yedi, sekiz, dokuz no'lu deneylerde girdi derisi 0.3 gmol EAK/L olarak hazırlanmıştır. Bu deneyler 50 °C sabit sıcaklıkta, 2 atm. hidrojen basıncı altında sırasıyla Ni-W/Al₂O₃, Pd/Al₂O₃, Pd/C katalizörleri kullanılarak yapılmıştır.

On no'lu deney, çalışma gözüüsünün tepkime vererek yan ürünler oluşturup oluşturmadığını daha açık bir şekilde saptamak amacıyla, çalışma materyali igermeyen girdi karışımı kullanılarak yapılmıştır.

Altı ve dokuz no'lu deneyler Pd/C katalizörü kullanılarak diğer koşullar sabit kalmak üzere sırasıyla 1.5, 2.0 atm. hidrojen basıncı altında yapılmıştır.

Onbir no'lu deneyde girdi karışımı 0.2 gmol EAK/L olarak, Oniki-yirmi no'lu deneylerde ise 0.1 gmol EAK/L olarak hazırlanmıştır.

Oniki, on üç, ondört no'lu deneylerde diğer koşullar sabit kalmak üzere sadece sıcaklık değiştiril-

mıştır.

Onbeş no'lu deney koşulları ile onüç no'lu deney koşulları birbirinin aynı olup deneylerin tekrarlanabilirliğini kanıtlamak amacıyla yapılmıştır.

Onaltı, onyedi, onsekiz no'lu deneylerde diğer deneysel koşullar sabit tutularak katalizör derişimi azaltılmıştır.

Ondokuz ve yirmi no'lu deneylerde diğer koşullar aynı tutulmak üzere sadece hidrojen basıncı değiştirilmiştir.

3.5. Analiz sonuçları

Düşük EAK derişimi ve Pd/Al_2O_3 katalizörü ile yapılan deneyler sırasında, tepkime ortamından alınan numunelerin gaz kromatografisi ile yapılan analiz sonuçları Tablo 3.2'de verilmiştir.

Tablo 3.2. Gaz kromatografından alınan analiz sonuçları

Deney No:12	Deney koşulları $T=25^{\circ}C$, $P=2.0$ atm., $C_{H_2}=10$ g/L				
	0	5	10	30	45
Pik alanı	444950	426707	417808	389331	357740
Derişim, gmol EAK/L	0.1000	0.0959	0.0939	0.0875	0.0804

Deney No:13	Deney koşulları $T=50^{\circ}C$, $P=2.0$ atm., $C_{H_2}=10$ g/L					
	0	5	10	20	25	35
Pik alanı	444950	433826	412469	389230	362634	340387
Derişim, gmol EAK/L	0.1000	0.0975	0.0927	0.0875	0.0815	0.0765

Tablo 3.2 'nin devamı

Deney No:14	Deney koşulları					
	T=75 °C , P=2.0 atm. , C _{kat.} =10 g/L	0	5	10	20	30
Tepkime Süresi,dk.	0	5	10	20	30	
Pik alanı	444950	380877	375093	343056	388606	
Derişim, gmol EAK/L	0.1000	0.0856	0.0843	0.0771	0.0761	

Deney No:19	Deney koşulları				
	T=50 °C , P=2.5 atm. , C _{kat.} =10 g/L	0	10	20	30
Tepkime Süresi,dk.	0	10	20	30	
Pik alanı	444950	415139	377763	325259	
Derişim, gmol EAK/L	0.1000	0.0933	0.0849	0.0731	

Deney No:20	Deney koşulları				
	T=50 °C , P=1.5 atm. , C _{kat.} =10 g/L	0	10	25	35
Tepkime Süresi,dk.	0	10	25	35	
Pik alanı	444950	418254	413803	364414	
Derişim, gmol EAK/L	0.1000	0.0940	0.0930	0.0819	

Table 3.2 'nin devamı

Deneý No:17	Deneý koşulları $T=50^{\circ}\text{C}$, $P=2.0 \text{ atm.}$, $C_{\text{sat.}} = 5 \text{ g/L}$			
Tepkime Süresi, dk.	0	20	30	40
Pik alanı	444950	432047	390221	371088
Derişim, gmol EAK/L	0.1000	0.0971	0.0877	0.0834

Deneý No:15	Deneý koşulları $T=50^{\circ}\text{C}$, $P=2.0 \text{ atm.}$, $C_{\text{sat.}} = 10 \text{ g/L}$				
Tepkime Süresi, dk.	0	5	10	20	35
Pik alanı	444950	416473	406684	381322	343946
Derişim, gmol EAK/L	0.1000	0.0936	0.0914	0.0857	0.0773

4. DENEY SONUÇLARI

Bu bölümde, işletme koşullarının tepkime parametrelerine olan etkisi incelenerek basit ve uygun bir tepkime hız modeli ortaya konulmaya çalışılmıştır.

Öncelikle, yarı-kesikli reaktör sistemi kullanılarak yapılan deneylerden elde edilen ve Tablo 3.2'de verilen analiz sonuçları göz önünde bulundurularak, her deney için zaman-derişim grafikleri verilmiştir.

Pd/Al₂O₃ katalizörü kullanılarak yapılan deneySEL gelişmeler için çizilen zaman-derişim grafikleri Sekil 4.1 - Sekil 4.7'de görülebilir.

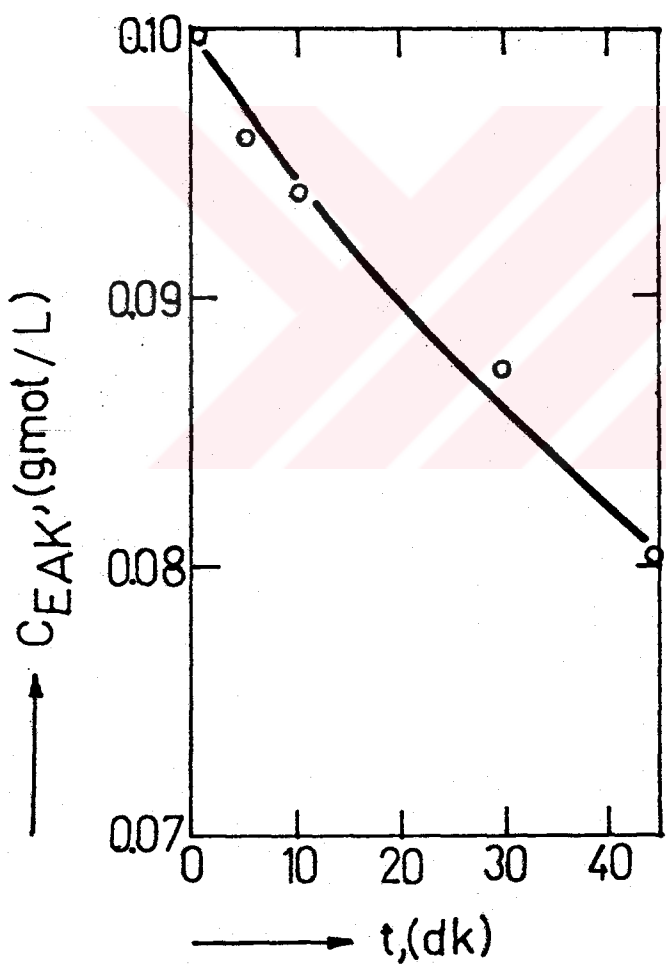
Diğer deneylerden elde edilen sonuçlar ise hidrojenasyon tepkimesinin katalizör bulunmayan bir ortamda gerçekleşmediği, girdi derisimi 0.3 ve 0.2 gmol EAK/L olduğunda tepkime ürünleri oluşur olusmaz çalışma gözeltisi içerisinde katılışma olduğu ve tepkimenin 1.0 atm. hidrojen basıncından daha yüksek basınçlarda yürütüğü şeklinde özettenebilir.

Farklı sıcaklıklarda yapılan deneylerden elde edilen tüm tepkime hız sabitlerinin kullanılmasıyla hesaplanan Aktivasyon Enerjisi (12 kj/gmol) değerindedir. Aktivasyon Enerjisi kriterine göre tüm tepkime hızının kinetik kontrolün olduğu sonucuna varılmıştır. Ancak 50 °C'ın üzerinde tüm tepkime hızının difüzyon kontrolü bölgeye kaydiği saptanmıştır. Diğer taraftan tüm tepkime hız sabitinin Hidrojen derişimine bağlılığını test etmek için deneyler farklı basınçlarda yinelenmiş Hidrojen basıncının artmasıyla tepkimenin hızındaki etkisi alınmıştır.

Tepkime hız parametrelerine işletme koşullarının etkisi bu bölüm içerisinde alt başlıklar halinde sıralanmış ve tartışılmıştır.

$$P = 2.0 \text{ atm} \quad T = 25^\circ\text{C} \quad C_{\text{kat}} = 10 \text{ g/L}$$

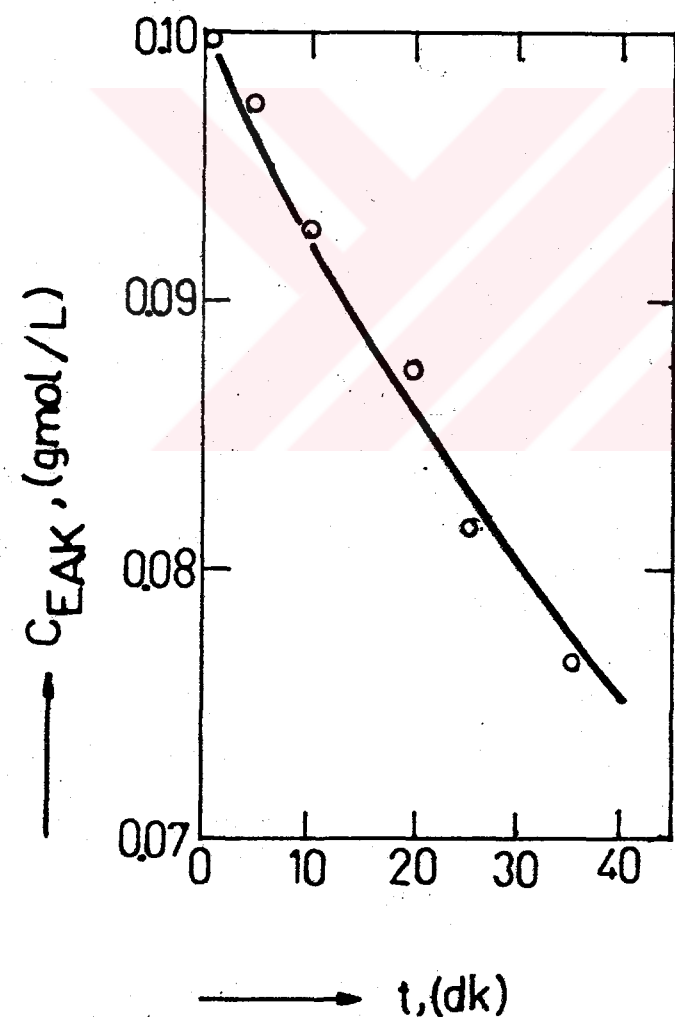
Deneysel No: 12



Şekil 4.1. Zaman - Derişim Grafiği

$P=2.0 \text{ atm}$ $T=50^\circ\text{C}$ $C_{\text{kat}}=10 \text{ g/L}$

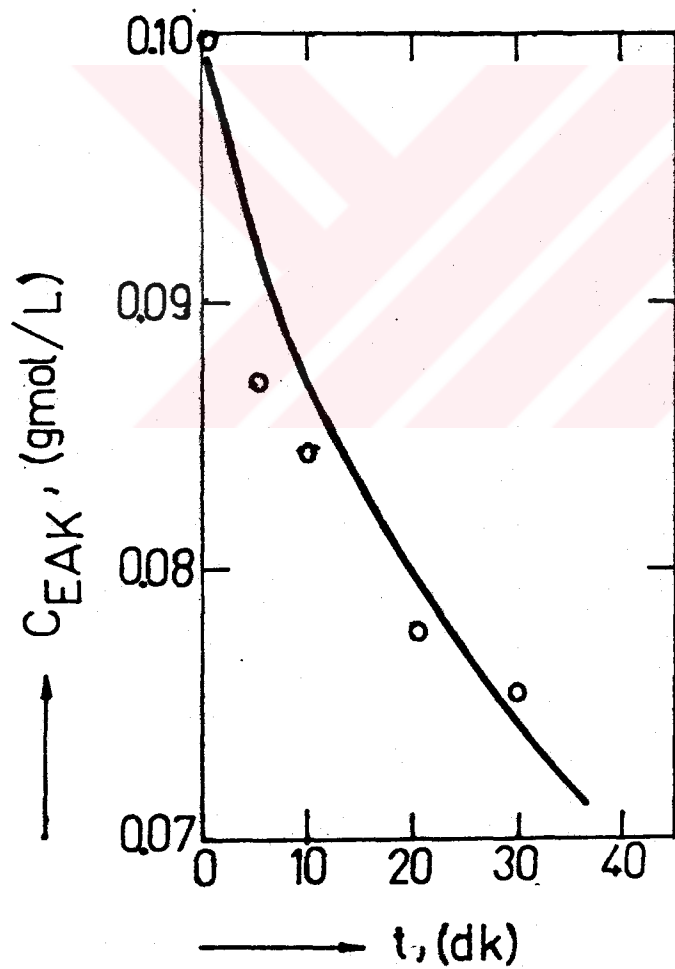
Deneys No:13



Sekil 4.2. Zaman - Derişim Grafiği

$P = 2.0 \text{ atm}$ $T = 75^\circ\text{C}$ $C_{\text{Kat}} = 10 \text{ g/L}$

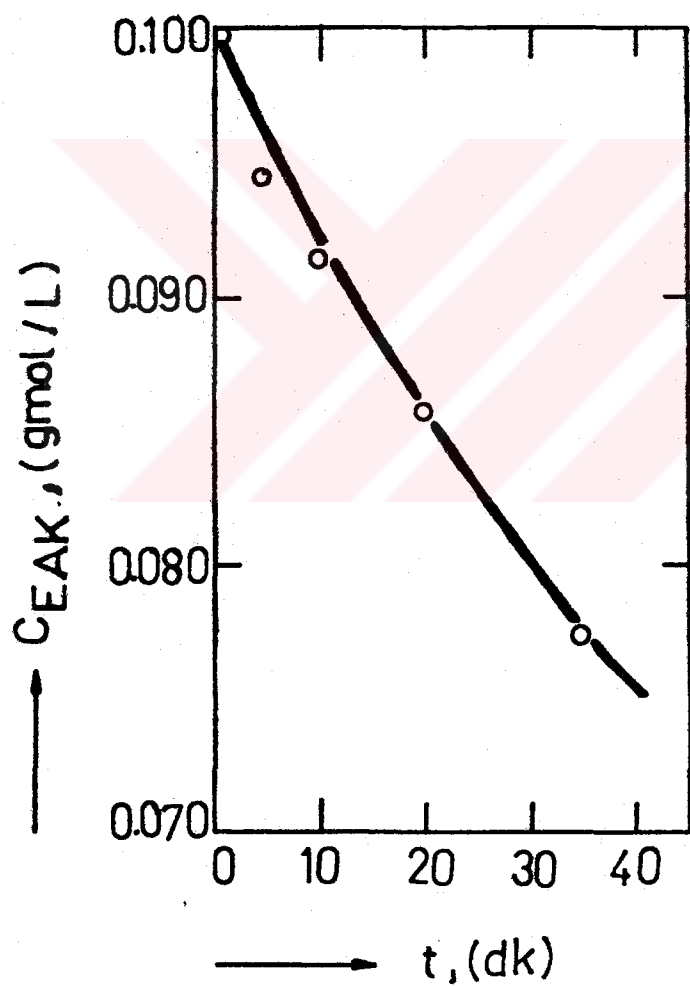
Deneys No: 14



Şekil 4.3. Zaman - Derişim Grafiği

$$P=20 \text{ atm} \quad T=50 \text{ }^{\circ}\text{C} \quad C_{\text{Kat}}=10 \text{ g/L}$$

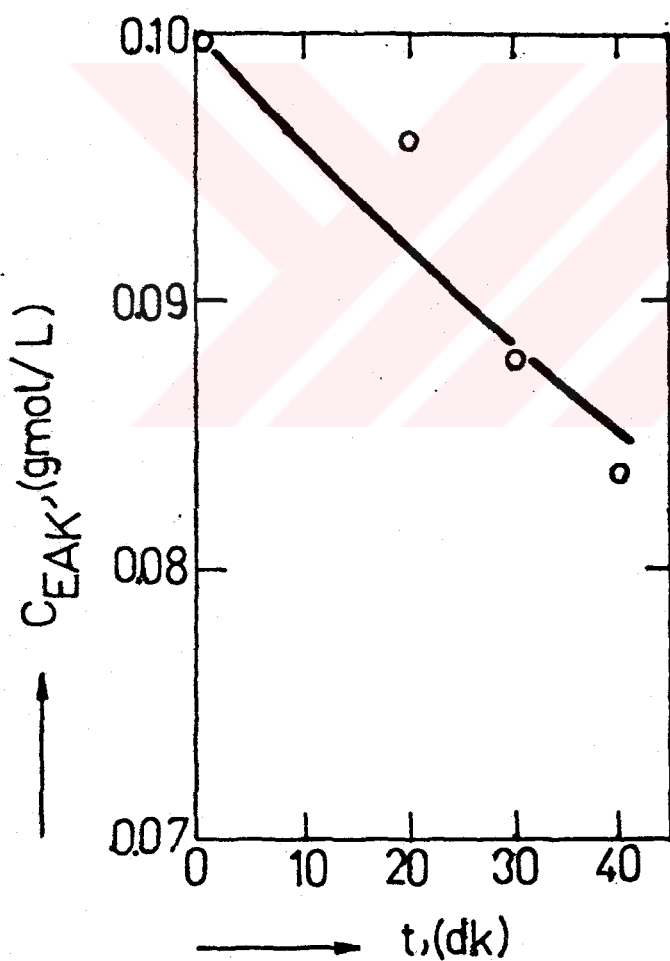
Deney No: 15



Sekil 4.4. Zaman - Derisim Grafigi

$$P = 2.0 \text{ atm} \quad T = 50^\circ\text{C} \quad C_{\text{kat}} = 5 \text{ g/L}$$

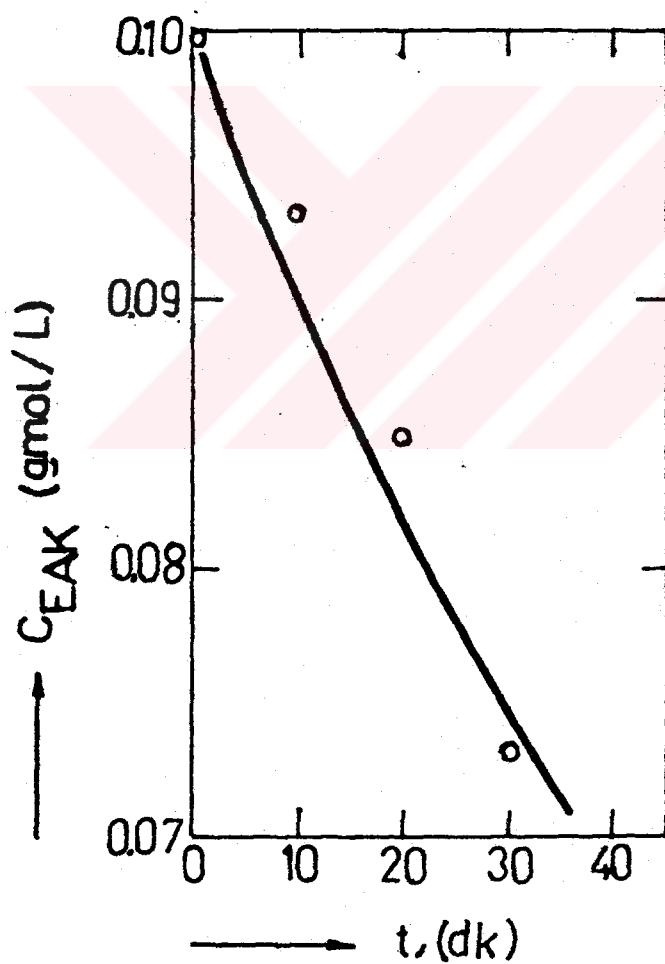
Deneys No:17



Sekil 4.5. Zaman - Derisim Grafigi

$$P = 2.5 \text{ atm} \quad T = 50^\circ\text{C} \quad C_{\text{kat}} = 10 \text{ g/L}$$

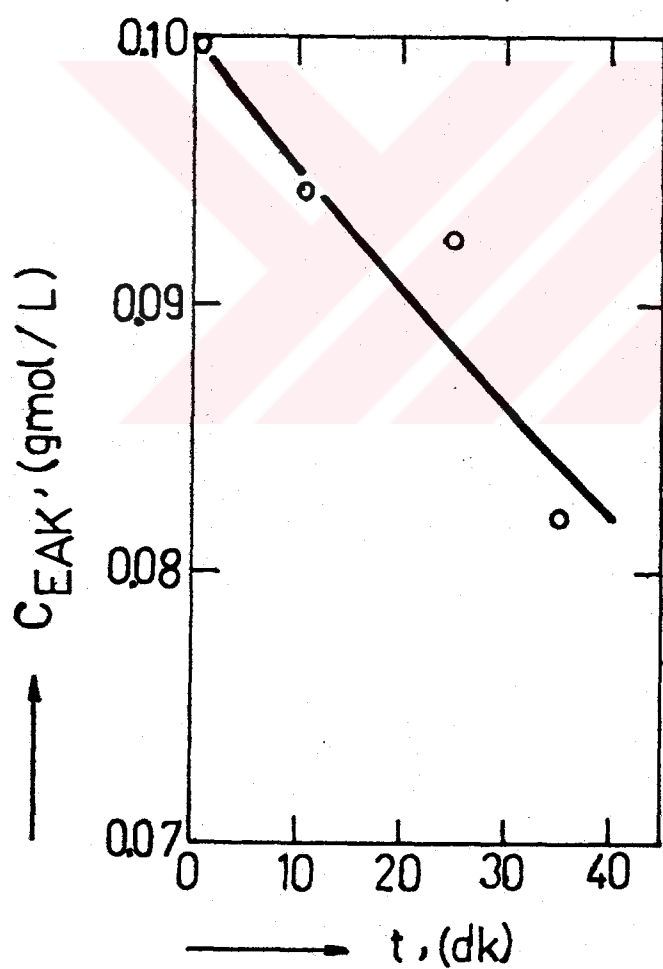
Deney No: 19



Sekil 4.6. Zaman - Derisim Grafiği

$$P=1.5 \text{ atm} \quad T=50^\circ\text{C} \quad C_{\text{kat}}=10 \text{ g/L}$$

Deney No: 20



Sekil 4.7. Zaman - Derisim Grafigi

4.1. Deney Verilerinin değerlendirilmesi

Belli işletme koşullarında yapılan deneylerde, tepkime ortamındaki EAK derişiminin zamanla değişimini gösteren eğriler temel alınarak, kinetik parametrelerin belirlenmesine çalışılmıştır.

Tepkimenin sabit hidrojen basıncında yürüdüğü göz önüne alınarak, çalışma gözeltisi içindeki hidrojen derişiminin tepkime süresince sabit kaldığı kabul edilmiş ve tepkime hız ifadesi EAK derişimine göre tanımlanmıştır.

Uygun bir tepkime hız modeli oluşturmak amacıyla deney verilerine integral analiz uygulanmıştır (Levenspiel 1962).

Üç farklı mertebe varsayımları yapılarak her bir tepkime modeli için zamanla doğrusal bir değişim gösterilecek uygun derişim fonksiyonları türetilmiştir.

Yapılan mertebe varsayımları ve bunlara uygun zaman derişim fonksiyonları aşağıda verilmiştir.

a. Tepkime (1). mertebe varsayılarak,

$$\ln C = \ln C_0 - k.t$$

b. Tepkime (3/2). mertebe varsayılarak,

$$(C)^{-1/2} = (C_0)^{-1/2} + k.t/2$$

c. Tepkime (2). mertebe varsayılarak,

$$(C)^{-1} = (C_0)^{-1} + k.t$$

Zaman-derişim fonksiyonlarının türetilmesi EK D de verilmiştir.

Mertebe varsayımlarının doğruluğunu kontrol etmek amacıyla ile :

$$n = 3/2 \text{ için } 1/(C)^{1/2} ; t$$

$$n = 1 \text{ için } \ln C ; t$$

$$n = 2 \text{ için } 1/C ; t$$

grafikleri çizilmiştir.

Zaman-derişim fonksiyonlarını gösteren bu grafiklere doğrusal regresyon analizi uygulanmıştır. Doğ-

Rusal regresyon katsayıları ve uygunluk indeksi değerleri Tablo 4.1'de verilmiştir. Ayrıca yapılan her bir mertebe varsayımlı için gözlenen tepkime hız sabitleri hesaplanarak Tablo 4.1'de gösterilmiştir.

Tablo 4.1. Tepkime mertebe varsayımlı ve kinetik parametrelerin uygunluğu

Deneý No :12

		Mertebe varsayımlı,n		
		1	3/2	2
Gözlenen Hız sbt.	$10^3 \cdot k_1$	4.950	16.500	54.875
Regresyon katsayıları	a_{01} $10^3 \cdot a_{11}$	-2.305 -4.950	3.163 8.260	9.994 54.920
Uygunluk indeksi	r^2	1.033	0.905	1.000
Mutlak Fark indeksi	$1-r^2$	0.033	0.095	0.000

Deneý No:13

		Mertebe varsayımlı,n		
		1	3/2	2
Gözlenen Hız sbt.	$10^3 \cdot k_1$	7.170	24.450	83.325
Regresyon katsayıları	a_{01} $10^3 \cdot a_{11}$	-2.308 -7.160	3.165 12.270	10.000 82.970
Uygunluk indeksi	r^2	1.025	1.017	1.012
Mutlak Fark indeksi	$1-r^2$	0.025	0.017	0.012

Deneý No:14

		Mertebe varsayımlı,n		
		1	3/2	2
Gözlenen Hız sbt.	$10^3 \cdot k_1$	9.730	28.000	101.125
Regresyon katsayıları	a_{01} $10^3 \cdot a_{11}$	-2.325 -8.820	3.194 15.300	10.169 106.470
Uygunluk indeksi	r^2	1.010	0.992	0.993
Mutlak Fark indeksi	$1-r^2$	0.010	0.008	0.007

Table 4.1 'in devamı

Deneý No:19

	10 ³ .k _i	Mertebe Varsayımları,n		
		1	3/2	2
Gözlenen Hız sbt.	10 ³ .k _i	9.900	32.200	112.300
Regresyon katsayıları	10 ³ .a ₀₁	-2.310	3.165	9.985
Uygunluk İndeksi	10 ³ .a ₁₁	-9.250	16.140	110.300
Mutlak Fark İndeksi	r ²	1.020	0.913	1.016
	1-r ²	0.020	0.087	0.016

Deneý No:20

	10 ³ .k _i	Mertebe Varsayımları,n		
		1	3/2	2
Gözlenen Hız sbt.	10 ³ .k _i	4.930	16.500	54.875
Regresyon katsayıları	10 ³ .a ₀₁	-2.301	3.159	9.969
Uygunluk İndeksi	10 ³ .a ₁₁	-4.980	8.270	50.990
Mutlak Fark İndeksi	r ²	1.079	0.910	1.007
	1-r ²	0.079	0.090	0.007

Deneý No:17

	10 ³ .k _i	Mertebe Varsayımları,n		
		1	3/2	2
Gözlenen Hız sbt.	10 ³ .k _i	3.980	13.150	43.425
Regresyon katsayıları	10 ³ .a ₀₁	-2.303	3.162	9.993
Uygunluk İndeksi	10 ³ .a ₁₁	-4.010	6.600	43.570
Mutlak Fark İndeksi	r ²	1.059	1.008	1.000
	1-r ²	0.059	0.008	0.000

Tablo 4.1 'in devamı

Deneý No: 15**Mertebe varsayımları, n**

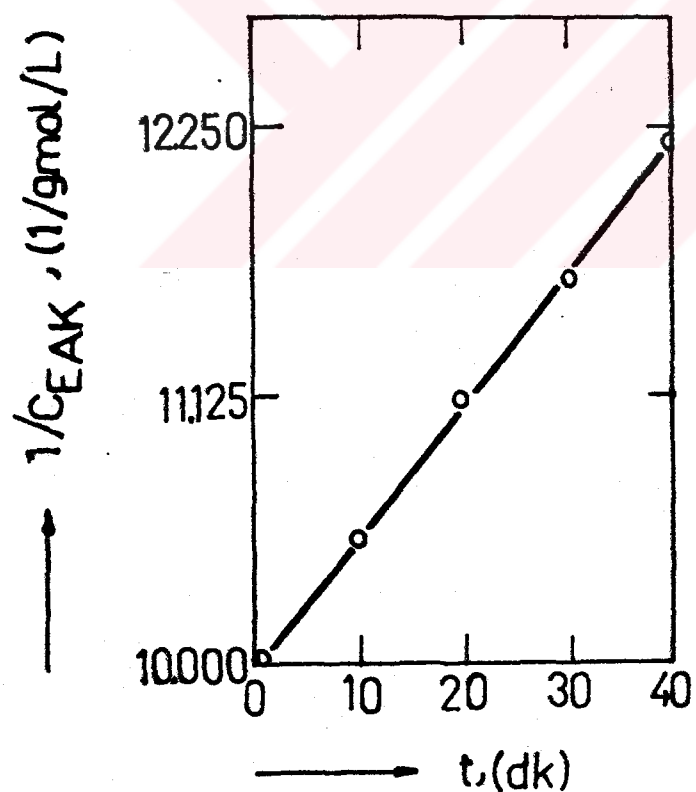
		1	3/2	2
Gözleýen Hız sbt.	$10^3 \cdot k_1$	7.070	24.120	82.260
Regresyon katsayıları	a_{st}	-2.311	3.172	10.043
Uygunluk İndeksi	$10^3 \cdot a_{st}$	7.070	12.060	82.260
Mutlak Fark İndeksi	r^2	1.021	0.981	1.015
	$1-r^2$	0.021	0.019	0.015

Tablo 4.1 'de verilen uygunluk indeksi değerleri incelendiğinde Pd/Al₂O₃ katalizörüyle farklı koşullarda yapılan tepkimelerin tümü EAK 'ya göre 2. mertebeden olduğu varsayıminin geçerli olduğu görülebilir.

İkinci mertebe varsayımlı için oluşturulan uygun zaman-derişim grafikleri ($1/C$; t) Şekil 4.8 - 4.14'de verilmiştir.

$P=2.0 \text{ atm}$ $T=25^\circ\text{C}$ $C_{\text{kat}}=10\text{ g/L}$

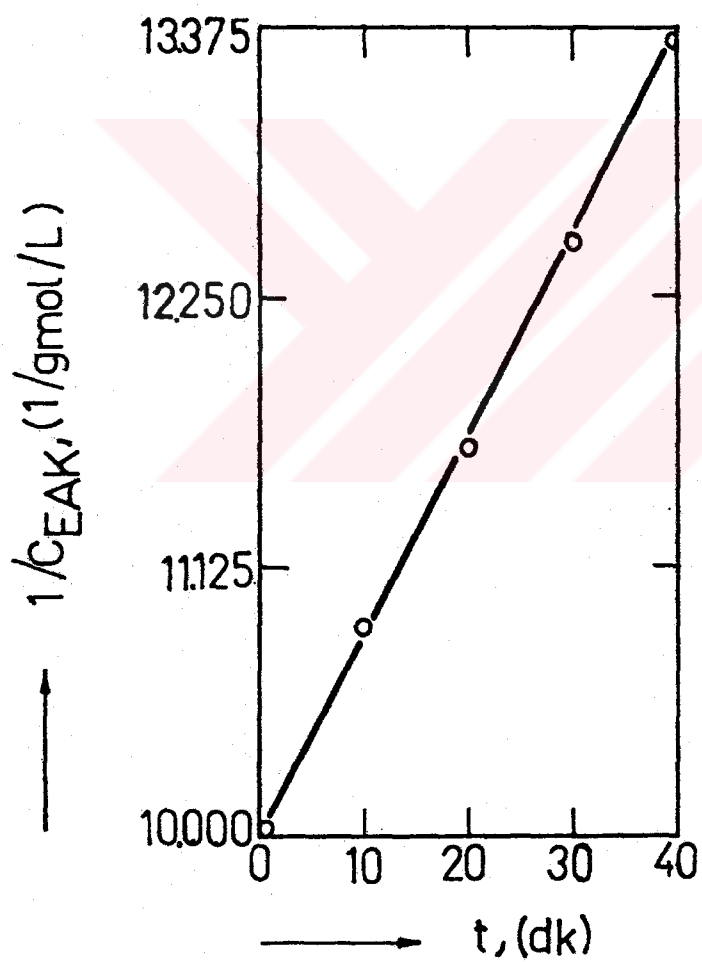
Deney No: 12



Sekil 4.8. Zaman - ($1/\text{Derrisim}$) Grafiği

$P=2.0 \text{ atm}$ $T=50^\circ\text{C}$ $C_{\text{kat}}=10 \text{ g/L}$

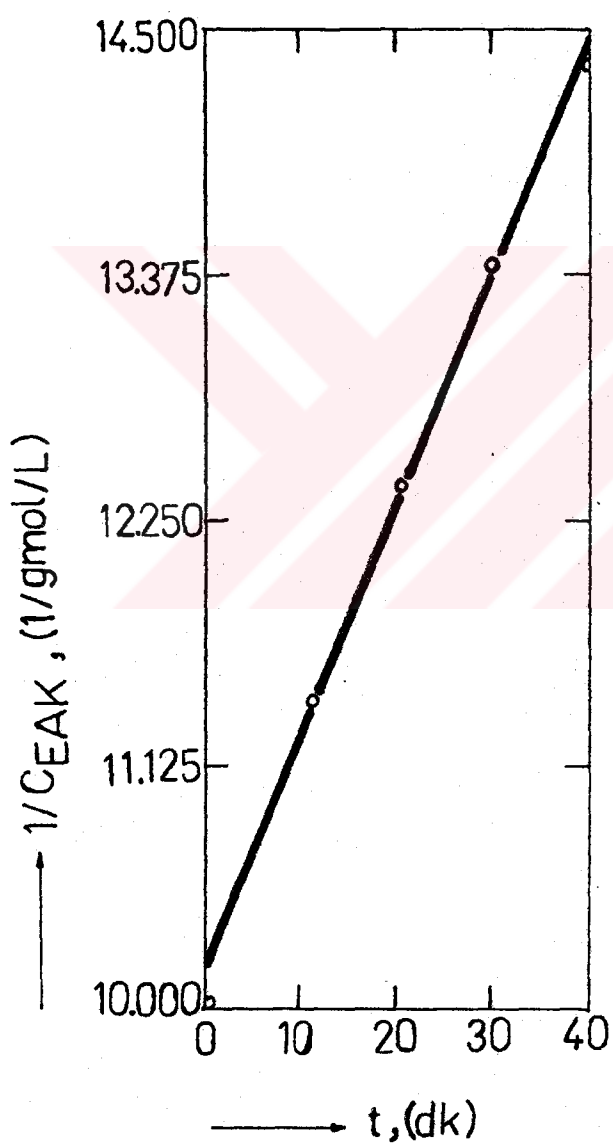
Deneys No:13



Sekil 4.9. Zaman - ($1/C_{\text{EAK}}$) Grafigi

$$P=2.0 \text{ atm} \quad T=75^\circ\text{C} \quad C_{\text{kat}}=10 \text{ g/L}$$

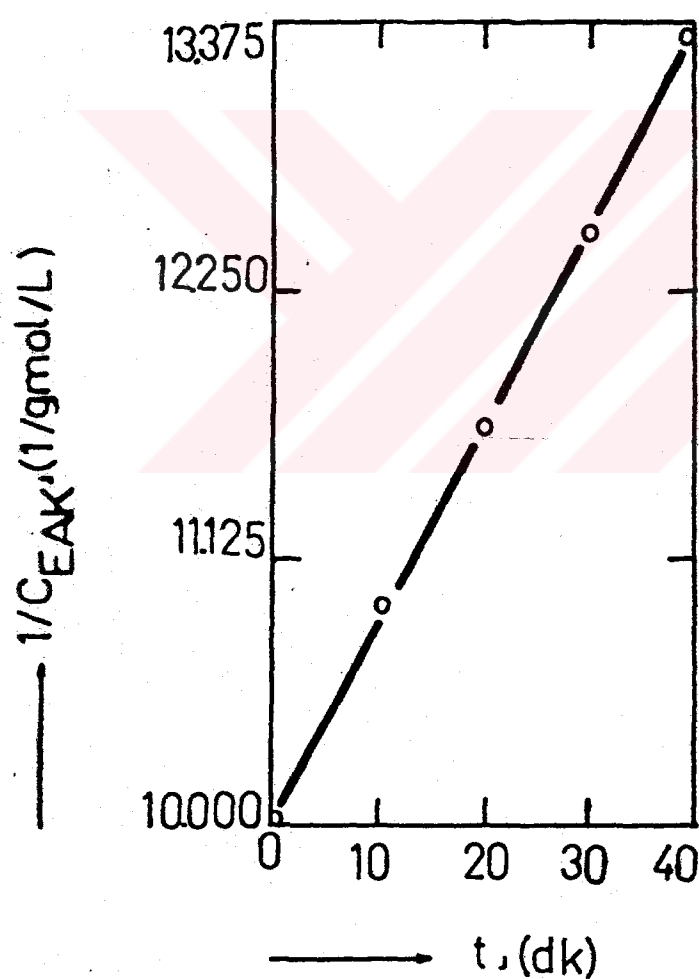
Deneys No:14



Sekil 4.10. Zaman - ($1/\text{Derisim}$) Grafiği

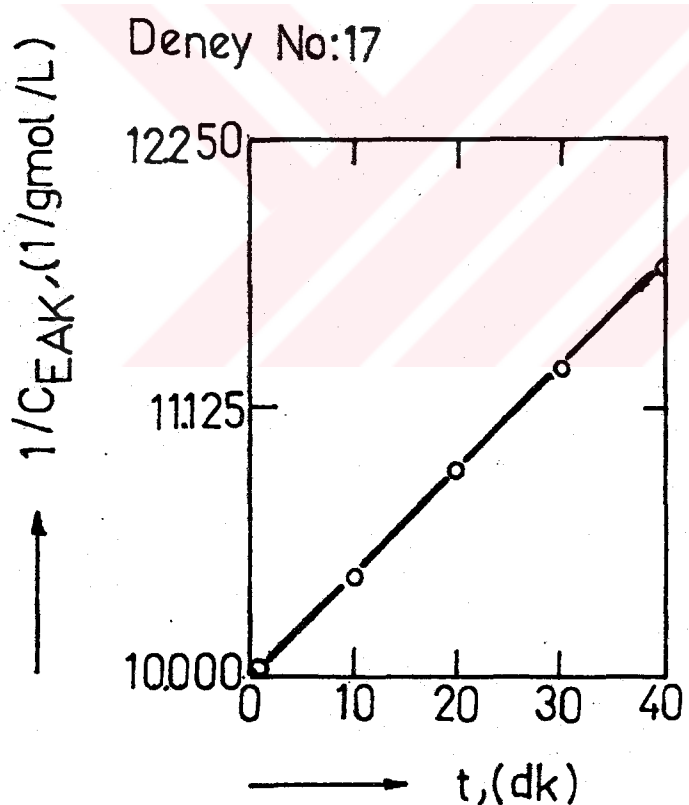
$$P=2.0 \text{ atm} \quad T=50^\circ\text{C} \quad C_{\text{kat}}=10 \text{ g/L}$$

Deney No:15



Sekil 4.11. Zaman - ($1/\text{Dərisim}$) Grafigi

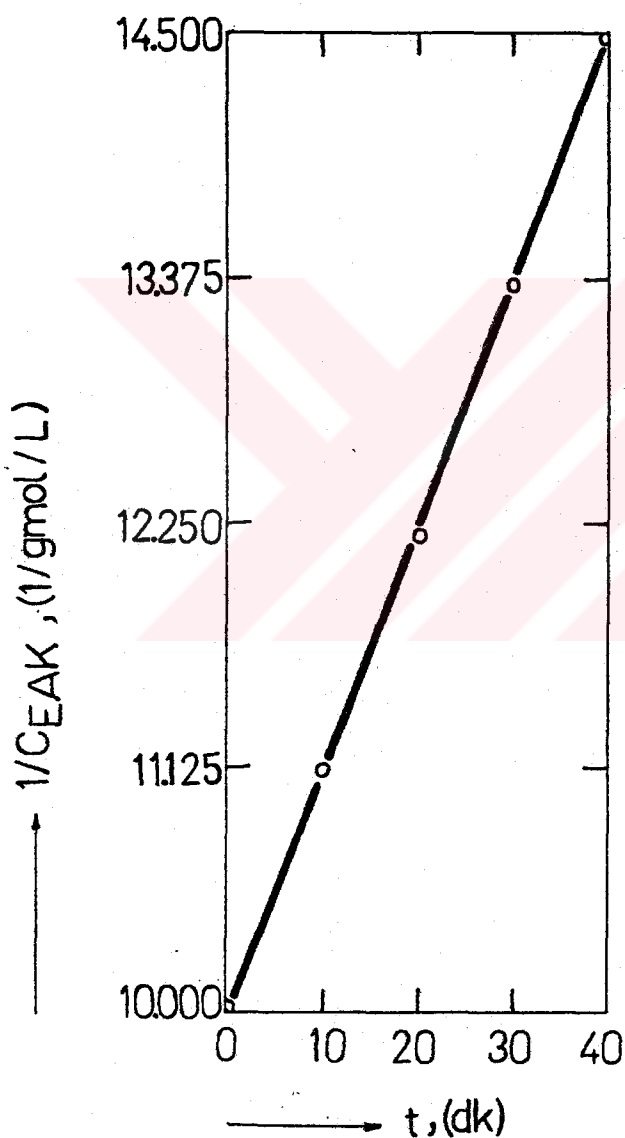
$P = 2.0 \text{ atm}$ $T = 50^\circ\text{C}$ $C_{\text{kat}} = 5 \text{ g/L}$



Sekil 4.12. Zaman - $(1/\text{Derişim})$ Grafiği

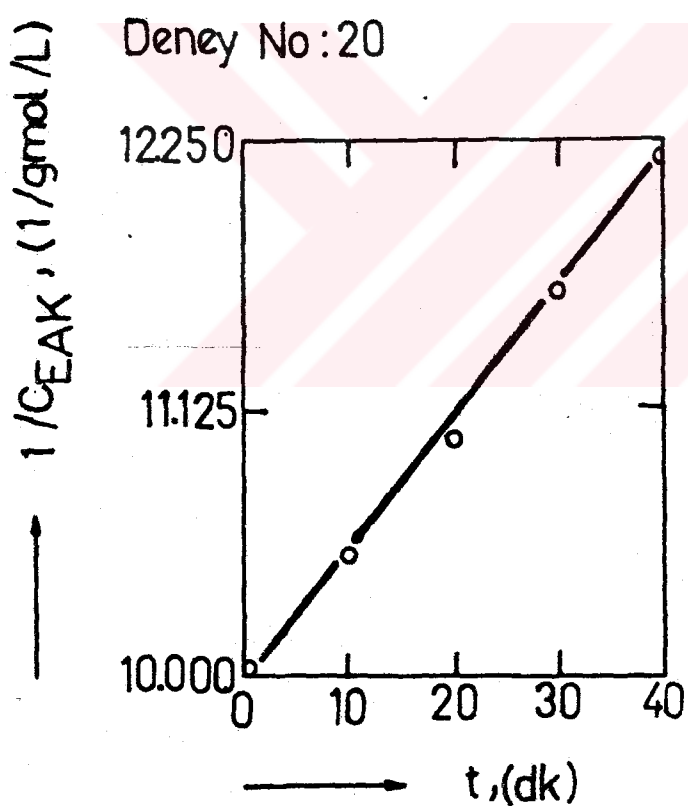
$$P=2.5 \text{ atm} \quad T=50^\circ\text{C} \quad C_{\text{kat}}=10 \text{ g/L}$$

Deneys No: 19



Sekil 4.13: Zaman - (1/Derisim) Grafigi

$$P=1.5 \text{ atm} \quad T=50^\circ\text{C} \quad C_{\text{kat}}=10 \text{ g/L}$$



Sekil 4.14. Zaman - (1/Derisim) Grafiği

4.1.1. Sıcaklığın etkisi

Tepkime hızı üzerine sıcaklığın etkisini incelemek üzere Pd/Al₂O₃ katalizörü kullanılarak 2 atm. hidrojen basıncı altında 0,1 g/mol EAK/L girdi derişimi ile yapılan çalışmalar üç farklı sıcaklıkta (25, 50, 75°C) tekrarlanmıştır (Deney No : 12, 13, 14).

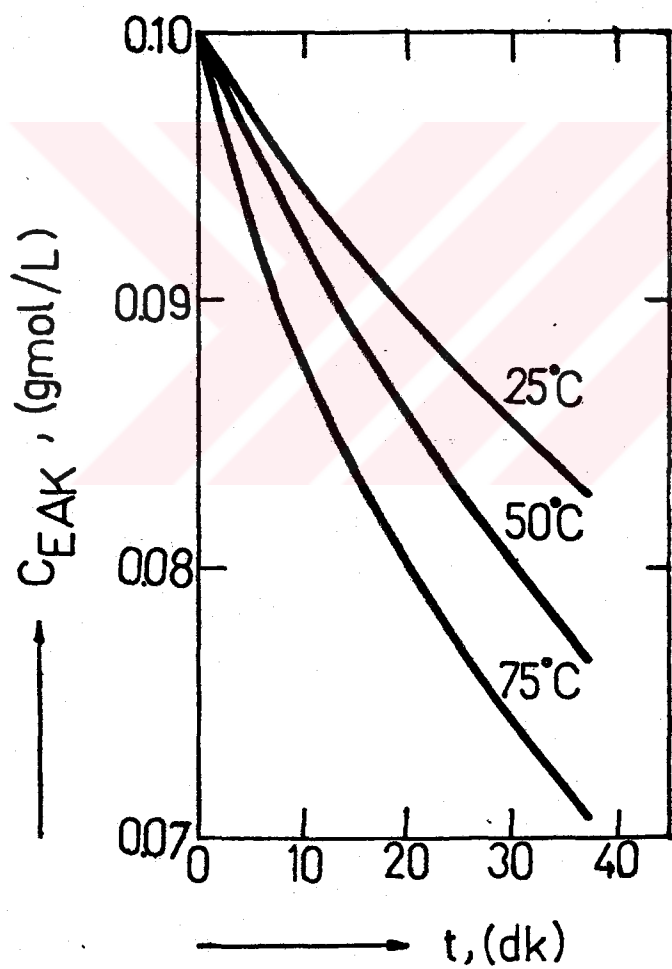
Deneylerden elde edilen sonuçlara göre EAK derişiminin zamanla değişimini karşılastırmalı olarak Şekil 4.15 'te verilmistir.

Sıcaklığın artması ile aynı tepkime süresinde tepkiyen dönüsümü artmıştır. Bu durum, tepkime hız sabitinin sıcaklıkla orantılı olması ile açıklanabilir. Tepkime süresi 30 dk. olarak alındığında sıcaklığın 25°C 'den 50 °C 'ye çıkarılmasıyla dönüşüm oranı % 34,1 artarken, 50 °C 'den 75 °C 'ye çıkarılmasıyla da % 17,6 artmaktadır. Tepkiyen dönüşümündeki artış göz önüne alınmadında, 50 °C ve daha düşük sıcaklıkta çalışmak daha uygun olabilir. Bu nedenle EAK 'un hidrojenasyonunda uygun tepkime sıcaklığı olarak 50 °C seçilmiştir.

Ayrıca sıcaklığın fazla artması, tepkime sisteme bağlı olarak tüm tepkime hızının difüzyon kontrolü olmasına, tepkime yanürümlerinin ve yanürün derişimlerinin artmasına neden olduğundan istenmez.

iki atmosfer basınçta 25, 50, 75 °C 'de, yapılan deneylerden elde edilen veriler yardımıyla, Arrhenius bağıntısı kullanılarak aktivasyon enerjisinin hesaplanması Bölüm 4.2 'de verilmiştir.

$$P = 2.0 \text{ atm} \quad C_{\text{kat}} = 10 \text{ g/L}$$



Sekil 4.15. Farklı sıcaklıklarda Zaman-Derisim grafiği

4.1.2. Hidrojen basıncının etkisi

Tepkime hızı Üzerine hidrojen basıncının etkisini inclemek için 50 °C ve Pd/Al₂O₃ katalizörü kullanılarak üç farklı hidrojen basıncında(1.5;2.0;2.5 atm.) deneyler yapılmıştır (Deney No. 13, 19, 20). EAK derişiminin zamanla değişimine hidrojen basıncının etkisi Şekil 4.16 'da verilmiştir.

Tepkime sisteminde hidrojen basıncının artması ile tepkiyen dönüşümü artmıştır.

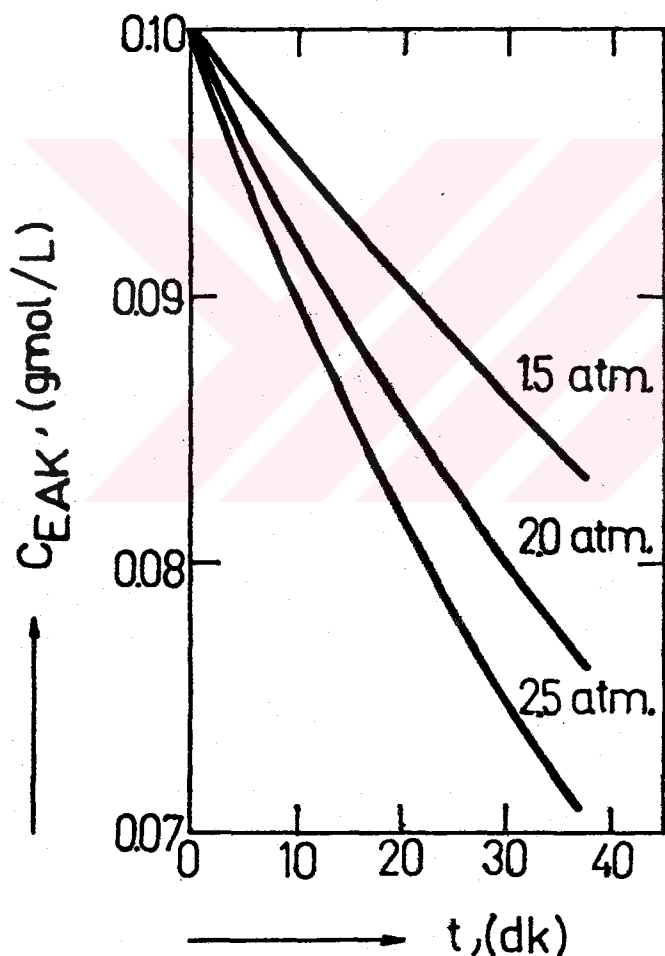
Bu çalışmada hidrojen basıncının tepkime hızı Üzerine etkisi incelenirken tepkime hız modelinde yer alması düşünülen ve hidrojen derişimini gösteren terimin (C_H^m), tüm tepkime hızının sadece EAK derişimine bağlı olarak ifade edildiği hız modelindeki gözlemlenen tepkime hız sabiti içinde yer aldığı kabul edilmiştir. Hidrojen derişiminin gözlemlenen hız sabiti Üzerine dalyışıyla tepkime hızı Üzerine etkisi Bölüm 4.2 'de irdelemiştir.

4.1.3. Katalizör derişiminin etkisi

Pd/Al₂O₃ katalizörünün 50 °C sıcaklık ve 2.0 atm. basınçta farklı derişimlerdeki (5.0;10.0 gkat./L) tepkime hızına etkisi incelenmiş ve Şekil 4.17 'de karşılaştırmalı olarak verilmiştir.

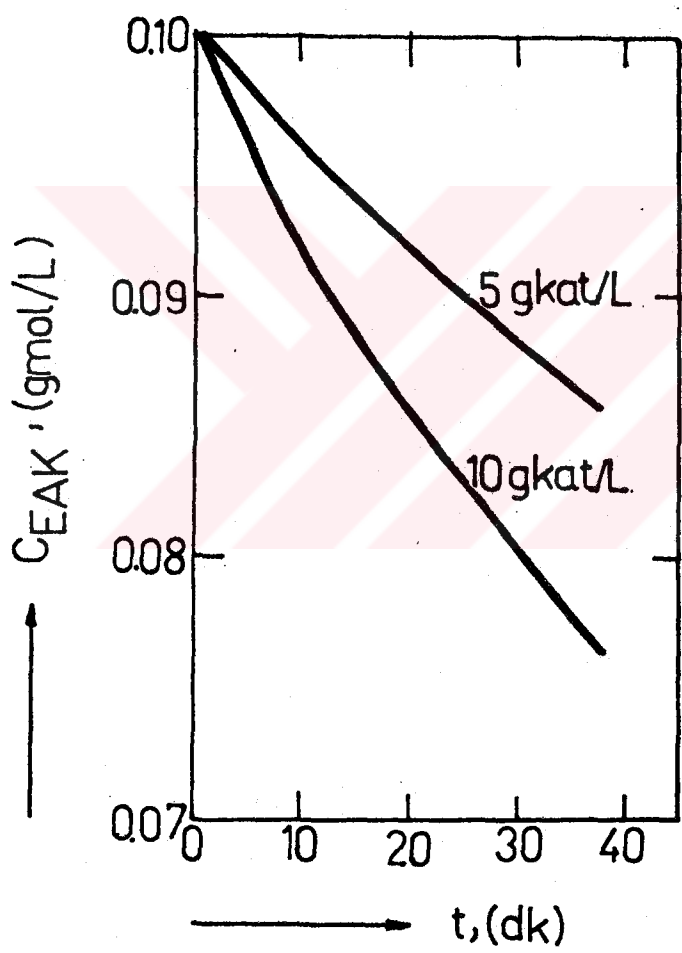
Katalizör derişiminin artmasıyla tepkime hızı artmıştır. Fakat, çalışma çözeltisi ve özellikle tepkime ürünlerinin tepkime ortamında belirtilen koşullardaki çözünürlüğünün düşük olması kullanılan katalizör miktarını sınırlamıştır.

$$T = 50 \text{ } ^\circ\text{C} \quad C_{\text{kat}} = 10 \text{ g/L}$$



Sekil 4.16. Farklı hidrojen basınlarında Zaman-Derişim grafiği

P=2.0 atm T=50 °C



Sekil 4.17. Farklı katalizör miktarlarında Zaman-Derişim grafiği

4.2. İşletme koşulları ve gözlenen hız sabiti

Bölüm 4.1 'de işletme koşullarının, EAK derişiminin zaman ile değişimine etkisi incelenmiştir. Huna göre,

$$(-r_{EAK}) = k_{EAK} \cdot (C_{EAK})^n$$

seklinde varsayılan kinetik modelle uygun olarak, üç farklı sıtaklıkta üç farklı gözlenen tepkime hız sabiti bulunmuştur,

$$k_{EAK} = k_r \cdot \exp(-E_A/R.T)$$

Arrhenius bağıntısı uyarınca veriler işlenerek aktivasyon enerjisi hesaplanmış ve bu ilişki Şekil 4.18 'de grafik olarak verilmiştir.

Gözlenen hız sabitine basıncın etkisini incelemek üzere üç farklı hidrojen basıncında üç farklı gözlenen tepkime hız sabiti bulunmuştur,

$$k_{EAK} = k_r \cdot (C_H)^n$$

varsayımlı yapılarak veriler işlenmiş ve Şekil 4.19 'da grafik olarak verilmiştir.

Hidrojen derişimini hesaplamak için,

$C_H = [(P_H/H_2) / (1 - P_H/H_2)] \cdot (m_{EAK}/M_{EAK}) / V_{EAK}$

esitliği kullanılarak, gaz-sıvı kütle aktarım katsayısının yeterince büyük olduğu varsayılmış ve 1.8; 2.0; 2.5 atm. Hidrojen basıncında sıvıdaki Hidrojen derişimi ($1.3; 1.9; 2.5 \times 10^{-4}$ gmol/L) olarak hesaplanmıştır.

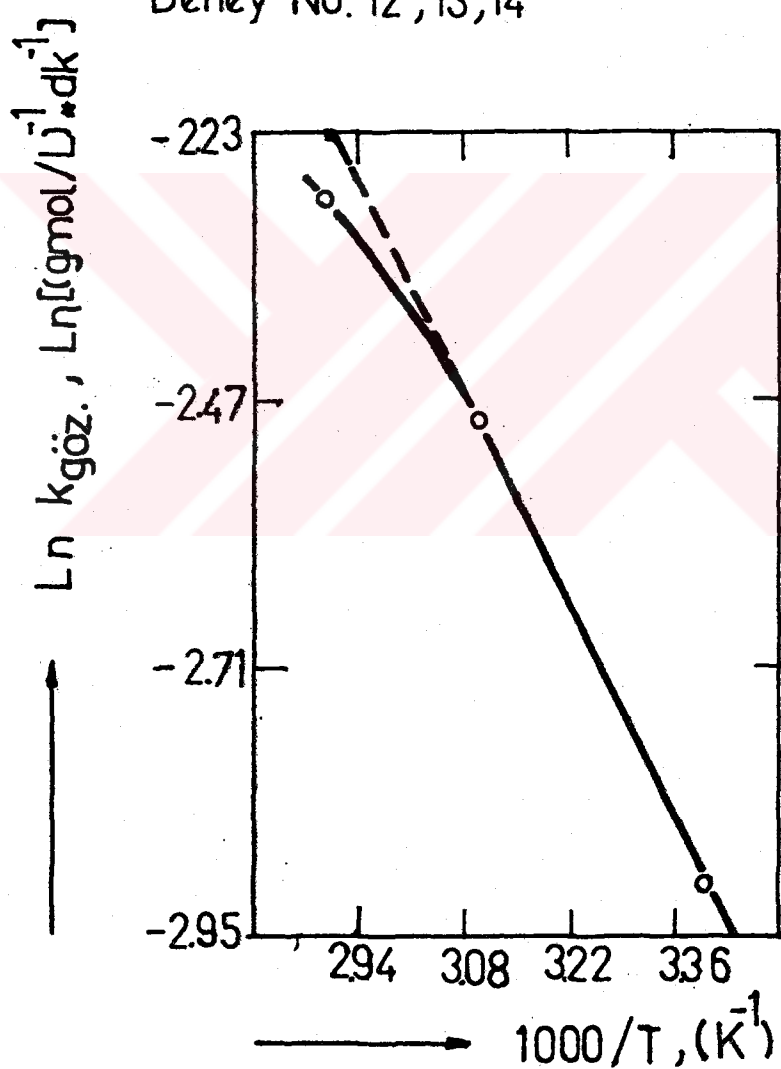
Diger yandan katalizör derişiminin EAK dönüşümüne etkisini incelemek için, farklı katalizör derişimlerinde galisilmiş ve % 100 arttırlan katalizör derisi, EAK dönüşümünü % 67 oranında arttırmıştır.

4.3. Varsayılan kinetik modellerin İrdelenmesi

EAK 'un hidrojenasyonu heterojen katalitik bir tepkimedir. Tepkiyeler katalizör yüzeyinde biraraya gelerek yüzey tepkimesi verirler. Bölüm 2.3 'te önerilen mekanizma göz önünde bulundurularak, yüzey tepkimesinin hızı en yavaş (kısıtlayıcı) basamak kabul edilirse

$$P=20 \text{ atm} \quad C_{\text{kat}}=10 \text{ g/L}$$

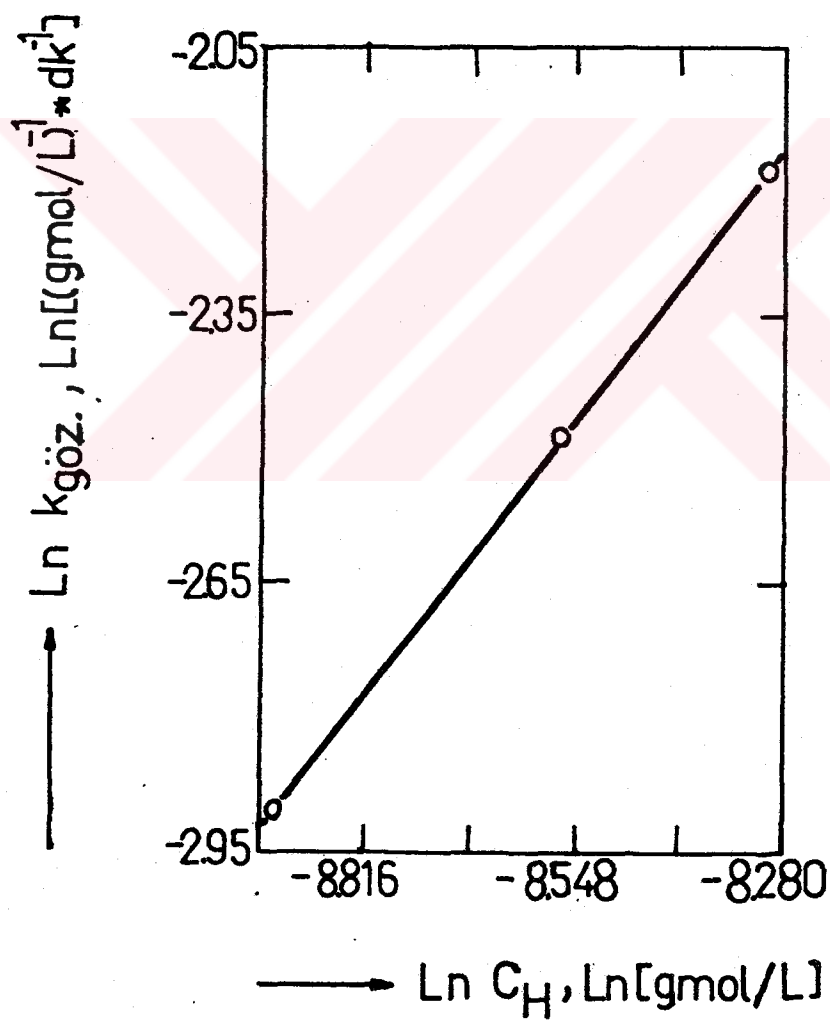
Deney No: 12, 13, 14



Sekil 4.18. Gözlenen hız sabitinin sıcaklıkla değişimi

$$T = 50 \text{ } ^\circ\text{C} \quad C_{\text{kat}} = 10 \text{ g/L}$$

Deney No: 13, 19, 20



Sekil 4.19. Gözlenen hız sabitinin hidrojen basinci ile degisimi

a. Hem gaz, hemde sıvı tepkiyen katalizör yüzeyine adsorplandığında, ikinci yüzey tepkimesi,

$$\frac{k_{se} \cdot K_1 \cdot K_2 \cdot K_3 (C_A \cdot C_H)}{r_A = \frac{C_{NH}}{K_1 \cdot K_2 \cdot K_3 \cdot K_4 \cdot K_5}} \\ [1 + (K_1 \cdot C_H)^{1/2} + K_2 \cdot C_A + (K_1 \cdot C_H)^{1/2} \cdot (K_2 \cdot C_A) \cdot K_3 + \frac{C_{NH}}{K_5}]^2$$

b. Sadece gaz tepkiyen katalizör yüzeyine adsorplandığında, ikinci yüzey tepkimesi,

$$\frac{k_{se} \cdot K_1 \cdot K_2 (C_A \cdot C_H)}{r_A = \frac{C_{NH}}{K_1 \cdot K_2 \cdot K_3 \cdot K_4}} \\ [1 + (K_1 \cdot C_H)^{1/2} + (K_2 \cdot C_A) + \frac{C_{NH}}{K_4}]^2$$

denklemleriyle ifade edilmişti.

Tepkime hız ifadelerinde, ürün derişimi çok küçük ve adsorpsiyon katsayıları ihmali edilebilecek büyüklükte olduğunda, hız denklemleri aşağıdaki şekli alır.

$$r = k_e \cdot C_{EAK} \cdot C_H$$

Yukarıdaki hız denklemleri türetilirken her bir basamağın elemanter olduğu varsayılmıştı. Buna karşılık gözlenen tepkime hızının EAK derişimine n. mertebeden ve H_2 derişimine m. mertebeden bağımlı olduğu düşünülürse kullanılacak hız denkleminin,

$$r = k'_e \cdot (C_{EAK})^n \cdot (C_H)^m$$

genel hız ifadesi ile verilmesi daha uygundur.

Hidrojen derişiminin tepkime ortamında sürekli aynı kaldığı göz önüne alındığında tepkime hız ifadesinin,

$$(-r_{EAK}) = k_{EAK} \cdot (C_{EAK})^n$$

denklemine dönüştürülmesi mümkündür.

4.4. Deney sonuçlarının tartışılması

Kimyasal yöntemle hidrojen peroksit üretimi için 2-Etilantrakinon'un hidrojenasyonu basamağının inceleniği bu çalışmada yapılan kaynak araştırmasının ve elde edilen deney sonuçlarının yorumu aşağıda verilmiştir.

1. Kimyasal yöntemle hidrojen peroksit üretimi bir gevrim prosesi olması nedeniyle diğer üretim yöntemlerine kıyasla daha ekonomiktir (Powell 1968).

2. Katalizör kullanılmadan yapılan deney çalışmada (Deney No.1), girdide bulunan EAK'un tepkime ortamındaki derişiminin zamanla değişmediği gözlenmiş, diğer bir deyişle tepkimenin katalizörsüz yürümediği saptanmıştır.

3. Ni-W/Al₂O₃ katalizörünün yapılan deney koşullarında, 1 atm. hidrojen basıncı ve 25, 50, 75 °C sıcaklıklarda tepkimeyi katalizlemediği görülmüştür.

Ni katalizörlerin, bu çalışmadaki deney koşullarına kıyasla daha yüksek sıcaklık ve basınç altında kullanıldıklarında hidrojenasyon tepkimelerini hızlandırdığı bilinmektedir. Diğer taraftan Ni katalizörlerin yüksek sıcaklık ve basınçta kullanıldıklarında girdideki Antrakinon yapısında bulunan aromatik halkaları dayurarak istenmeyen yanürüler oluşturduğu bilinen bir gerçektir. Bu nedenle bu çalışma sırasında Ni katalizörlerin daha yüksek basınçta test edilmesine gerek görülmemiştir.

4. Girdi derişiminin tepkime hızı Üzerine etkisini incelemek amacıyla yapılan çalışmalarla girdi içерisindeki EAK derişiminin yüksek tutulduğu (0.2-0.3 gmol EAK/L) tüm deneylerde tepkime başladıkten sonra tepkime ortamında katı ürünler oluşturduğu gözlenmiştir. Girdi derisi yüksek tutularak yapılan çalışmalarla ortamda katı ürünlerin oluşması; tepkime başladıkten

sonra tepkimeyle oluşan hidrokinon yapısındaki bileşiklerin, kinon yapısındaki bileşiklerin gözönürlüğünü artaltması şeklinde yorumlanmıştır.

Bu bulgu, ilerideki çalışmalarında çeşitli bilesimlerdeki hidrokinon + kinon karışımlarının çeşitli güçlü karışımıları içerisindeki gözönürlüklerinin araştırılmasının önemli ve gereklili olduğunu vurgulamaktadır.

S. Soy metalik katalizörlerin ılımlı koşullarda hidrojenasyon tepkimelerini seçici olarak katalizlediği göz önüne alınarak EAK'ın hidrojenasyonu için yapılan deneysel çalışmaların doğunda Pd/Al₂O₃ ticari katalizörü kullanılmıştır. Pd/Al₂O₃ katalizörü üç farklı sıcaklık (25, 50, 75 °C) ve üç farklı hidrojen basıncı altında (1.5, 2.0, 2.5 atm.) test edilmiştir. Bu çalışmalar için girdi derişimi 0.1 gmol EAK/L olarak hazırlanmıştır.

Pd/Al₂O₃ katalizörünün kullanıldığı deneylerden elde edilen sonuçlar aşağıda özetlenmiştir.

a. Her bir deneyden elde edilen zaman-derişim tablolarından yararlanılarak tepkime hız modelinin ortaya konması için integral analiz kullanılmıştır.

b. Sadece EAK derişimine bağlı olarak ifade edilen basit tepkime hız modelinde tepkime hızının EAK derişimine göre ikinci mertebeden olduğu kanıtlanmıştır.

Gözlenen tepkime hız sabitinin sıcaklığına bağlı olarak 0.05488 ile 0.10113 L/gmol.dk arasında değiştiği hesaplanmıştır. Tepkimenin gözlenen aktivasyon enerjisi 12 kJ/gmol'dür.

c. EAK'a göre ikinci mertebeden tepkime hız ifadesi için hesaplanan aktivasyon enerjisini büyülüğu tüm tepkimenin kinetik kontrollü olarak yürüdüğünü ortaya koymustur. Ancak 50 °C üzerindeki sıcaklıklarda tüm tepkime hızının difüzyon kontrollü bölgeye kaydığını

görülmüştür.

Düşük sıcaklıklarda işletim, iyi bir karıştırmanın yapıldığı ve çok küçük katalizör partiküllerinin kullanıldığı süspansiyon reaktörlerde dış yayınım ve iç yayınım kısıtlamalarının olmaması beklenen bir sonuktur (Kenney ve Sedriks 1972).

d. EAK'a göre ikinci mertebeden tepkime için hesaplanan gözlemlenen hız sabitinin sıvı faz içinde gözümüzü hidrojen derişimine yaklaşık birinci mertebeden bağlı olduğu saptanmıştır.

6. Pd/Al₂O₃ katalizörü kullanılarak 50 °C sıcaklık ve 2.0 atm. hidrojen basıncı altında yapılan hidrojenasyon tepkimesi aynı koşullarda iki kez tekrarlanmıştır (Deney No. 13, 15). İki deneyde ullaşılan EAK dönüşümelerinin birbirine çok yakın olduğu bulunmuştur.

Bununla birlikte yirmi dakikalık tepkime süresi için EAK dönüşümü 13 no'lu deneyde % 14.0, 15 no'lu deneyde % 14.2 dir. Bu sonuçlar, yapılan deneysel çalışmaların tekrarlanabilir olduğu konusunda güvence vermiştir.

5. ÖNERİLER

Kimyasal yöntemle H_2O_2 üretimeinde kullanılan Antrakinon prosesinin iki ana basamağından birincisi Hidrojenasyon tepkimesidir. Hidrojenasyon tepkimesinin kinetiginin incelenmesini amaçlayan bu çalışmada, 2-Etil-Antrakinon Palladyum katalizörü üzerinde hidrojenlenmiştir. Deneysel çalışmaları, laboratuvar ölçekte gerçekleştirilen katı/katalitik bir tepkime反应inde yürütülererek işletme koşullarının tepkimenin gözlemeceği ölçüdeki etkileri incelenmiştir.

İşletme parametrelerinin tepkimenin kinetigi üzerindeki etkileri araştırılırken, çalışma materyalinin ve tepkime ürünlerinin, çalışma çözücüsündeki çözünürlüğü önemli problemlere neden olmuştur.

Bu yüksek lisans çalışması çerçevesinde programlanan ve tezde verilen sonuçlar ışığında, araştırmayı bundan sonraki aşamasında yapılabilecek çalışmaları:

1. 2-Etil-Antrakinon ve ötektik karışımlarının organik çözümlerdeki çözünürlüğünün araştırılması,
2. Antrakinon prosesinin ikinci basamağı olan oksidasyon tepkimesinin kinetığını araştırılması,
3. Ölçek büyütme yöntemi uygulanarak endüstride kullanılabilecek bir prosesin tasarlanması, olarak öngörlülmüştür.

KAYNAKLAR

- Bretschger, M.E., Crewson, G.G., Cushing, R.E., 1946.
German Hydrogen Peroxide Industry, Office Tech. Services
Rept., PB-17331
- Chaudhari, R.U., Parande, M.G., Rawachandran, P.A.
Brahma, R.M. Vadgaonkar, H.G., Jaganathan, R, 1985,
Hydrogenation of Butynediol to Cis-Butenediol Catalysed
by Pd-Zn-CaCO₃ : Reaction Kinetics and Modeling a Batch
Slurry Reactor, A.I.Ch.E.J. , Vol.3 , ii, pp.1891
- Csuros, Z., Jozsef, P., Jena, M., Bela, L., 1971.
Hydrogen Peroxide Production using 2-Ethylanthraquinone
I. Raney Nickel catalyst, Magy. Kem. Lapja, 26(5), 209.
- Csuros, Z., Jozsef, P., Jena, M., Bela, L., 1971.
Laboratory Study of the Preparation in Hydrogen
Peroxide using 2-Ethylanthraquinone. II. Studies with
unpromoted and Molybdenum-promoted Nickel-Boride
catalysts, Magy. Kem. Lapja, 26(10), 497-501.
- Cataltas, i., 1980, Kimya Endüstrisinde Organik Proses-
ler, cilt No.2, İnkılap ve Aka, İstanbul
- Darbee, L.R., Kreuz, D.F., 1960. U.S. Patent 2,966,397
December 27.
- Darbee, L.R., Conray, P.B., 1960. U.S. Patent 2,935,389
May 3.
- Egerton, A.C., Minkoff, G.J., 1947. Proc. Roy. Soc.
A 191,143.
- Faith, W.L., Keyes, D.B., Clark, R.L., 1966. Industrial
Chemicals, 3th. Edition, J. Wiley, New York.
- Farrell, J.K., 1961. Allied Chemical, U.S. Patent
9,995,424, August 8.

- Fasman, A.B., Mikhailenkov, S.D., Maksimova, N.A., Iksanov, Zh.A., Kitaigorodskaya, V.Ya., Pavlyukovich, L.V., 1982. Raney Catalyst for the Hydrogenation of substituted Anthraquinones, Applied Catalysis, 6, 1-9.
- Fieser, L.F., Fieser, M., 1955. Organic Chemistry, Reinhold Publishing Co., New York.
- Forst, S.A., 1967. Production of a Catalyst, Span. 334-081, Oct. 16, Appl. Nov. 2, 1966, 19 pp.
- Fraiman, R.S., Ivanova, N.A., 1964. Determination of the Hydrogenated form of Quinones in the Production of Hydrogen Peroxide, Zavodsk Lab., 30(11), 1323-1325.
- Franchuk, V.I., Skvortsov, P.G., Filimonov, P.I., Gorbunov, A.I., Derbentsev, Yu.I., 1973. Accelerating Action of Some Salts on the rate of Oxidation of Alkyl-Anthrahydroquinone, Khim. Neorg. Perekisnykh Soedin., 43
- Gormley, W.B., 1945. Hydrogen Peroxide, Office Tech. Services Rept., PB-215.
- Gram, R.J., Cassano, A.E., Baltanas, M.A., 1988. Catalyst and Network Modeling Vegetable Oil Hydrogenation Processes, Catal. Rev.-Sci. Eng., 30(1), 1-48.
- Hiratsuka, K., Yonemitsu, E., Sugio, A., 1964. U.S. Patent 3,150,930 September 29.
- Karl, B., Friederich, S., Micheal, D., 1969. Anthraquinones and their Reduction Products. Tautomerization of 2-substituted 9,10 Anthracene-diols, Chem. Ber., 102(3), 1053-70.
- Karl, B., Friederich, S., Micheal, D., 1970. II. The Tautomerization of 2-substituted Anthrahydroquinone, Chem. Ber., 103, 1748-1758.

Kenney, C.N., Sedriks, W., 1972. Effectiveness factors in a three-Phase Slurry Reactor: The Reduction of Crotonaldehyde over a Palladium Catalyst, *Chem. Eng. Sci.*, vol. 27, 2029-2040.

Kooijman, P.L., 1947. *Rec. Trav. Chim.*, 66, 217.

Laporte Chemical Ltd., 1959. A new Process for Hydrogen Peroxide, *The Industrial Chemist*, January, 9-15.

Le Feuvre, C.W., Morgan, C.A., 1960. U.S. Patent 2,940,833 June 14.

Lemcoff, N.O., 1977. Liquid Phase Catalytic Hydrogenation of acetone, *J. Catal.*, 46, 356-364.

Levenspiel, O., 1962. *Chem. React. Eng.*, J. Wiley, U.S.A.

Losonczi, B., Lengyel-Mezaros, A., Novak-Kiss, M., Morgos, J., Petro, J., 1978. Problems of 2-Etyl-Anthraquinone Hydrogenation, *Acta. Chim. Acad. Sci. Hung.*, 97(1), 85-89.

Niklasson, C., Anderson, B., Schöön, N.H., 1987. Influence of Hydrogen Pressure on Selectivity in Consecutive Hydrogenation Reactions, *Ind. Eng. Chem. Res.*, 26, 1459-1463.

Panchenkov, G.M., Lebedev, V.P., 1976. Chemical Kinetics and Catalysis, Mir Publishers, Moscow.

Peterson, R.J., 1977. Hydrogenating Catalyst, Chemical Technology Review, Noyes Data Corporation

Powell, R., 1968. Chemical Process Review No. 20, Noyes Development Co., Park Ridge, New Jersey, U.S.A.

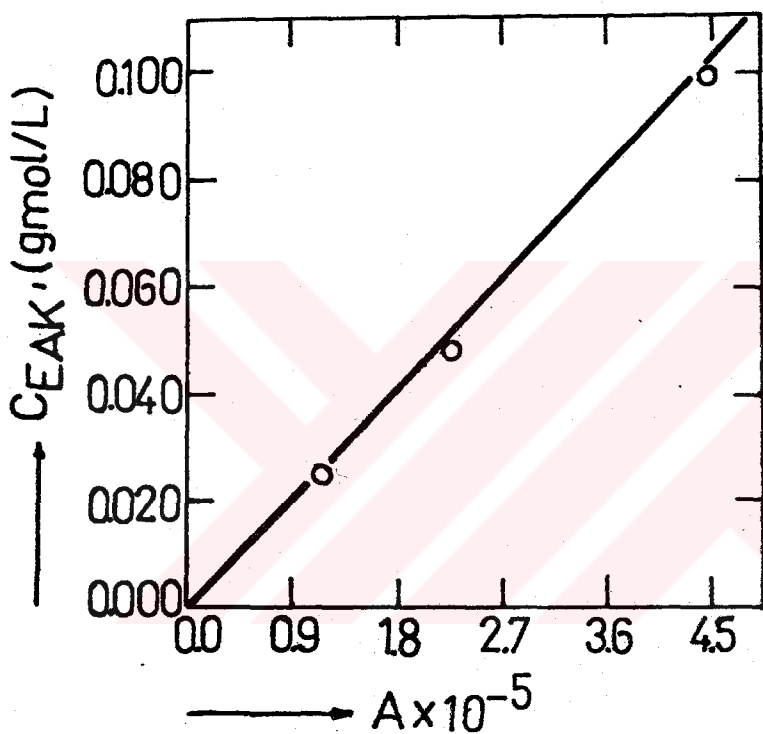
EK A

Gaz kromatoğrafisi sıcaklık programı

Başlangıç kolon sıcaklığı 100 °C
 Başlangıç kolon sic. tutma süresi 2.00 dk.
 Sıcaklık artışı hızı 30.0 °C/dk.
 Kolon son sic. tutma süresi 22.0 dk.
 İnjeksiyon sıcaklığı 260 °C
 Limit kolon sıcaklığı 280 °C
 Dedektör sıcaklığı 280 °C
 Alev iyon/Dedektör duyarlılığı 8
 Programın tamamı amansı süresi 30.0 dk.
 (AZOT) taşıyıcı gaz akış hızı 30 ml/dk.
 (HİDROJEN) yanıcı gaz akış hızı 30 ml/dk.
 (HAVA) yakıcı gaz akış hızı 300 ml/dk.

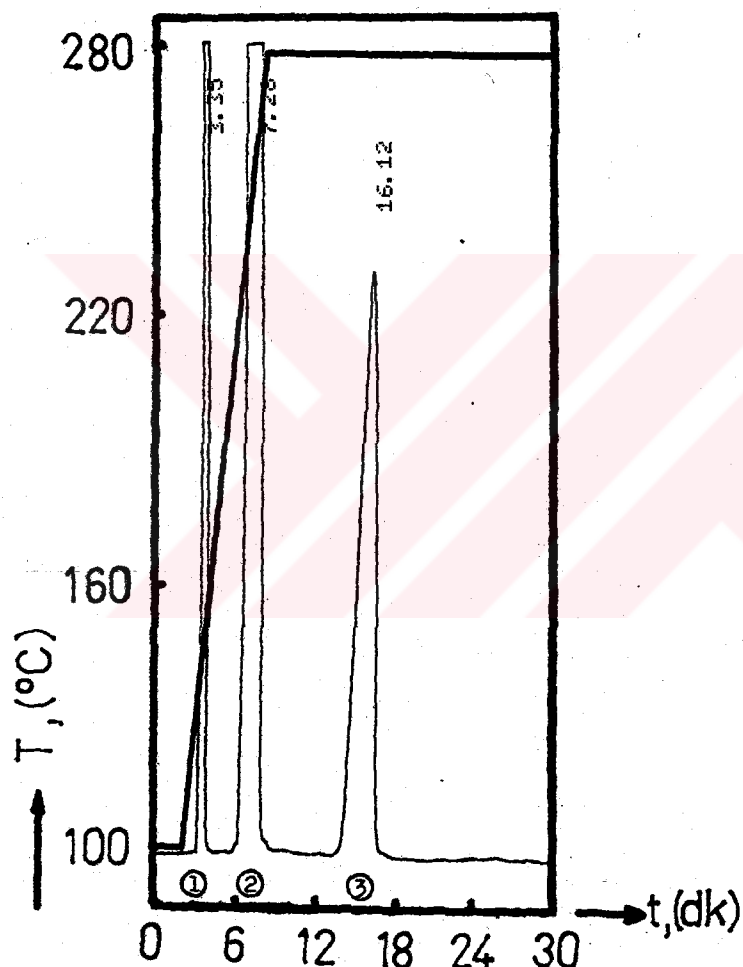
EK B

Kalibrasyon Eğrisi



EK C

Standart çalışma gözeltisi kromatogramı ve
Analiz sıcaklık programı.



1. Benzen ($3.5 + 0.5 \text{ dk.}$)
2. Oktanol ($7.5 + 0.5 \text{ dk.}$)
3. EAK ($16.5 + 0.5 \text{ dk.}$)

% 5 SE-30 on Chrom. W dolgu maddesi ile
Paslanmaz çelik kolon (2 m. X 3 mm.) kullanılmıştır.

Ek D**Zaman-Derisim Fonksiyonlarının Türetilmesi**

$n = 1$ ise,

$$\frac{dC}{dt} = - k \cdot C \quad , \quad \ln C = \ln C_0 - k \cdot t$$

$n = 3/2$ ise,

$$\frac{dC}{dt} = - k \cdot C^{3/2} \quad , \quad C^{-1/2} = C_0^{-1/2} + k \cdot t/2$$

$n = 2$ ise,

$$\frac{dC}{dt} = - k \cdot C^2 \quad , \quad C^{-1} = C_0^{-1} + k \cdot t$$

Mertebe varsayımlına göre integral alınarak bulunan Zaman-Derisim fonksiyonlarının her biri doğrusal-laştırma testlerinde kullanılmıştır.

V. G.
Tükökögretim Kurulu
Dokümantasyon Merkezi